

مقاومت مصالح

۲۵

خمش خالص

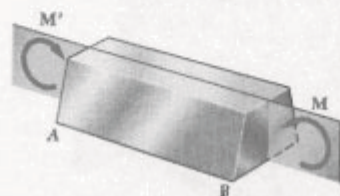


ورزشکار، میله وزنه برداری را یادستهایش که در هر فصل مساوی از وزنهای قدر بود اینقدر نگهداشته است. این عمل باعث ایجاد خمث خالص در قسمت مرکزی میله می شود. تنش های قائم و افقی مانند از خمث خالص در این فصل تعین می شوند.

۱-۴ مقدمه

در فصل‌های قبل، تنش در عضوهای منشوری را که تحت بارهای محوری یا کوپلهای پیچشی قرار دارند بررسی کردیم. در این فصل و در دو فصل بعد، تنش و کرنش در عضوهای منشوری را که تحت خمش قرار دارند تحلیل می‌کنیم. خمش مفهوم مهمی است که در طراحی اغلب اجزای مکانیکی و ساختمانی به کار می‌رود.

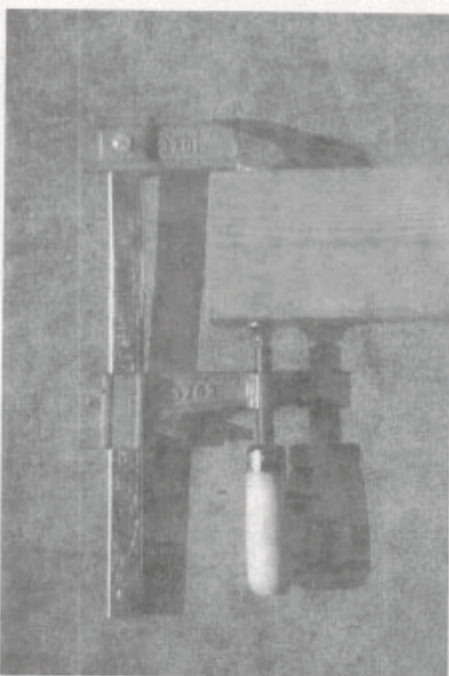
در این فصل، عضوهای منشوری را تحت کوپلهای مساوی و مخالف M و M' ، که در صفحه طولی یکسان عمل می‌کنند، تحلیل می‌کنیم. می‌گوییم این عضوها در خمش خالص هستند. فرض می‌کنیم عضو دارای صفحه تقارن است و کوپلهای M و M' در آن صفحه عمل می‌کنند (شکل ۱-۲).



شکل ۱-۴

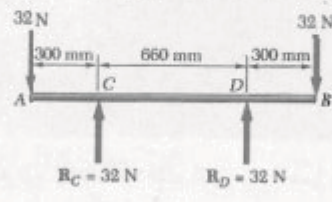
شکل ۳-۴ در خودروی نشان داده شده، قسمت مرکزی اکسل در خمش خالص است.

نتایج حاصل از خمش خالص را برای تحلیل سایر بارگذاری‌ها، مانند بارگذاری محوری خارج از مرکز و بارگذاری عرضی، می‌توان به کار برد.

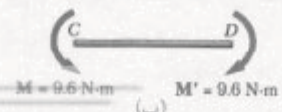


شکل ۴-۴ یک گیره فولادی را نشان می‌دهد که نیروهای 60 N را بر دو تکه چوب وارد کرده و آنها را بهم چسبانده است. در شکل ۵-۴ (الف)، نیروهای مساوی و مخالف وارد از چوب بر گیره نشان داده شده است. این نیروها باعث می‌شوند قسمت مستقیم گیره تحت بارگذاری خارج از مرکز قرار گیرد. در شکل ۵-۴ (ب)، گیره در CC' مقطع خورده است و نیودار ازد نیمه بالایی آن رسم شده است. طبق این

خمش میله وزنه‌برداری در بالای سر وزنه‌بردار، نمونه‌ای از خمش خالص است. این مبله دارای وزنه‌هایی است که به فواصل مساوی از دستهای وزنه‌بردار قرار دارند. به علت تقارن میله (شکل ۲-۴ (الف)), واکنش دست‌ها با هم برابر و در سوی مخالف وزنه‌ها هستند. بنابراین، هنگام بررسی قسمت مرکزی CD میله می‌توان وزنه‌ها و واکنش‌ها را با دو کوپل مساوی و مخالف $9.6\text{ N}\cdot\text{m}$ جایگزین کرد (شکل ۲-۴ (ب)), و این نشان می‌دهد که قسمت مرکزی میله در خمش خالص است. همین تحلیل برای اکسل یک خودرو (شکل ۳-۴) نشان می‌دهد که اکسل، بین دو نقطه اتصال با خودرو، در خمش خالص است.



(الف)



(ب) $M = 9.6 \text{ N}\cdot\text{m}$ $M' = 9.6 \text{ N}\cdot\text{m}$

شکل ۲-۴

در قسمت اول این فصل، تنش و تغییرشکل ناشی از خمن خالص را در عضو همگنی بررسی می‌کیم که دارای صفحه تقارن است و ماده سازنده آن از قانون هوک پیروی می‌کند. در قسمت ۲-۴، از روش‌های استاتیک برای استنتاج معادله‌های تنش قائم در مقاطع عرضی استفاده می‌کیم. در قسمت ۳-۴، نشان می‌دهیم در تیری که تحت خمن خالص است مقاطع عرضی به صورت صفحه‌ای می‌مانند. در قسمت ۴-۴، فرمول‌های تنش قائم و شعاع النحنای عضوی را که در خمن خالص است به دست می‌آوریم.

در قسمت ۶-۴، تنش و تغییرشکل را در عضوهای موکبی که از چند ماده ساخته شده‌اند، مانند تیرهای بتن آرمه که در ساختمان‌ها و پل‌ها به کار می‌روند، مطالعه می‌کیم. در آنجا نحوه ترسیم مقطع تبدیل یافته را خواهید آموخت؛ مقطع تبدیل یافته عبارت است از مقطع عضو همگنی که تغییرشکل آن، تحت همان بارگذاری عضو مرکب، مانند تغییرشکل عضو مرکب است. از مقطع تبدیل یافته برای تعیین تنش و تغییرشکل در عضو مرکب استفاده می‌شود. در قسمت ۷-۴، تعویض تنش را که در تغییرات ناگهانی مقطع عرضی عضو به وجود می‌آید مطالعه می‌کیم.

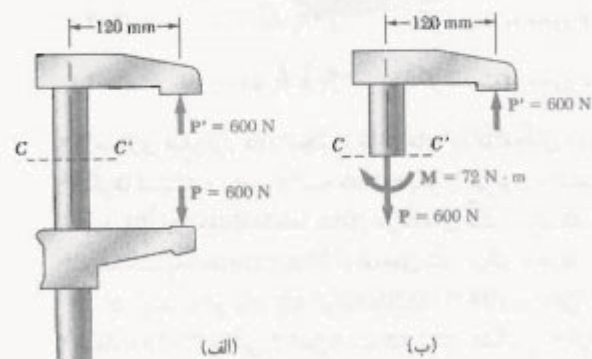
در قسمت ۸-۸، تغییرشکل پلاستیک را در خمن بررسی می‌کیم؛ یعنی، تغییرشکل عضوهایی را که ماده سازنده آنها از قانون هوک پیروی نمی‌کنند. در قسمت ۹-۴، تنش و تغییرشکل در عضوهای اسٹوپلاستیک را مطالعه می‌کیم. با ماقرنسیم لنگر^{*} الاستیک M_y ، که مستاظر با آغاز تسلیم است، شروع می‌کنم و تأثیر افزایش لنگر را، تا وقتی به لنگر پلاستیک M_p می‌رسد، بررسی می‌کنم. در قسمت ۱۱-۴، تغییرشکل دلتی و تنش‌های پایمانده را که از این بارگذاری‌ها ناشی می‌شوند تعیین می‌کنم. گفتشی است که در نیم قرن گذشته برای طرح‌های مطمئن و اقتصادی از خواص اسٹوپلاستیکی فولاد خیلی استفاده شده است.

در قسمت ۱۲-۴، بارگذاری محوری خارج از مرکز در صفحه تقارن را با استفاده از ترکیب تنش‌های ناشی از خمن خالص و بارگذاری محوری مرکزی تحلیل می‌کیم. خمن ناهموار، بارگذاری محوری خارج از مرکز و تنش در عضوهای خمیده را، به ترتیب، در قسمت‌های ۱۳-۴، ۱۴-۴ و ۱۵-۴ بررسی می‌کیم.

۴-۲ عضو متقارن در خمن خالص

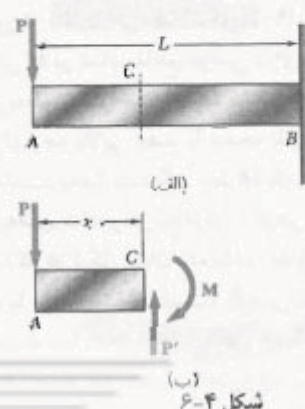
عضو منشوری AB را در نظر بگیرید. این عضو دارای صفحه تقارن است و تحت کوبیل‌های مساوی و متضاد M و M' ، که در

نمودار، نیروهای داخلی در این مقطع با نیروی کششی محوری $P = 600 \text{ N}$ و کوبیل $M = 72 \text{ N}\cdot\text{m}$ معادل‌اند. با استفاده از اطلاعات مربوط به تنش در بارگذاری و تحلیل‌های آتی درباره تنش ناشی از خمن خالص، می‌توان توزیع تنش را در بارگذار خارج از مرکز تعیین کرد. این موضوع در قسمت ۱۲-۴ مورد بحث قرار می‌گیرد.



شکل ۴-۶

مطالعه خمن خالص نقش مهمی در مطالعه تیرها ایفا می‌کند. مثلاً، تیر طرهای AB را که سر آزاد آن تحت بار متضاد P قرار دارد در نظر بگیرید (شکل ۴-۶-الف). با عبور یک مقطع از C در فاصله x از A و با استفاده از نمودار آزاد AC (شکل ۶-۶-ب)، دیده می‌شود نیروهای داخلی در این مقطع مشکل است از نیروی P' ، که مساوی P و مخالف آن است، و کوبیل M با مقدار $M = Px$. اگر تیر در خمن خالص باشد، توزیع تنش قائم را در این مقطع می‌توان به دست آورد. از طرف دیگر، تنش برشی در این مقطع بستگی به نیروی P' دارد. در فصل ۶، توزیع این تنش در یک مقطع بررسی می‌شود.



شکل ۴-۷

* به آن گلناور نیز می‌گویند - مترجم.

نیروها در هر جهت صفر است. به علاوه، لنگر کوپل نسبت به محور عمود بر صفحه کوپل دارای مقدار یکسان است، و نسبت به تمام محورهای واقع در صفحه کوپل برابر با صفر است. محور z را به دلخواه و مانند شکل ۷-۴ انتخاب می‌کنیم و می‌نویسیم:

$$\int \sigma_x dA = 0 \quad (1-4)$$

$$\int \sigma_x dA = 0 \quad (2-4)$$

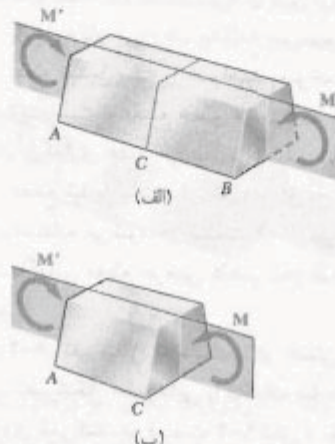
$$\int \sigma_x dA = M \quad (3-4)$$

با مساوی صفر قرار دادن مجموع مؤلفه‌های z ، مؤلفه‌های x و لنگرها نسبت به محور x ، سه معادله دیگر را می‌توان به دست آورد. اما، این معادله‌ها فقط شامل مؤلفه‌های تنش برشی‌اند و در قسمت بعد خواهد دید که مؤلفه‌های تنش برشی صفرند. در اینجا به دو تکه باید توجه داشت: (۱) علامت منفی در معادله (۳-۴) ناشی از این است که تنش کششی ($\sigma_z > 0$) باعث می‌شود نیروی قائم $\tau_{xy} dA$ نسبت به محور z لنگر منفی (ساعتگرد) بوجود آورده. (۲) معادله (۲-۴) قابل پیش‌بینی بود، زیرا اعمال کوپل‌ها در صفحه تقارن عضو AB باعث ایجاد تنش‌های قائم، با توزیع متفاوت نسبت به محور z ، می‌شود. گفتنی است که توزیع راقعی تنش در یک مقطع عرضی، یک مسئله نامعلوم استاتیکی است و با استفاده همزمان از هندسه تغییرشکل عضو حل می‌شود.

۴-۳ تغییرشکل عضو متقارن در خمس خالص

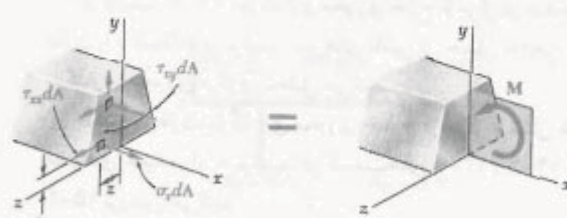
حال، تغییرشکل یک عضو منتشری را که دارای صفحه تقارن است و در دو انتهای تحت کوپل‌های M و M' قرار دارد تحلیل می‌کنیم (این کوپل‌ها در صفحه تقارن عضو اثر می‌کنند). عضو تحت تأثیر کوپل‌ها خمیده می‌شود، اما نسبت به صفحه تقارن به صورت متقارن می‌ماند (شکل ۹-۴). به علاوه، چون لنگر عضو به طور یکنواخت خمیده می‌شود، لذا، خط AB که فصل مشترک وجه بالایی عضو با صفحه تقارن است دارای انحنای ثابت است. به عبارت دیگر، خط AB ، که آبتدا به صورت مستقیم بود، به صورت دایره‌ای به مرکز C درمی‌آید؛ همین طور، خط $A'B'$ (که در شکل نشان داده نشده، فصل مشترک وجه پایینی عضو با صفحه تقارن است) گفتنی است که وقتی عضو به صورت نشان داده شده در شکل خمیده می‌شود، یعنی وقتی $M > M'$ ، خط AB کوتاه‌تر می‌شود، ولی خط $A'B'$ بلندتر می‌شود.

همان صفحه اثر می‌کنند، قرار دارد (شکل ۷-۴ الف). عضو AB را در نقطه اختیاری C مقطع می‌زنیم. تعادل قسمت AC نشان می‌دهد که نیروهای داخلی در این مقطع با کوپل M معادل‌اند (شکل ۷-۴ ب). لذا، نیروهای داخلی در هر بک از مقاطع عرضی عضو متقارنی که تحت خمس خالص است با یک کوپل معادل‌اند. لنگر M این کوپل را لنگر خمی در مقطع می‌گویند. به عنوان قرارداد، اگر عضو مانند شکل ۷-۴ الف خم شده باشد، یعنی وقتی تغیر تیر به طرف بالا باشد، M دلایل علامت مثبت است؛ هر غیر این صورت، دلایل علامت منفی است.



شکل ۷-۴

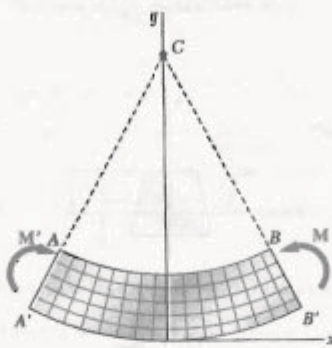
تشن قائم در نقطه معینی از مقطع عرضی را با σ_z و مؤلفه‌های تنش برشی را با τ_{xy} و τ_{xz} نشان می‌دهیم، و می‌گوییم سیستم نیروهای جزئی داخلی وارد بر این مقطع با کوپل M معادل‌اند (شکل ۷-۴ ب).



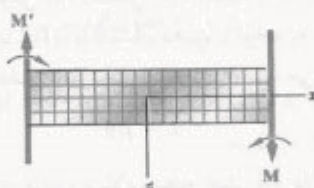
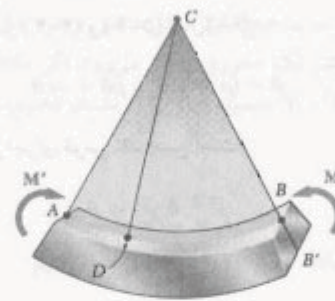
شکل ۷-۴

از استاتیک می‌دانیم که کوپل M از دو نیروی مساوی و متضاد تشکیل شده است. بنابراین، مجموع مؤلفه‌های این

فرض کنید عضو به تعداد زیادی اجزای کوچک مکعبی، که وجود آنها به موازات صفحات مختصات است، تقسیم شود. طبق بحث بالا، این اجزا وقتی تحت کربل های M و M' قرار می گیرند، مانند شکل ۱۱-۴ جایه جا می شوند. چون تمام وجود نشان داده شده در دو تصویر شکل ۱۱-۴ بر هم عمودند، نتیجه می شود $\gamma_{yy} = \gamma_{xx} = \tau_{xy} = \tau_{yz}$. لذا، سه مؤلفه تش موجود باعث بر هم کنش بین اجزای یک مقطع عرضی نمی شود، می توان گفت سه مؤلفه مذکور در تمام عضو صفر هستند. این فرض را آزمایش، و نیز نظریه الاستیستیه، برای عضوهای باریکی که تغییر شکل های کوچک دارند تأیید می کند. در نتیجه، فقط مؤلفه قائم σ_y بر هر یک از اجزای کوچک مکعبی آثر می کند. لذا، در هر نقطه از عضو باریکی که در خمن خالص است، حالت تش تک محوری برقرار است. چون برای $M > 0$ ، خطوط AB و $A'B'$ به ترتیب، منبسط و منقبض می شوند، کرنش ϵ_y و تنش σ_y در قسمت بالای عضو متفاوتند (فشاری آند) و در قسمت پایین عضو مشت آند (کشی آند).

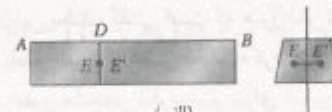


(الف) مقطع طولی و عمودی (صفحة تقارن)

(ب) مقطع طولی و افقی
شکل ۱۱-۴

شکل ۹-۴

حال، نشان می دهیم که مقطوع عرضی عمود بر محور عضو به صورت صفحه ای می مانند و صفحه آنها از نقطه C می گذرد. اگر چنین نباشد، نقطه ای مانند E از مقطع عرضی گذرا از D را می توان یافت (شکل ۱۰-۴ (الف)). که، پس از خمیده شدن عضو، در صفحه CD قرار نداشته باشد (شکل ۱۰-۴ (ب)). اما، بدعلت تقارن عضو، نقطه دیگری مانند E' وجود دارد که دقیقاً مانند E جایه جا می شود. فرض می کنیم، پس از خمیده شدن عضو، هر دو نقطه در سمت چپ صفحه CD قرار دارند (شکل ۱۰-۴ (ب)). چون لنگر خمی M در تمام عضو دارای مقدار یکسان است، در هر مقطع عرضی دیگر نیز حالت بالا برقرار است و نقاط متناظر با E و E' نیز به سمت چپ حرکت می کنند. لذا، ناظر A نتیجه می گیرد که بارگذاری باعث می شود نقاط E و E' در مقطع عرضی مختلف به طرف جلو (به سوی ناظر) حرکت کنند. اما ناظر B به نتیجه مخالف می رسد. در نتیجه، E و E' در صفحه CD قرار دارند و مقطع عرضی به صورت صفحه ای می ماند و از C می گذرد. گفتنی است که بحث بالا مانع امکان تغییر شکل در داخل صفحه مقطع نمی شود (به قسمت ۲-۵ نگاه کنید).



(الف)



شکل ۱۰-۴

با جایگذاری از (۴-۴) و (۴-۵) در (۶-۴)،

$$\delta = (\rho - y)\theta - \rho\theta \quad (7-4)$$

کرنش طولی اجزای قوس JK چنین است:

$$\epsilon_x = \frac{\delta}{L} = \frac{y\theta}{\rho\theta}$$

یا

$$\epsilon_x = -\frac{y}{\rho} \quad (8-4)$$

علامت منفی ناشی از این است که لگز خمی را مشبّت گرفتایم؛ درنتیجه، عضو به طرف بالا نتعز دارد. چون مقاطع عرضی به صورت صفحه‌ای می‌مانند، در تمام صفحاتی که به موازات صفحه تقارن آند، تغییرشکل‌های همسان روی می‌دهد. لذا، مقدار کرنش در معادله (۸-۴) همچنان صحت دارد، و نتیجه می‌شود که کرنش قائم طولی بر حسب فصله از سطح خمی بعصردست خطی تغییر می‌کند.

کرنش ϵ در لامکریم به بیشترین مقدار خود می‌رسد. اگر ماکریم فاصله از سطح خمی را (که متاظر با سطح بالایی یا پایین عضو است) با c ، ماکریم قدر مطلق کرنش را با ϵ_m نشان دهیم،

$$\epsilon_m = \frac{c}{\rho} \quad (9-4)$$

با حل ρ از معادله (۹-۴) و جایگذاری آن در (۸-۴)،

$$\epsilon_x = -\frac{y}{c}\epsilon_m \quad (10-4)$$

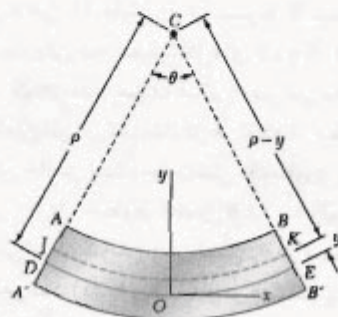
در پایان این بحث، گفتی است که هنوز نمی‌توان کرنش یا نش را در نقطه معینی از عضو محاسبه کرد، زیرا مکان سطح خمی را در عضو مشخص نکرده‌ایم. برای تعیین مکان این سطح، ابتدا باید رابطه نش-کرنش ماده مورد استفاده را پاشد.

۴-۴-۱ تنش و تغییرشکل در ناحیه الاستیک

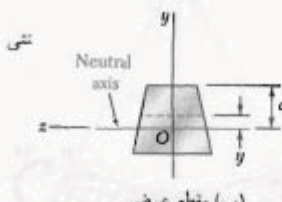
اکنون، حالتی را در نظر می‌گیریم که در آن لگز خمی M طوری است که تنش‌های قائم در عضو کمتر از استقامت تسلیم σ_y است؛ یعنی، تنش در عضو کمتر از حد تناسب و نیز کمتر از

* گفتی است که اگر عضو دارای صفحات تقارن عمودی و افقی باشد (مانند عضو با مقاطع عرضی مستطیلی)، و اگر منحنی نش-کرنش در کشش و فشار بخسان باشد، سطح خمی بر صفحه تقارن مطبق خواهد بود (به قسمت ۸-۲ نگاه کنید).

از بحث بالا نتیجه می‌شود که باید یک سطح به موازات وجود بالایی و پایینی عضو وجود داشته باشد، که در آن ϵ و θ صفرند. این راسته خمی می‌گویند. سطح خمی صفحه تقارن را در امتداد قوس دایره‌ای DE (شکل ۱۲-۴(الف))، و مقاطع عرضی را در امتداد یک خط مستقیم به نام محور خمی قطع می‌کند (شکل ۱۲-۴(ب)). حال، مبدأ مختصات را روی سطح خمی می‌گیریم (نه روی وجه پایینی عضو که قبل از انتخاب کردیم) و فاصله هر نقطه را تا سطح خمی با انداختن می‌دهیم.



(الف) مقاطع طولی و عمودی (صفحه تقارن)



شکل ۱۲-۴

اگر شعاع قوس DE (شکل ۱۲-۴(الف)) را با μ ، و زاویه مرکزی متاظر با DE را با θ نشان دهیم، با توجه به اینکه طول با طول L عضو تغییرشکل نداده برابر است، می‌نویسیم:

$$L = \rho\theta \quad (4-4)$$

چون قوس JK در فاصله y بالای سطح خمی قرار دارد، طول L' آن چنین است:

$$L' = (\rho - y)\theta \quad (5-4)$$

چون طول اولیه قوس JK مساوی L است، تغییرشکل JK عبارت است از:

$$\delta = L' - L \quad (6-4)$$

طبق این معادله، محور $\#$ محور خشی مقطع عرضی منطبق است. با توجه به این مطلب، پر را از معادله $(12-4)$ در $(3-4)$ جایگذاری می‌کنیم و می‌نویسیم:

$$\int (-y) \left(-\frac{y}{c} \sigma_m \right) dA = M$$

$$\frac{\sigma_m}{c} \int y^7 dA = M \quad (14-4)$$

اما در حالت خمث خالص، محور خشی از مرکز سطح مقطع عرضی می‌گذرد. درنتیجه، امان اینرسی (مانان دوم) مقطع عرضی نسبت به محور مرکزی عمود بر صفحه کوبیل M است. با حل σ_0 از معادله (۴-۱۴)، می‌توییم:

$$\sigma_m = \frac{Mc}{I} \quad (10-4)$$

با جایگذاری m_0 از $(4-15)$ در $(4-12)$ ، تنش قائم σ_0 را در
فاصله z از محور خشنی بدست می‌آوریم:

$$\sigma_x = -\frac{My}{I} \quad (17-4)$$

معادله‌های $(15-4)$ و $(16-4)$ را فرمول‌های خمث الامستیک، و
تشقق قائم σ ناشی از خمث عضو راتش خمثی می‌گویند. این
تشقق در بالای بمحور خوشی $(\sigma_y > \sigma_x)$ فشاری است $(\sigma_y > \sigma_x)$ هرگاه
لنگر خمثی M ثابت باشد، و کثثی است $(\sigma_y > \sigma_x)$ هرگاه M
متغیر باشد.

با توجه به معادله (۴-۱۵)، نسبت $\%/\%$ فقط به شکل هندسی مقطع عرضی بستگی دارد. این نسبت را مدول الاستیک می‌گویند و با E نشان می‌دهند:

$$S = \frac{I}{c} \quad (17-4)$$

با جایگذاری S برای $1/2$ در معادله (۱۵-۴)، این معادله را به صورت زیر می‌توانیم:

$$\sigma_m = \frac{M}{\zeta} \quad (1A-4)$$

* به سمت الف دریاره معانهای سطح مراجده کنند.

** به خاطر داریم که لگر خوش را میتوان گرفت، اگر لگر خوش منفی باشد، به جای M در معادله (۱۵-۴) از قدر مطلق آن، $|M|$ استفاده می‌کنیم.

حد الاستیک است. هیچ تغییر شکل دائمی وجود ندارد و قانون هوك برای تشکیل محوری به کار می رود. اگر ماده را همگن بکثیریم و مدول الاستیتیه آن را با α نشان دهیم، در جهت طولی، α ،

$$\sigma_x = E x_i \quad (11-4)$$

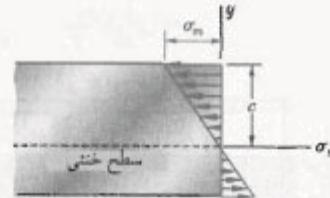
طرفین معادله $(4-10)$ را در E ضرب می‌کنیم:

$$E\epsilon_x = -\frac{y}{\epsilon}(E\epsilon_m)$$

با استفاده از معادله (۱۱-۴)،

$$\sigma_k = - \frac{y}{c} \sigma_m \quad (14-4)$$

که در آن صادرکریم مقدار مطلق تنش را نشان می‌دهد. یعنی، در تابعه الاستیک، تنش قائم بوجه فلسله از سطح خستی بعصرورت خطی تغیر می‌کند (شکل ۴-۱۲).



1T-F JK

هنوز مکان سطح خشی و مقدار ماسکریم تنش (σ_m) را
نمی دانیم هر دو را از رابطه های (۱-۴) و (۳-۴) می توان
محاسبه کرد. با جایگذاری σ_m از (۲-۴) در (۱-۴)

$$\int \sigma_x \, dA = \int \left(-\frac{y}{c} \sigma_m \right) dA = -\frac{\sigma_m}{c} \int y \, dA = 0$$

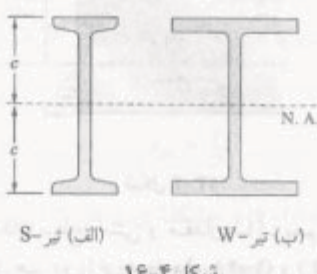
$$\int y \, dA = 0 \quad (13-4)$$

این معادله نشان می‌دهد که ممکن اول مقطع عرضی نسبت به محور خیتی آن صفر است.^۱ به عبارت دیگر، برای عضوی که در حمین خالص است، تا وقتی تنش در ناحیه الاستیک است،

محور افقی اختیاری ۲ به دست آمد. من و دویم:



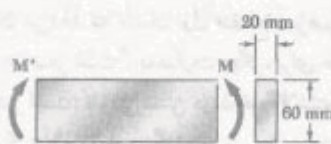
شکل ۱۵-۴ تیرهای فولادی، بال پهن، قاب اغلب ساختمان‌ها را تشکیل می‌دهد.



شکل ۱۶-۴

مثال ۱۶-۴

میله فولادی، با مقطع عرضی مستطیلی $20 \times 60 \text{ mm}$ ، تحت دو کوبیل مساوی و متضاد است. این کوبیل‌ها در صفحه تقاضن عمودی میله اثر می‌کنند (شکل ۱۷-۴). مقدار لگر خمشی M را که باعث تسلیم می‌شود باید، فرض کنید $\sigma_y = 250 \text{ MPa}$.



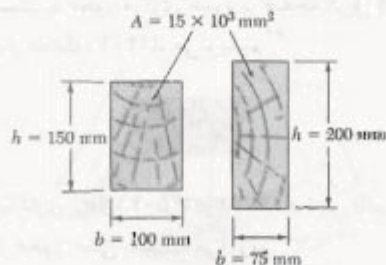
شکل ۱۷-۴

* لسته، مقادیر سریگ نسبت h/b ممکن است به نایابی‌داری جانی تیر بینجامد.

چون تنش ماکزیمم σ_m با مدول الاستیک S به طور معکوس متناسب است، واضح است که تیرها را باید تا حد امکان با مقدار S بزرگ طراحی کرد. مثلاً، در یک تیر چوبی با مقطع عرضی مستطیلی به عرض b و ارتفاع h ،

$$S = \frac{I}{c} = \frac{\frac{1}{12}bh^3}{h/2} = \frac{1}{4}bh^2 = \frac{1}{4}Ah \quad (19-4)$$

که در آن، A مساحت مقطع عرضی تیر است. طبق این رابطه، از میان دو تیر با مساحت مقطع عرضی یکسان (شکل ۱۴-۴)، تیر با عمق بزرگتر دارای مدول بزرگتر است و مقاومت بیشتری در برابر خمی دارد.*



شکل ۱۴-۴

برای فولاد ساختمانی، تیرهای استاندارد آمریکایی و تیرهای بال پهن (شکل ۱۵-۴) بر سایر تیرها ترجیح دارند زیرا قسمت بزرگی از مقطع عرضی آنها در فاصله دور از محور خمشی قرار دارد (شکل ۱۶-۴). لذا، برای یک مساحت مقطع و ارتفاع معین، تیرهای مذکور دارای I و S بزرگ هستند. مدول الاستیک تیرهای رایج را از جدول خواص هندسی آنها می‌توان بعدست آورد. برای تعیین تنش ماکزیمم σ_m در مقطع معینی از یک تیر استاندارد، فقط باید مقدار مدول الاستیک S را از جدول تعیین، و لگر خمشی M در مقطع را بر تقریب کرد.

تفاوت شکل عضو بر اثر لگر خمشی M با انحنای سطح خمشی اندازه‌گیری می‌شود. این انحنا با معکوس شعاع انحنا، $1/\rho$ ، تعریف می‌شود، از معادله (۹-۴)،

$$\frac{1}{\rho} = \frac{\epsilon_m}{c} \quad (20-4)$$

در ناحیه الاستیک، $\epsilon_m = \sigma_m/E$. با جایگذاری ϵ_m در (۲۰-۴) و با توجه به (۱۵-۴)،

$$\frac{1}{\rho} = \frac{\sigma_m}{Ec} = \frac{1}{Ec} \frac{Mc}{I}$$

با

$$\frac{1}{\rho} = \frac{M}{EI} \quad (21-4)$$

محور خشنی از مرکزووار C می‌گذرد (شکل ۲۰-۴) و فاصله دورترین نقطه مقطع عرضی تا محور خشن چنین است:

$$c = r - \bar{y} = 12 \text{ mm} - 5,093 \text{ mm} = 6,907 \text{ mm}$$

با استفاده از معادله (۹-۴)

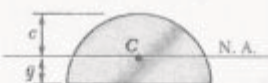
$$\epsilon_m = \frac{c}{\rho} = \frac{6,907 \times 10^{-3} \text{ m}}{2,05 \text{ m}} = 2,763 \times 10^{-3}$$

با استفاده از قانون هوك،

$$\sigma_m = E \epsilon_m = (20 \times 10^9 \text{ Pa})(2,763 \times 10^{-3}) = 193,4 \text{ MPa}$$

چون این طرف میله به طرف خارج مرکز انحنای خمیده می‌شود، تنش حاصل از نوع کششی است. ماکریم تنش فشاری روی وجه تخت میله به وجود می‌آید. چون تنش با فاصله از محور خشنی مناسب است، می‌توانیم

$$\begin{aligned} \sigma_{\text{تندار}} &= -\frac{\bar{y}}{c} \sigma_m = -\frac{5,093 \text{ mm}}{6,907 \text{ mm}} (193,4 \text{ MPa}) \\ &= -142,6 \text{ MPa} \end{aligned}$$



شکل ۲۰-۴

۴-۵ تغییر شکل در مقطع عرضی
در قسمت ۳-۴، هنگام اثبات این موضوع که مقطع عرضی در عضوی که تحت خمن خالص است به صورت صفحه‌ای می‌ماند، در ذیرنویس به امکان تغییر شکل در صفحه مقطع اشاره کردیم. طبق قسمت ۱۱-۲، اجزا در حالت تنش تک محوری هستند ($\sigma_x \neq \sigma_y = \sigma_z = \sigma_0$) و در جهت‌های x ، y و z تغییر شکل می‌دهند. بنابراین، تغییر شکل در صفحه مقطع وجود دارد. کرنش‌های قائم ϵ_x و ϵ_z به صورت زیر بیان می‌شوند:

$$\epsilon_x = -\nu \epsilon_z \quad \epsilon_z = -\nu \epsilon_x$$

(نسبت پواسون عضو است). با توجه به معادله (۸-۴)،

$$\epsilon_y = \frac{\nu y}{\rho} \quad \epsilon_z = \frac{\nu y}{\rho} \quad (22-4)$$

وابطه‌هایی را که تا به حال بدست آورده‌ایم نشان می‌دهند که بالای سطح خشنی هستند ($y > 0$) در امتدادهای y و z

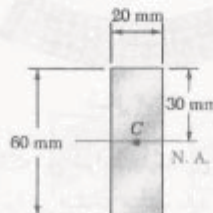
چون محور خشنی از مرکزووار مقطع عرضی (نقطه C) می‌گذرد، $c = 30 \text{ mm}$ (شکل ۱۸-۴)، از طرف دیگر، ممان اینرسی مقطع عرضی مستطیلی نسبت به محور مرکزی چنین است:

$$I = \frac{1}{12} b h^3 = \frac{1}{12} (20 \text{ mm})(60 \text{ mm})^3 = 36,0 \times 10^{-6} \text{ mm}^4$$

با حل M از معادله (۱۵-۴) و با جایگذاری داده‌های بالا،

$$M = \frac{I}{c} \sigma_m = \frac{36,0 \times 10^{-6} \text{ mm}^4}{2,05 \text{ mm}} (250 \text{ MPa})$$

$$M = 3 \text{ kN.m}$$



شکل ۱۸-۴

مثال ۴-۲

میله آلمینیومی با مقطع عرضی نیم‌دایره‌ای به شعاع $r = 12 \text{ mm}$ (شکل ۱۹-۴) به صورت قوس دایره‌ای با شعاع متوسط $p = 2,05 \text{ m}$ خم شده است. اگر وجه تخت میله به طرف مرکزی انحنای قوس خمیده باشد، ماکریم تنش کششی و فشاری را در میله بباید $E = 70 \text{ GPa}$.



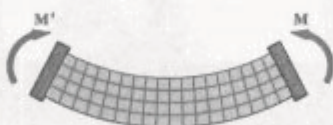
شکل ۱۹-۴

با استفاده از معادله ۲۱-۴ می‌توان لگز خمی M متناظر با شعاع انحنای p را تعیین، و سپس σ_m از معادله (۱۵-۴) استفاده کرد. ولی، بهتر است ϵ_m از معادله (۹-۴) تعیین کیم و با استفاده از قانون هوك، σ_m را بباید.

مختصه آ مرکزووار مقطع عرضی نیم دایره چنین است:

$$\bar{y} = \frac{2r}{3\pi} = \frac{4(12 \text{ mm})}{3\pi} = 5,093 \text{ mm}$$

هنجام بررسی تغیرشکل عضو متقارن در خم شخاص، نحوه اعمال کوپل های M و M' را بر عضو در نظر نگرفتیم. اگر بخواهیم تمام مقاطع عرضی عضو، از یک انتهای تا انتهای دیگر، به صورت صفحه ای پماند و فاقد تنش برتری باشد، باید کوپل ها طوری وارد شوند که دو انتهای عضو به صورت صفحه ای پماند و فاقد تنش های برتری باشد. به این دلیل، برای اعمال کوپل های M و M' از صفحات صلب و هموار استفاده می شود (شکل ۲۲-۴). نیروهای جزئی که از این صفحات بر عضو وارد می شوند بر مقاطع انتهایی عمودند، و این مقاطع می توانند تغیرشکل دهند، ولی به صورت هفدهای میمانند.

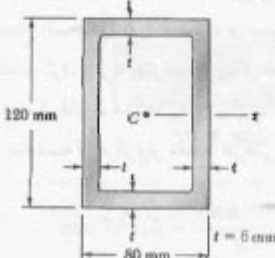


شکل ۲۲-۴

گفتنی است که این شرایط بارگذاری را در عمل نمی توان بدست آورد، زیرا هر صفحه صلب باید نیروهای کشی را در زیر محور خنثی بر مقاطع انتهایی وارد کند و این مقاطع در صفحه خود تغیرشکل ندهد. ولی، این موضوع از اهمیت مدل صفحات صلب نمی کاهد، و با همین مدل بود که در قسمت های قبل توانستم شرایط بارگذاری متناظر با رابطه های حاصل را تضمیم دهیم. گرچه شرایط بارگذاری واقعی ممکن است با این مدل ایده‌آل خیلی متفاوت باشد، ولی تا وقتی مقاطع تحت بررسی خیلی نزدیک به مکان اعمال کوپل ها نباشد، با توجه به اصل سنت-وانانت و فرمول های قسمت های قبل می توان تنش ها را در شرایط عملی محاسبه کرد.

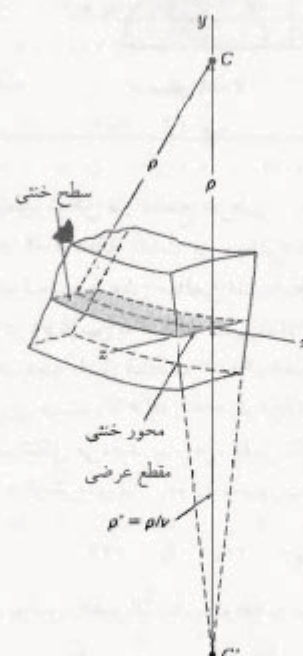
مسئله نمونه ۱-۴

لوه مستطیلی نشان داده شده از آلیاژ آلمینیوم (لوه $E = 73 \text{ GPa}$ ، $\sigma_y = 415 \text{ MPa}$ ، $\sigma_u = 275 \text{ MPa}$) ساخته شده است. با صرف نظر از تأثیر گُرددها، مطلوب است: (الف) لنگر خمی M برای ضریب اطمینان $\gamma = 3$ ، (ب) شاعر انحنای لوه.

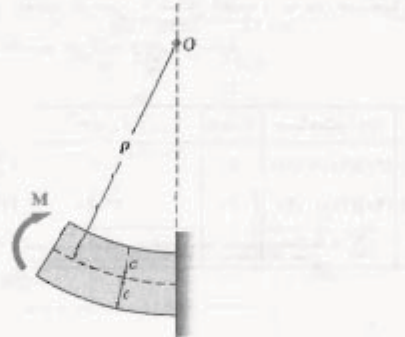


منبسط می شوند و اجزایی که پایین سطح خنثی هستند ($\theta < 90^\circ$) منقبض می شوند. در یک عضو با مقاطع عرضی مستطیلی، ابساط و انقباض اجزای مختلف در جهت عمودی یکدیگر را خنثی می کنند، و مقاطع عرضی در امتداد عمودی تغییراندازه نمی دهد. البته، هنگام بررسی تغیرشکل ها در امتداد عرضی افقی z ، ابساط اجزایی که بالای سطح خنثی هستند و انقباض اجزایی که پایین سطح خنثی هستند باعث می شوند خطوط مختلف افقی در مقاطع عرضی به صورت قوس های دایره ای درآیند (شکل ۲۱-۴). حالتی که در اینجا بررسی کردیم شبیه حالتی است که قبل در مقاطع طولی دیده شد، با مقایسه معادله دوم (۲۲-۴) با معادله (۸-۴)، نتیجه می شود که محور خنثی مقاطع عرضی به صورت قوس دایره ای با شاعر $r = p/v = p'/v'$ در می آید. با فرض $\theta > 90^\circ$ ، مرکز C' این قوس در زیر سطح خنثی قرار دارد؛ یعنی، روی وجه مقابل مرکز انحنای عضو (نقطه C) واقع است. معکوس شاعر انحنای p' ، انحنای مقاطع عرضی را نشان می دهد و آن را انحنای غیر الاستیک می گویند:

$$\frac{1}{p'} = \frac{v}{\rho} \quad (23-4)$$



شکل ۲۱-۴



راه حل دیگر. چون ماکزیمم تنش عبارت است از $\sigma_{all} = 128 \text{ MPa}$ ، ماکزیمم کرنش ϵ_m را از معادله (۹-۴) می‌یابیم:

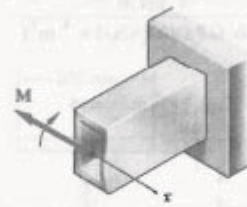
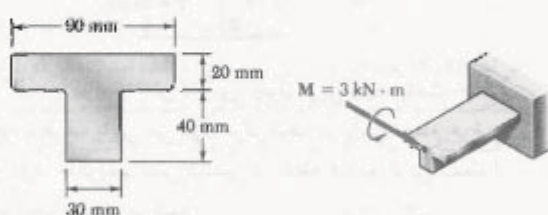
$$\epsilon_m = \frac{\sigma_{all}}{E} = \frac{128 \text{ MPa}}{20 \text{ GPa}} = 1.28 \times 10^{-3} \text{ mm/mm}$$

$$\epsilon_m \approx \frac{c}{\rho} \quad \rho = \frac{c}{\epsilon_m} = \frac{70 \text{ mm}}{1.28 \times 10^{-3}}$$

$$\rho = 31,7 \text{ m} \quad \rho = 31,7 \text{ m} \quad \blacktriangleleft$$

مسئله نمونه ۲-۴

قطعه مکانیکی چندی تحت کوپل ۳ kN.m قرار دارد. اگر $E = 205 \text{ GPa}$ با مرتفعتر از تأثیرگردها، مطلوبست: (الف) ماکزیمم تنش های کشی و فشاری در قطعه، (ب) شعاع انحنای قطعه.

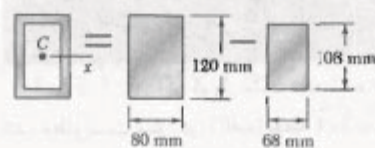


حل

مان اینرسی. ممان اینرسی مساحت مقطع عرضی لوله چنین است:

$$I = \frac{1}{12} (80 \text{ mm})(120 \text{ mm})^3 - \frac{1}{12} (78 \text{ mm})(108 \text{ mm})^3$$

$$I = 4,38 \times 10^7 \text{ mm}^4$$



تشن سنجار. برای ضرب اطمینان ۳ و تنش نهایی $\sigma_{all} = 125 \text{ MPa}$

$$\sigma_{all} = \frac{\sigma_U}{F.S.} = \frac{125 \text{ MPa}}{3,00} = 128 \text{ MPa}$$

چون $\sigma_{all} < \sigma_u$ ، لوله در ناحیه الاستیک است و از نتایج قسمت ۴-۴ می‌توان استفاده کرد.

الف. لنگر خمشی. با $c = \frac{1}{7}(120 \text{ mm}) = 90 \text{ mm}$ می‌نویسیم:

$$\sigma_{all} = \frac{Mc}{I}$$

$$M = \frac{I}{c} \sigma_{all} = \frac{4,38 \times 10^7 \text{ mm}^4}{0,09 \text{ m}} (128 \text{ MPa})$$

$$M = 10,1 \text{ kN.m} \quad \blacktriangleleft$$

ب. شعاع انحنای.

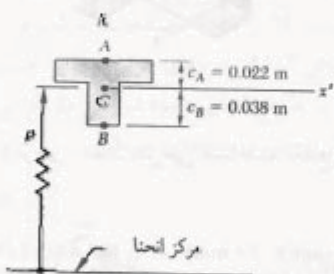
$$\rho = \frac{M}{EI} = \frac{10,1 \text{ kN.m}}{(205 \text{ GPa})(4,38 \times 10^7 \text{ mm}^4)} = 0,316 \text{ m}^{-1}$$

$$\rho = 31,6 \text{ m} \quad \rho = 31,6 \text{ m} \quad \blacktriangleleft$$

ب. شاعع انحنای از معادله (۲۱-۴).

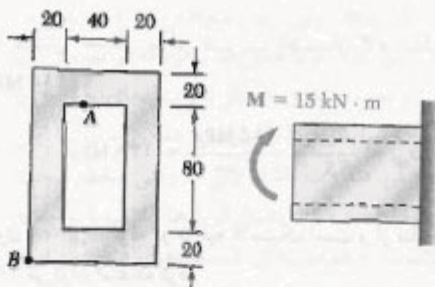
$$\frac{Y}{\rho} = \frac{M}{EI} = \frac{3 \text{ kN.m}}{(165 \text{ GPa})(868 \times 10^{-4} \text{ m}^4)}$$

$$= 20/95 \times 10^{-7} \text{ m}^{-1} \Rightarrow$$

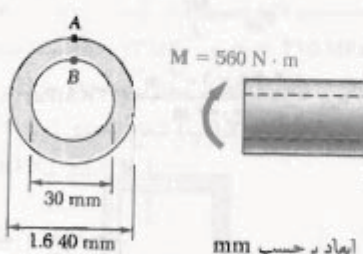


مسائل

۱-۴ و ۲-۴ اگر کوپل نشان داده شده در صفحه قائم اثر کند، مطلوبست تنش در: (الف) نقطه A، (ب) نقطه B.



شکل ۱-۴



شکل ۲-۴

* ممان اینرسی نسبت به محور کلرا از مرکز سطح-متر جم.

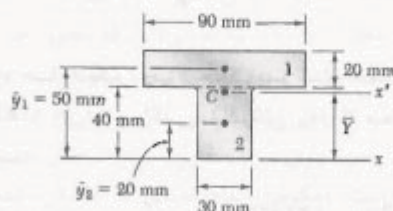
حل

مرکز سطح-مقطع عرضی T شکل قطعه را به دو مستطیل نشان داده شده تقسیم می‌کنیم و می‌نویسیم:

مساحت، mm^2	\bar{y} , mm	$\bar{y}A$, mm^3
$(\tau_0)(\tau_0) = 1\text{A}^{**}$	Δ_0	9×10^7
$(\tau_0)(\tau_0) = 1\text{A}^{**}$	τ_0	24×10^7
$\sum A = \tau_0 + \tau_0$		114×10^7

$$\bar{Y} \sum A = \sum \bar{y}A$$

$$\bar{Y}(114) = 114 \times 10^7$$

$$\bar{Y} = 10 \text{ mm}$$


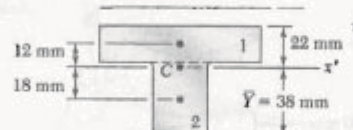
ممان اینرسی مرکزی * از قضیه محورهای موازی برای تعیین ممان اینرسی هر یک از مستطیل‌ها نسبت به محور x'، که از مرکز سطح-مقطع مرکب می‌گذرد، استفاده می‌کنیم و سپس آنها را جمع می‌زنیم:

$$I_{x'} = \sum (\bar{I} + Ad^2) = \sum \left(\frac{1}{12} bh^3 + Ad^2 \right)$$

$$= \frac{1}{12} (90)(20)^3 + (90 \times 20)(12)^2 + \frac{1}{12} (30)(20)^3$$

$$+ (30 \times 20)(10)^2$$

$$= 868 \times 10^6 \text{ mm}^4 \quad I = 868 \times 10^{-4} \text{ m}^4$$

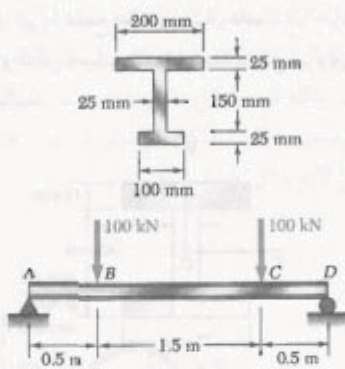


الف. ماكزييم تنش کششی، چون کوپل وارده باعث خمین قطعه به طرف پایین می‌شود، مرکز انحنای در پایین مقطع عرضی قرار دارد. ماكزييم تنش کششی در نقطه A (دورترین نقطه از مرکز انحنای) ايجاد می‌شود:

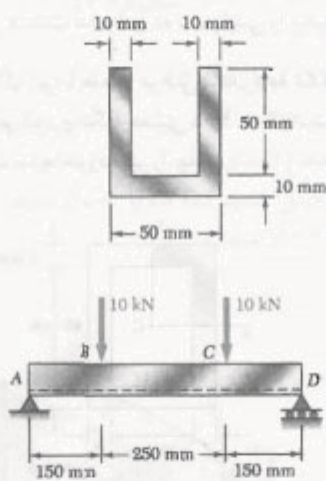
$$\sigma_A = \frac{Mc_A}{I} = \frac{(3 \text{ kN.m})(0.022 \text{ m})}{868 \times 10^{-4} \text{ m}^4} \Rightarrow \sigma_A = +76.5 \text{ MPa} \quad \blacktriangleleft$$

ماكزييم تنش فشاری. اين تنش در نقطه B روی می‌دهد:

$$\sigma_B = \frac{Mc_B}{I} = \frac{(3 \text{ kN.m})(0.038 \text{ m})}{868 \times 10^{-4} \text{ m}^4} \Rightarrow \sigma_B = -131.3 \text{ MPa} \quad \blacktriangleleft$$



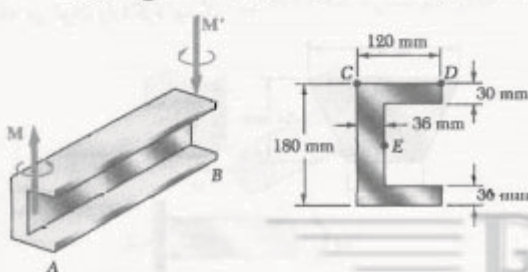
شکل ۴-۴



شکل ۴-۵

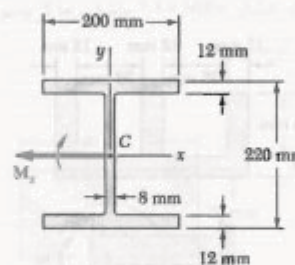
۴-۱۰ دو کوپل مساوی و متضاد با مقدار 25 kN بر تیر AB , که به شکل ناودانی است، وارد شده است. اگر کوپلها باعث شوند تیر در صفحه افقی خم شود، مطلوب است:

(الف) تنش در نقطه C ، (ب) تنش در نقطه D ، (ج) تنش در نقطه E .



شکل ۴-۱۰

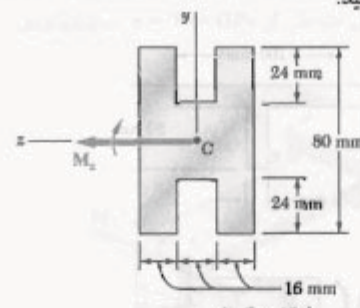
۴-۳ با استفاده از تنش مجاز 100 MPa ، ماکریم لنگر خمشی M را که می‌توان بر تیر بال پهن نشان داده شده وارد کرد باید، از تأثیرات گردها صرف نظر کنید.



شکل ۴-۶

۴-۴ مستله ۳-۴ را با این فرض حل کنید که تیر بال پهن تحت کوپل M_y حول محور لام خم شود.

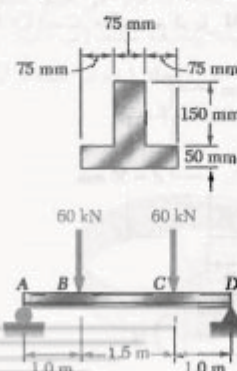
۴-۵ تیری با مقطع عرضی نشان داده شده، از آلمینیوم ساخته شده است. $\sigma_U = 250 \text{ MPa}$ و $\sigma_y = 250 \text{ MPa}$. برای ضرب اطمینان 3.00 ، ماکریم کوپلی را که می‌توان حول محور z وارد کرد باید.



شکل ۴-۷

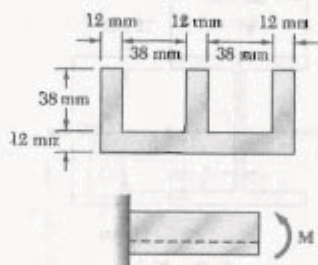
۴-۶ مستله ۴-۵ را برای خمش حول محور y حل کنید.

۴-۷ تا ۴-۹ دو نیروی عمودی بر تیر با مقطع عرضی نشان داده شده وارد شده‌اند. ماکریم تنش‌های کششی و فشاری را در قسمت BC تیر باید.



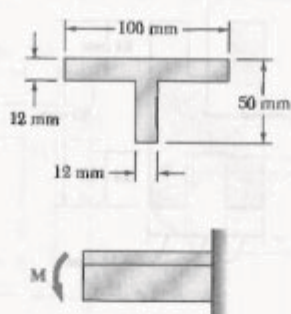
شکل ۴-۷

۱۶-۴ اگر برای تیر اکسترود نشان داده شده، تنش مجاز در کشش 110 MPa و در فشار 84 MPa باشد، ماکزیمم کوپل M را که می‌توان وارد کرد بیابید.



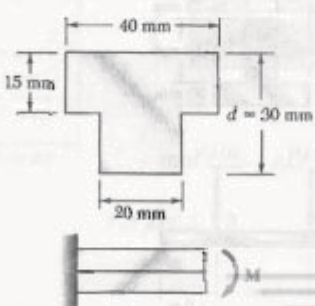
شکل م ۱۶-۴

۱۷-۴ برای تنش‌های مجاز زیر، ماکزیمم کوپل M را که می‌توان بر قطعه نشان داده شده وارد کرد بیابید.
 $\sigma_{all} = -100 \text{ MPa}$, $\sigma_{ult} = +42 \text{ MPa}$



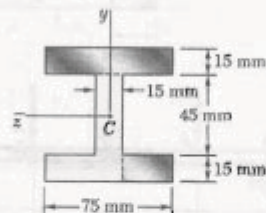
شکل م ۱۷-۴

۱۸-۴ نیر نشان داده شده از نایلون ساخته شده است، برای نایلون به کار رفته، تنش مجاز در کشش 24 MPa و در فشار 15 MPa را که می‌توان بر تیر وارد کرد بیابید.



شکل م ۱۸-۴

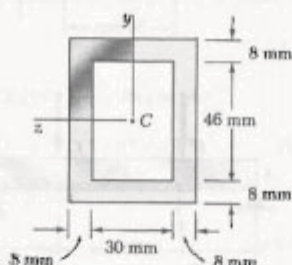
۱۹-۴ اگر تیر با مقطع عرضی نشان داده شده حول محور افقی خم شود و لنگر خمشی 8 kN.m باشد، کل نیروی وارد بر بال فوکانی را بیابید.



شکل م ۱۹-۴

۲۰-۴ اگر تیر با مقطع عرضی نشان داده شده حول یک محور عمودی خم شود و لنگر خمشی 4 kN.m باشد، کل نیروی وارد بر قسمت سایه خورده بال پایین را بیابید.

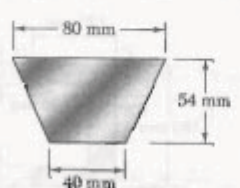
۲۱-۴ اگر تیر با مقطع عرضی نشان داده شده حول یک محور افقی خم شود و لنگر خمشی 900 N.m باشد، کل نیروی وارد بر قسمت سایه خورده تیر را بیابید.



شکل م ۲۱-۴

۲۲-۴ مسئله ۱۳-۴ را با این فرض حل کنید که تیر حول یک محور عمودی خم شود و لنگر خمشی 900 N.m باشد.

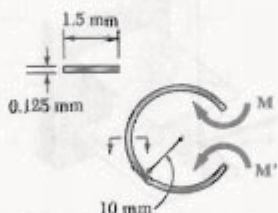
۲۳-۴ اگر برای تیر اکسترود نشان داده شده، تنش مجاز در کشش 120 MPa و در فشار 150 MPa باشد، ماکزیمم کوپل M را که می‌توان وارد کرد بیابید.



شکل م ۲۳-۴

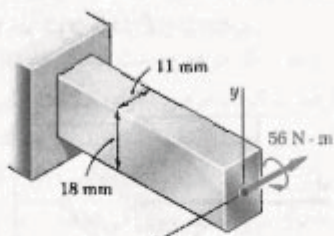
RNUEB

۲۳-۴ دیده می شود که نوار نازک فولادی به عرض 10 mm و ارتفاع 1.5 mm را می توان به صورت ذایره ای به قطر 10 mm خم کرد. بدون اینکه تغییر شکل دائمی بروزگردد آید. اگر $E = 200\text{ GPa}$ مطلوبست: (الف) ماکریعم تنش در نوار خمیده، (ب) مقدار کوپل لازم برای خمیده کردن نوار.



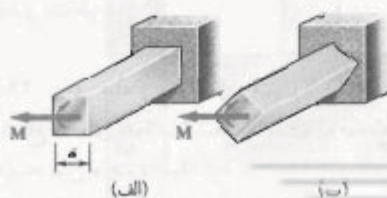
شکل ۲۳-۴ م

۲۴-۴ کوپل 65 N.m بر میله فولادی نشان داده شده وارد شده است. (الف) اگر کوپل حول محور z وارد شود، ماکریعم تنش و شعاع انحنای میله را بیابید. (ب) قسمت (الف) را با این فرض حل کنید که کوپل حول محور z وارد شود. از $E = 200\text{ GPa}$ استفاده کنید.



شکل ۲۴-۴ م

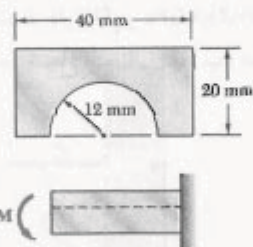
۲۵-۴ کوپل با مقدار M بر میله چهار گوشی به ضلع a وارد شده است. برای هر یک از وضعیت های نشان داده شده، ماکریعم تنش و شعاع انحنای میله را بیابید.



شکل ۲۵-۴ م

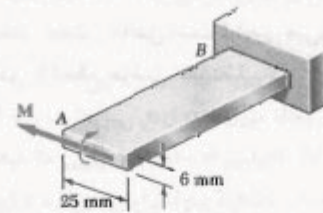
۱۸-۴ مسئله ۱۸-۴ را با فرض $d = 40\text{ mm}$ حل کنید.

۲۰-۴ اگر برای تبر نشان داده شده، تنش مجاز در کشش 84 MPa و در فشار 110 MPa باشد، ماکریعم کوپل M را که می توان وارد کرد بیابید.



شکل ۲۰-۴ م

۲۱-۴ اگر σ_y برای نوار فولادی AB برایر با 165 MPa باشد، مطلوبست: (الف) ماکریعم کوپل M را که می توان وارد کرد، (ب) شعاع انحنای متناظر از $E = 200\text{ GPa}$ استفاده کنید.



شکل ۲۱-۴ م

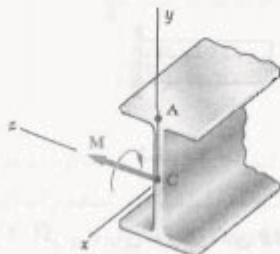
۲۲-۴ میله های راست به قطر 6 mm و به طول 30 m را داخل فلکه ای با قطر داخلی 1.25 m قرار می دهیم. مطلوبست: (الف) ماکریعم تنش در میله پیچیده شده، (ب) لنگر خمشی متناظر در میله. فرض کنید تنش ایجاد شده در میله از استقامت تسلیم آن بیشتر نمی شود. $E = 200\text{ GPa}$.



شکل ۲۲-۴ م

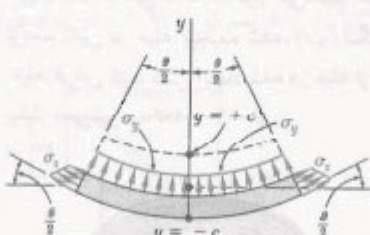
۳۰-۴ برای میله آلومینیومی و بارگذاری مستله نمونه ۱-۴، مطلوب است: (الف) شعاع انحنای r' مقطع عرضی، (ب) زاویه بین وجوه میله که در ابتداء عمودی بودند، از $E = 73 \text{ GPa}$ و $\nu = 0,33$ استفاده کنید.

۳۱-۴ نیز فولادی نورد شده $W 200 \times 31/3$ تحت کوپل $M = 45 \text{ kN.m}$ قرار دارد. اگر $E = 200 \text{ GPa}$ و $\nu = 0,29$ مطلوب است: (الف) شعاع انحنای r' ، (ب) شعاع انحنای r'' مقطع عرضی.



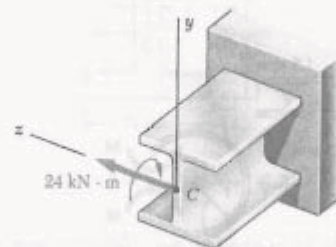
شکل ۳۱-۴

۳۲-۴ در قسمت ۳۲-۳ فرض شد که تنش های قائم σ_z در عضوی که تحت خمش خالص است ناجیز می باشد. برای عضو الاستیکی با مقطع عرضی مستطیلی که ابتداء مستقیم است، (الف) عبارت تقریبی σ_z را به صورت تابعی از θ بیانید، (ب) نشان دهید که σ_z را در موارد عملی می توان ناجیز گرفت. (واهتمایی: نمودار آزاد قسمتی از تیر را که زیر سطح با مختصه y است در نظر بگیرید و فرض کنید که توزیع تنش σ_z به صورت خطی است).



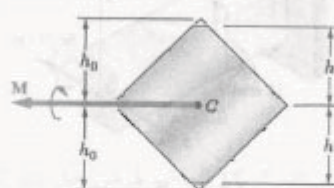
شکل ۳۲-۴

۲۶-۴ کوپل 24 kN.m بر تیر فولادی نورد شده $W 200 \times 46/1$ وارد شده است. (الف) اگر کوپل حول محور z وارد شود، تنش ماقریم و شعاع انحنای تیر را بیانید. (ب) قسمت (الف) را با این فرض حل کنید که کوپل حول محور y وارد شود. از $E = 200 \text{ GPa}$ استفاده کنید.



شکل ۲۶-۴

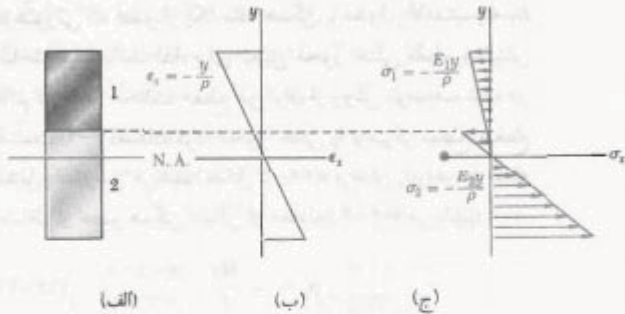
۲۷-۴ میله چهارکوشی فرزکاری شده است و مقطع آن به صورت نشان داده شده درآمده است. سپس، این میله تحت کوپل M قرار می گیرد و حول قطر افقی این خم می شود. با در نظر گرفتن حالت $h = 0,9h_0$ ، ماقریم تنش در میله را به صورت $\sigma_m = k\sigma_0$ بیان کنید، که در آن σ_0 ماقریم تنش ایجاد شده در صورتی است که میله چهارگوش اولیه تحت همان کوپل M خم شود. مقدار k را نیز بیانید.



شکل ۲۷-۴

۲۸-۴ در مسئله ۳۲-۴، مطلوب است: (الف) مقدار k که بازای آن تنش ماقریم σ_m تا حد امکان کوچک باشد، (ب) مقدار متناظر k .

۲۹-۴ برای میله و بارگذاری مثال ۱-۴، مطلوب است: (الف) شعاع انحنای r' ، (ب) شعاع انحنای r'' مقطع عرضی، (ج) زاویه بین وجوه میله که در ابتداء عمودی بودند، از $E = 200 \text{ GPa}$ و $\nu = 0,29$ استفاده کنید.



شکل ۲۴-۴ توزیع کرنش و نش در میله مشکل از دو ماده.

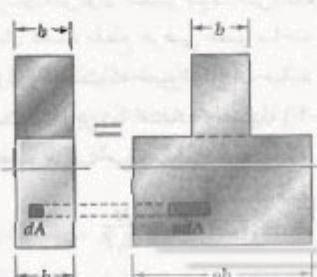
برای نیروی dF_1 وارد بر یک جزء قسمت پایینی «قطع عرضی با همان مساحت dA » داریم:

$$dF_1 = \sigma_1 dA = -\frac{E_1 y}{\rho} dA \quad (26-4)$$

اگر نسبت E_1/E_2 را با n نشان دهیم،

$$dF_1 = -\frac{(nE_1)y}{\rho} dA = -\frac{E_1 y}{\rho} (n dA) \quad (27-4)$$

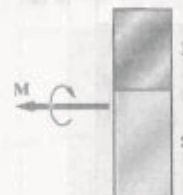
با مقایسه معادله‌های (۲۵-۴) و (۲۷-۴)، دیده می‌شود که نیروی وارد بر یک جزء با مساحت $n dA$ از ماده اول برابر با dF_1 است. به عبارت دیگر، اگر هر دو قسمت میله از ماده اول ساخته شده باشند، یا ضرب کردن عرض اجزای قسمت پایینی در n ، مقاومت میله در برابر خمن تغییر نمی‌کند. توجه کنید که این عرض شدگی (اگر $n > 1$)، یا باریک شدگی (اگر $n < 1$)، در جهت موازی یا محور خشی مقطع روی می‌دهد زیرا فاصله یا هر جزء از محور خشی باید ثابت بماند. مقطع عرضی جدیدی را که به این طریق حاصل می‌شود مقطع تبدیل یافته عضو می‌گویند (شکل ۲۵-۴).



شکل ۲۵-۴ مقطع تبدیل یافته برای میله مرکب.

۶-۴ خشن عضوهایی که از مواد مختلف ساخته شده‌اند

روابط قسمت ۶-۴ بر مبنای این فرض بود که عضو از یک ماده همگن با مدل الاستیستیه معلوم E ساخته شده است. اگر عضو در خشن خالص باشد واز دو یا چند ماده با مدل‌های الاستیستیه مختلف ساخته شده باشد، برای تعیین نش در آن باید از روش دیگر استفاده کرد.



شکل ۲۶-۴

فرض کنید میله‌ی زد و قسمت با ماده مختلف ساخته شده است و مقطع طرحی این دو قسمت، مطابق شکل ۲۳-۴، بهم متصل شده‌اند. این میله مرکب به صورتی که در قسمت ۲-۴ گفته شد تغییر شکل می‌دهد؛ یعنی، مقطع عرضی آن در تمام طول آن یکسان نمی‌ماند. ضمناً، در قسمت ۳-۴ همچو
فرصت درباره رابطه نش-کرنش ماده یا ماده در نظر گرفته نشد.
لذا، کرنش قائم ϵ بر حسب فاصله y از محور خشی مقطع
به صورت خطی تغییر می‌کند (شکل ۲۶-۴ (الف و ب)، و

فرمول (۸-۴) به کار می‌رود:

$$\epsilon_y = -\frac{y}{\rho} \quad (8-4)$$

البته، نمی‌توان فرض کرد محور خشی از مرکز سطح مقطع مرکب می‌گذرد، و یکی از اهداف تحلیل در اینجا تعیین مکان این محور است.

چون مدل‌های الاستیستیه E_1 و E_2 دو ماده با هم تفاوت دارند، نش قائم در هر ماده نیز یکسان نیست و می‌نویسیم:

$$\sigma_1 = E_1 \epsilon_x = -\frac{E_1 y}{\rho} \quad (24-4)$$

$$\sigma_2 = E_2 \epsilon_x = -\frac{E_2 y}{\rho} \quad (25-4)$$

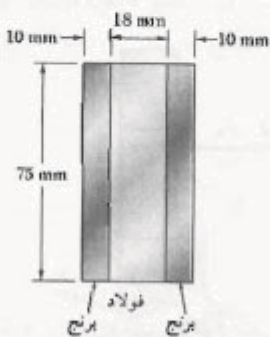
به این ترتیب، منحنی توزیع نش از دو باره خط راست تشکیل می‌شود (شکل ۲۶-۴(ج)). از معادله‌های (۲۴-۴) نتیجه می‌شود که نیروی dF_1 وارد بر جزء مساحت dA قسمت بالای مقطع عرضی چنین است:

$$dF_1 = \sigma_1 dA = -\frac{E_1 y}{\rho} dA \quad (26-4)$$

RNUEB

مثال ۲-۴

با انتقال قطعات فولادی ($E_b = 100 \text{ GPa}$) و برنجی ($E_e = 200 \text{ GPa}$) میله‌ای با مقطع عرضی نشان داده شده ساخته شده است (شکل ۲۷-۴). اگر میله تحت لنگر خمی $M = 45 \text{ kNm}$ در خمی خالص قرار گیرد، ماکزیمم تنش را در فولاد و برنج باید:



شکل ۲۷-۴

در شکل ۲۸-۴، مقطع تبدیل یافته متناظر با یک میله تمام‌برنجی نشان داده شده است.

$$n = \frac{E_e}{E_b} = \frac{200 \text{ GPa}}{100 \text{ GPa}} = 2,0$$

درنتیجه، عرض قسمت مرکزی برنج که جایگزین قسمت فولادی اولیه می‌شود برابر است با:

$$(18 \text{ mm}) \times 2,0 = 36 \text{ mm}$$

گفتی است که این تغییر اندازه در امتداد موازای با محور خشی روی می‌دهد. ممان اینترسی مقطع تبدیل یافته نسبت به محور مرکزی اش چنین است:

$$I = \frac{1}{12} b h^3 = \frac{1}{12} (56 \text{ mm})(75 \text{ mm})^3 = 1,47 \times 10^7 \text{ mm}^4$$

ماکزیمم فاصله از محور خشی، $37,5 \text{ mm}$ است. با استفاده از معادله (۲۵-۴)، ماکزیمم تنش را در مقطع تبدیل یافته می‌یابیم:

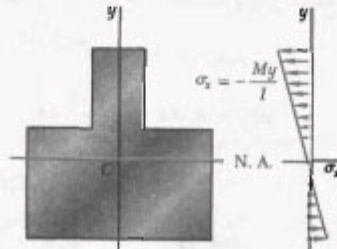
$$\sigma_m = \frac{Mc}{I} = \frac{(4,5 \times 10^7 \text{ N.m})(37,5 \times 10^{-3} \text{ m})}{1,47 \times 10^7 \text{ mm}^4} = 105,7 \text{ MPa}$$

مقدار بالا، ماکزیمم تنش در قسمت برنجی میله مرکب اولیه را نیز نشان می‌دهد. ولی، ماکزیمم تنش در قسمت فولادی از خشی خود می‌باشد.

یعنی، مقطع تبدیل یافته هم‌ارز است با مقطع عرضی عضو در صورتی که عضو از یک ماده همگن با مدول الاستیتیه، E ساخته شده باشد. لذا، برای تعیین محور خشن مقطع و تنش قائم در نقاط مختلف مقطع می‌توان از روش توصیف شده در قسمت ۴-۴ استفاده کرد. محور خشن را از مرکز سطح مقطع تبدیل یافته رسم می‌کنیم (شکل ۲۶-۴)، و تنش σ_1 را در هر نقطه متناظر از عضو همگن خیالی از معادله (۱۶-۴) می‌یابیم:

$$\sigma_1 = -\frac{My}{I} \quad (16-4)$$

(عفاصله از سطح خشن، و I ممان اینترسی مقطع تبدیل یافته نسبت به محور گذرا از مرکز سطح است).



شکل ۲۶-۴ توزیع تنش‌ها در مقطع تبدیل یافته.

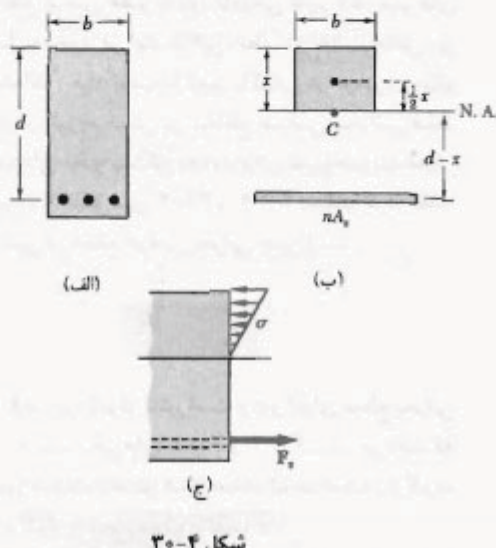
برای تعیین تنش σ_1 در هر نقطه از قسمت بالایی مقطع عرضی میله مرکب اولیه، فقط تنش σ_1 را در نقطه متناظر مقطع تبدیل یافته محاسبه می‌کنیم. ولی، برای تعیین تنش σ_1 در یک نقطه از قسمت پایینی مقطع عرضی، باید تنش σ_1 محاسبه شده در نقطه متناظر مقطع تبدیل یافته را در σ ضرب کنیم. همانطور که قبلاً دیدیم، نیروی جزئی یکسان dF بر مساحت da از مقطع تبدیل یافته و بر مساحت da از مقطع اولیه وارد می‌شود. لذا، تنش σ_1 در یک نقطه از مقطع اولیه برابر است با σ برابر تنش در نقطه متناظر از مقطع تبدیل یافته.

تغییر شکل یک عضو مرکب را با استفاده از مقطع تبدیل یافته نیز می‌توان تعیین کرد. می‌دانیم که مقطع تبدیل یافته نشان دهنده مقطع عرضی عضو ساخته شده از ماده همگنی با مدول E است که تغییر شکل آن مانند تغییر شکل میله مرکب است. بنابراین، با استفاده از معادله (۲۱-۴)، برای شعاع انحنای عضو مرکب می‌نویسیم:

$$\frac{1}{\rho} = \frac{M}{E, I}$$

که در آن I ممان اینترسی مقطع تبدیل یافته نسبت به محور خشن خود می‌باشد.

برای تعیین مقطع انتقال یافته یک تیر بتنی تقویت شده، کل مساحت مقطع عرضی A میله‌های فولادی را با nA جایگزین می‌کنیم (شکل ۳۰-۴ ب)؛ n برابر است با $\frac{E_c}{E_c + E_s}$ و به ترتیب، مدول الاستیستیه فولاد و مدول الاستیستیه بتن است. چون بتن در تیر فقط تحت فشار به خوبی عمل می‌کند، فقط قسمتی از مقطع عرضی را که در بالای محور خشی قرار دارد باید در مقطع تبدیل یافته به کار برد.



شکل ۳۰-۴

با تعیین فاصله مرکز سطح مقطع تبدیل یافته تا وجه بالایی تیر می‌توان مکان محور خشی را بدست آورد. عرض تیر را با b و فاصله خط مرکزی میله‌های فولادی از وجه بالایی را با d نشان می‌دهیم، و ممان اول مقطع تبدیل یافته را نسبت به محور خشی برابر با صفر فرار می‌دهیم. مقطع تبدیل یافته از دو قسمت تشکیل شده است. می‌نویسیم:

$$(bx) \frac{x}{2} - nA_s(d - x) = 0$$

یا

$$\frac{1}{2} bx^2 + nA_s x - nA_s d = 0 \quad (28-4)$$

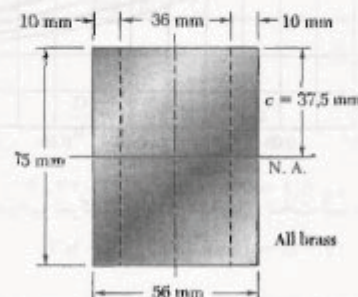
(فاصله مرکز سطح مقطع تبدیل یافته تا وجه بالایی تیر است). با حل این معادله درجه دوم، مکان محور خشی در تیر و قسمتی از مقطع عرضی تیر بتنی که به طور مؤثر مورد استفاده قرار می‌گیرد بدست می‌آید.

در مسئله نمونه ۲۹-۴، تنش در مقطع تبدیل یافته را تعیین کردیم. توزیع تنش فشاری در بتن و برایند نیروهای کششی را در میله‌های فولادی در شکل ۳۰-۴ج نشان داده شده‌اند.

مقدار حاصل برای مقطع تبدیل یافته بیشتر است، زیرا وقتی می‌خواهیم از مقطع تبدیل یافته به مقطع اولیه برگردیم، باید مساحت قسمت مرکزی را بر $1/933$ تقسیم کنیم. در نتیجه،

$$(\sigma_{\text{در برج}}) = 185/\sqrt{V} \text{ MPa}$$

$$(\sigma_{\text{در فولاد}}) = (\gamma)(185/\sqrt{V}) \text{ MPa} = 171/\sqrt{V} \text{ MPa}$$



شکل ۲۸-۴

تیرهای بتنی تقویت شده (شکل ۲۹-۴)، یکی از نمونه‌های مهم از عضوهای ساختمانی است که از دو ماده مختلف تشکیل شده‌اند. این تیرها، وقتی برای لنجگرهای خمی مثبت طراحی می‌شوند، با میله‌های فولادی که به فاصله کمی بالای وجه پایینی تیر قرار می‌گیرند تقویت می‌شوند (شکل ۳۰-۴الف). چون بتن در کشش خیلی ضعیف است، در زیر سطح خشی تری برمی‌دارد و میله‌های فولادی تمام بارکشی را تحمل می‌کنند، در حالی که قسمت بالایی تیر بتنی بار فشاری را تحمل می‌کند.



شکل ۲۹-۴

۷-۴ تمرکز تنش

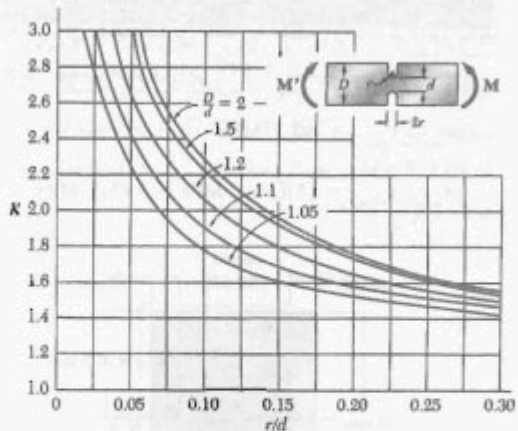
در قسمت ۲-۴، فرمول $\sigma_m = Mc/I$ برای عضوی که دارای صفحه نقارن مقطع عرضی یکنواخت است بدست آمد. در قسمت ۲-۵ دیدیم که اگر کوپل های M و M' با استفاده از صفحات سلب و هموار اعمال شوند، فرمول مذکور در تمام طول عضو به کار می آید. در موارد دیگر، در نزدیک مقاطع بارگذاری، تمرکز تنش روی می دهد.

اگر مقاطع عرضی عضو به طور ناگهانی تغیر کند، تنش های بزرگتری نیز به وجود می آیند. در این رابطه، دو حالت خاص زیر بررسی شده اند: میله تحت با تغییر ناگهانی در عرض، و میله تحت شیاردار. توزیع تنش در مقاطع عرضی بحرانی فقط به شکل هندسی عضو پستگی دارد، و برای تعیین ضریب تمرکز تنش می توان از شکل های ۳۲-۴ و ۳۱-۲ استفاده کرد. مقدار ماکریم تنش در مقاطع عرضی بحرانی چنین است:

$$\sigma_m = K \frac{Mc}{I} \quad (29-4)$$

که در آن، K ضریب تمرکز تنش است و c و I برای مقاطع بحرانی به عرض d است. شکل های ۳۱-۴ و ۳۲-۴ نشان می دهند که برای کاهش شدت تمرکز تنش باید تاحد امکان از گرده (ماهیجه) و شیار با شعاع بزرگ استفاده کرد.

در اینجا نیز مانند بارگذاری محوری و بیچش، ضریب K با فرض رابطه خطی بین تنش و کرنش محاسبه شده اند. در اغلب موارد، تغییر شکل پلاستیک روی می دهد و مقدار ماکریم تنش کمتر از مقدار حاصل از معادله (۲۹-۴) است.



شکل ۳۲-۴ ضریب تمرکز تنش برای میله های تحت شیاردار در خمن خالص.

مثال ۴-۴

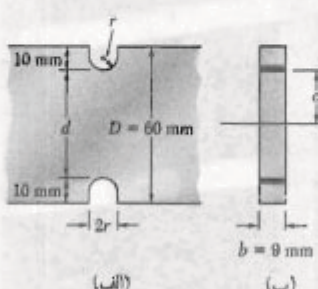
یک میله فولادی به عرض 60 mm و به ضخامت 9 mm دارای شیارهایی به عمق 10 mm است (شکل ۳۳-۴). مطلوب است کمترین عرض مجاز شیارها تا وقتی میله تحت لنگر خمشی 180 N.m قرار می گیرد، تنش در میله از 150 MPa بیشتر نشود. از شکل ۳۳-۴ الف،

$$d = 60\text{ mm} - 2(10\text{ mm}) = 40\text{ mm}$$

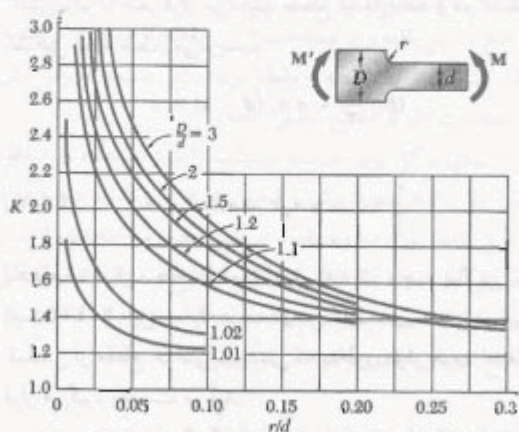
$$c = \frac{r}{2} d = 20\text{ mm} \quad b = 9\text{ mm}$$

مان اینرسی مقاطع عرضی بحرانی نسبت به محور خشی آن چنین است:

$$I = \frac{1}{4} bd^3 = \frac{1}{4} (9 \times 10^{-3}\text{ m})(40 \times 10^{-3}\text{ m})^3 \\ = 4.8 \times 10^{-8}\text{ m}^4$$



شکل ۳۳-۴



شکل ۳۱-۴ ضریب تمرکز تنش برای میله های تحت گرددار در خمن خالص.

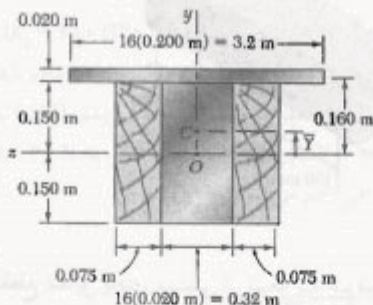
با ضرب کردن ابعاد افقی قسمت فولادی مقطع در $n = 16$ ،
مقطع تبدیل یافته‌ای که تماماً از چوب ساخته شده است
به دست می‌آید.

محور خشنی، محور خشنی از مرکز سطح مقطع تبدیل یافته
می‌گذرد. چون این مقطع از دو مستطیل تشکیل شده است،
داریم

$$\bar{Y} = \frac{\sum \bar{y}A}{\sum A} = \frac{(0,160 \text{ m})(2,2 \times 0,160 \text{ m}) + 0}{2,2 \times 0,160 \text{ m} + 0,48 \times 0,320 \text{ m}} = 0,050 \text{ m}$$

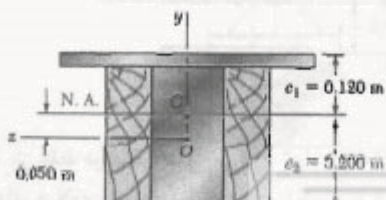
ممان اینرسی نسبت به محور گذرا از مرکز سطح، با استفاده
از نظریه محورهای موازی،

$$I = \frac{1}{12} (0,48)(0,32)^3 + (0,48 \times 0,32)(0,050)^2 + \frac{1}{12} (3,2)(0,020)^3 + (3,2 \times 0,020)(0,160 - 0,050)^2 \\ I = 2,19 \times 10^{-7} \text{ m}^4$$



الف. تنش ماکریم در چوب. دورترین فاصله از محور
خشنی در امتداد لبه چوب قرار دارد، یعنی در جایی که
 $e_r = 0,200 \text{ m}$

$$\sigma_w = \frac{Mc_r}{I} = \frac{(50 \times 10^7 \text{ N.m})(0,200 \text{ m})}{2,19 \times 10^{-7} \text{ m}^4} \\ \sigma_w = 4,55 \text{ MPa} \quad \blacktriangleleft$$



مقدار تنش Mc/I عبارت است از:

$$\frac{Mc}{I} = \frac{(180 \text{ N.m})(20 \times 10^{-3} \text{ m})}{48 \times 10^{-7} \text{ m}^4} = 75 \text{ MPa}$$

با جایگذاری این مقدار در معادله (۲۹-۴) و با استفاده از
 $\sigma_m = 150 \text{ MPa}$ داریم

$$150 \text{ MPa} = K(75 \text{ MPa})$$

$$\Rightarrow K = 2$$

از طرف دیگر،

$$\frac{D}{d} = \frac{90 \text{ mm}}{40 \text{ mm}} = 2,25$$

برای $K = 2$ و $D/d = 2,25$ ، طبق شکل ۱۳-۴،

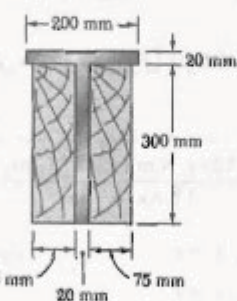
$$r = 0,13d = 0,13(40 \text{ mm}) = 5,2 \text{ mm}$$

لذا، کمترین عرض، مجاز شیار چنین است:

$$2r = 2(5,2 \text{ mm}) = 10,4 \text{ mm}$$

مسئله نمونه ۳-۴.

دو ورق فولادی به هم جوش شده‌اند و یک تیر T شکل را
تشکیل داده‌اند. این تیر به دو الوار بلوط پیچ و مهره شده است.
مدول الاستیتیه برای چوب $E_c = 12,5 \text{ GPa}$ و برای فولاد
 $E_w = 200 \text{ GPa}$ است. اگر لغزش خمشی $M = 50 \text{ kN.m}$ بر این تیر
مرکب وارد شود، مطلوب است: (الف) تنش ماکریم در چوب،
(ب) تنش در فولاد در امتداد لبه بالایی.



حل

مقطع تبدیل یافته، ایندا نسبت زیر را محاسبه می‌کنیم:

$$k = \frac{E_c}{E_w} = \frac{12,5 \text{ GPa}}{200 \text{ GPa}} = 16$$

RNUEB

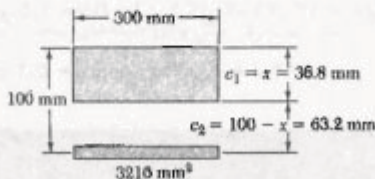
از بتن تحت فشار است (بالای محور خشی)، و دیگری مساحت تبدیل یافته فولاد، nA_s ، است. می‌نویسیم:

$$n = \frac{E_s}{E_c} = \frac{700 \text{ GPa}}{25 \text{ GPa}} = A_{f0}$$

$$nA_s = A_{f0} (402 \text{ mm}) = 3216 \text{ mm}^2$$

محور خشی، محور خشی تیغه از مرکز سطح مقطع تبدیل یافته می‌گذرد. معان مقاطع تبدیل یافته را نسبت به محور خشی با هم جمع می‌کنیم:

$$300x \left(\frac{x}{\gamma} \right) - 3216 (100 - x) = 0 \quad x = 36.8 \text{ mm}$$



معان اینرسی، معان اینرسی مساحت تبدیل یافته نسبت به محور گذرا از مرکز سطح چنین است:

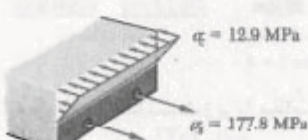
$$I = \frac{1}{3} (300)(36.8) + 3216 (100 - 36.8)^2 = 12,8 \times 10^6 \text{ mm}^4$$

الف. تنش ماسکریم در بتن. در بالای تیغه، داریم $e_1 = 36.8 \text{ mm}$

$$\sigma_c = \frac{Mc_1}{I} = \frac{(4500 \text{ N.m})(0.0368 \text{ m})}{12,8 \times 10^6 \text{ mm}^4} = 12.9 \text{ MPa} \quad \blacktriangleleft$$

ب. تنش در فولاد. برای فولاد، داریم $e_1 = 93.2 \text{ mm}$ و $n = A_{f0}$

$$\sigma_s = n \frac{Mc_1}{I} = A_{f0} \frac{(4500 \text{ N.m})(0.0932 \text{ m})}{12,8 \times 10^6 \text{ mm}^4} = 177.8 \text{ MPa} \quad \blacktriangleleft$$



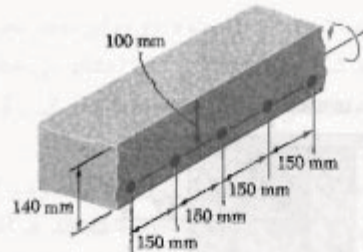
ب. تنش در فولاد. در امتداد لبه بالایی، $c_1 = 0,120 \text{ m}$. از مقطع تبدیل یافته، تنش معادل در چوب را می‌باشیم و آن را در n ضرب می‌کنیم تا تنش در فولاد بدست آید:

$$\sigma_s = n \frac{Mc_1}{I} = (16) \frac{(50 \times 10^7 \text{ N.m})(0,120 \text{ m})}{2,19 \times 10^6 \text{ m}^4}$$

$$\sigma_s = 42.8 \text{ MPa} \quad \blacktriangleleft$$

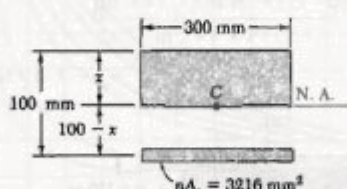
مسئله نمونه ۴-۴

یک تیغه پنتی توسط میله‌های فولادی به قطر ۱۶ mm تقویت شده است. این میله‌ها به فاصله ۳۸ mm بالای وجه پایینی تیغه قرار دارند و فاصله مرکز آنها از یکدیگر ۱۵۰ mm است. مدول الاستیسیته برای بتن ۲۵ GPa و برای فولاد ۷۰۰ GPa است. اگر لنگر خمثی ۴,۵ kN.m بر هر فوت عرض تیغه وارد شود، مطلوب است: (الف) تنش ماکریم در بتن، (ب) تنش در فولاد.



حل
مقطع تبدیل یافته، قسمتی از تیغه به عرض ۳۰۰ mm در نظر می‌گیریم، که در آن دو میله به قطر ۱۶ mm کلاً دارای مساحت مقطع عرضی زیر هستند:

$$A_s = 2 \left[\frac{\pi}{4} (16 \text{ mm})^2 \right] = 402 \text{ mm}^2$$

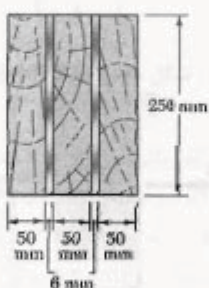


چون بتن فقط در فشار عمل می‌کند، تمام نیروهای کششی را میله‌های فولادی تحمل می‌کنند و مقطع تبدیل یافته از دو مساحت نشان داده شده تشكیل شده است. یکی از آنها قسمتی

RNUEB

مسائل

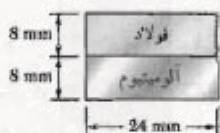
فولاد	چوب	
۲۰۰ GPa	۱۶ GPa	مدول الاستیسیته
۱۵۰ MPa	۱۶ MPa	تتش مجاز



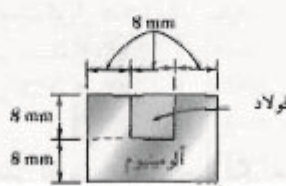
شکل م ۳۷-۴

۳۸-۴ در مسئله ۳۷-۴، ماکریم لنگر خمشی را برای خمش عضو مدل یک محور عمودی بیابید.

۳۹-۴ و ۴۰-۴ از اتصال میله فولادی ($E_y = 210 \text{ GPa}$) و میله آلومینیومی ($E_y = 70 \text{ GPa}$)، میله مرکب نشان داده شده به وجود آمده است. مطلوبست تنش ماکریم: (الف) در آلومینیوم، (ب) در فولاد، وقتی میله تحت لنگر $M = 60 \text{ N.m}$ حول یک محور افقی ختم می‌شود.



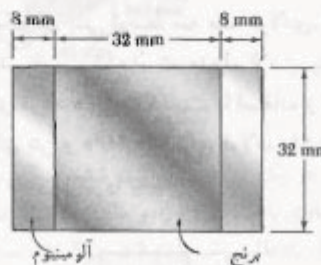
شکل م ۳۹-۴



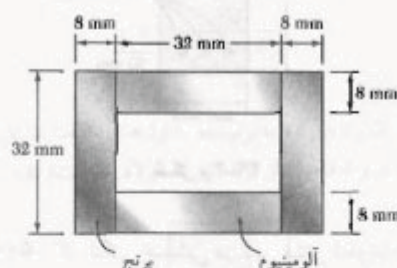
شکل م ۴۰-۴

۳۴-۴ و ۳۵-۴ میلهای با مقطع عرضی نشان داده شده از برنج و آلومینیوم است. با استفاده از داده‌های زیر، ماکریم لنگر خمشی مجاز را برای خشن میله حول یک محور افقی بیابید.

برنج	آلومینیوم	
۱۰۵ GPa	۷۰ GPa	مدول الاستیسیته
۱۵۰ MPa	۱۰۰ MPa	تتش مجاز



شکل م ۳۴-۴



شکل م ۳۵-۴

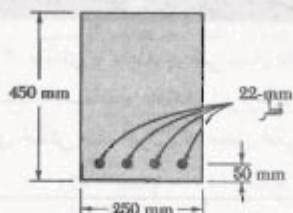
۳۶-۴ و ۳۷-۴ برای میله مرکب نشان داده شده، ماکریم لنگر خمشی مجاز را در میله برای خشن آن حول یک محور عمودی بیابید:

۳۵-۴ میله مسئله ۳۵-۴

۳۶-۴ میله مسئله ۳۶-۴

۳۷-۴ سه تیر چوبی و دو ورق فولادی به هم پیچ شده‌اند و عضو مرکب نشان داده شده را ساخته‌اند. با استفاده از داده‌های زیر، ماکریم لنگر خمشی مجاز را برای خشن عضو حول یک محور افقی بیابید.

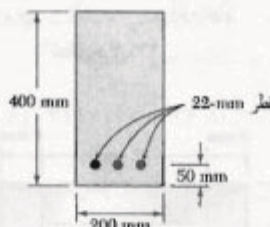
RuEB



شکل ۴۷-۴

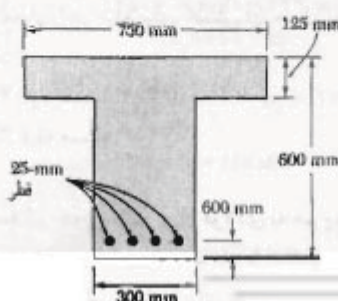
۴۷-۴ مسئله ۴۷ را با این فرض حل کنید که عمق تیر از $450 - 50 = 400$ mm به $450 - 22 = 428$ mm افزایش یابد.

۴۹-۴ یک تیر بتنی توسط سه میله فولادی، که مطابق شکل قرار دارند، تقویت شده است. مدول الاستیتیه برای بتن 20 GPa و برای فولاد 200 GPa است. با استفاده از تنش مجاز 140 MPa برای بتن و 45 MPa برای فولاد، ماکریم تنش در تیر را باید محاسبه مثبت مجاز در تیر را باید.



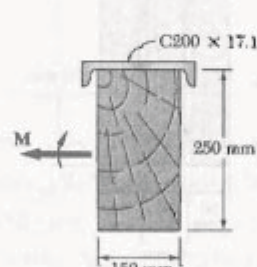
شکل ۴۹-۴

۵۰-۴ اگر لنگر خمشی در تیر بتنی تقویت شده‌ای $+700 \text{ kN.m}$ و مدول الاستیتیه برای بتن 25 GPa و برای فولاد 200 GPa باشد، مطلوبست: (الف) تنش در فولاد، (ب) ماکریم تنش در بتن.

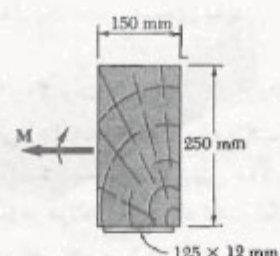


شکل ۵۰-۴

۴۱-۴ و ۴۲-۴ تیر چوبی با مقطع عرضی $150 \times 250 \text{ mm}$ به تقویت‌کننده فولادی پیچ شده است. مدول الاستیتیه چوب و فولاد، به ترتیب، 12 GPa و 200 GPa است. اگر تیر تحت کوپل $M = 50 \text{ kN.m}$ حول یک محور افقی خم شود، مطلوبست ماکریم تنش: (الف) در چوب، (ب) در فولاد.



شکل ۴۱-۴



شکل ۴۲-۴

۴۳-۴ و ۴۴-۴ برای میله موب نشان داده شده، شعاع انحنای ناشی از اعمال کوپل 35 N.m را باید.

۴۳-۴ میله مسئله ۴۳-۴

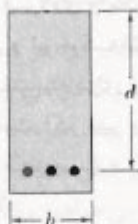
۴۴-۴ میله مسئله ۴۴-۴

۴۵-۴ و ۴۶-۴ برای تیر مربک نشان داده شده، شعاع انحنای ناشی از اعمال کوپل 55 N.m را باید.

۴۱-۴ تیر مسئله ۴۱-۴

۴۲-۴ تیر مسئله ۴۲-۴

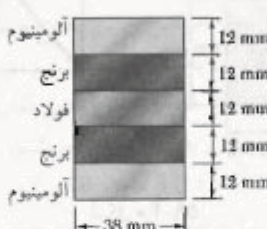
۴۷-۴ تیر بتنی تقویت شده‌ای تحت لنگر خمشی مثبت 175 kN.m قرار دارد. اگر مدول الاستیتیه برای بتن 25 GPa و برای فولاد 200 GPa باشد، مطلوبست: (الف) تنش در فولاد، (ب) ماکریم تنش در بتن.



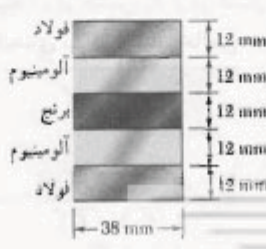
شکل م ۵۴-۴ و م ۵۳-۶

۵۴-۴ برای تیر بتنی نشان داده شده، مدول الاستیستیه برای بتن 25 GPa و برای فولاد 200 GPa است. اگر برای بتن $\sigma_c = 25 \text{ MPa}$ و برای فولاد $\sigma_e = 400 \text{ MPa}$ با استفاده از تنش مجاز 12.5 MPa برای بتن و 140 MPa برای فولاد، مطلوبست: (الف) مساحت A فولاد تقویت‌کننده در صورتی که بخواهیم طرح متوازن باشد، (ب) ماکزیمم لکر خمی مجاز (برای تعریف طرح متوازن، به مسئله ۵۲-۴ مراجعه کنید).

۵۵-۴ و ۵۶-۴ پنج تسمه فلزی، هر یک با مقطع عرضی $12 \times 38 \text{ mm}$ ، به یکدیگر متصل و تیر مرکب نشان داده شده را تشکیل داده‌اند. مدول الاستیستیه برای فولاد 200 GPa ، برای برق 105 GPa و برای آلمینیوم 75 GPa است. اگر تیر با اعمال کوپل $1/4 \text{kN.m}$ حول یک محور افقی خم شود، مطلوبست: (الف) ماکزیمم تنش در هر یک از سه فلز، (ب) شعاع انحنای تیر مرکب.

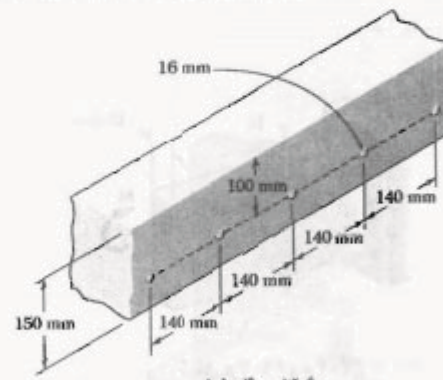


شکل م ۵۵-۴



شکل م ۵۶-۴

۵۱-۴ یک دال بتی توسط میله‌هایی به قطر 16 mm تقویت شده است، فاصله مراکز میله‌ها 140 mm است. مدول الاستیستیه بتن و فولاد، به ترتیب، 20 GPa و 200 GPa است. با استفاده از تنش مجاز 4 MPa برای بتن و 140 MPa برای فولاد، ماکزیمم لکر خمی را که می‌توان بر واحد طول دال وارد کرد بیابند.

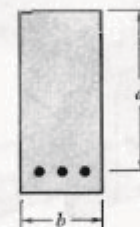


شکل م ۵۱-۴

۵۲-۴ در یک تیر بتنی تقویت شده، هرگاه ماکزیمم تنش در فولاد مساوی با تنش مجاز σ_e و ماکزیمم تنش در بتن مساوی با تنش مجاز σ_c باشد، تیر رامتوازن می‌گویند. نشان دهد که برای دست‌یابی به یک طرح متوازن، فاصله x از نوک تیر تا محور خنثی باید به صورت زیر باشد:

$$x = \frac{d}{1 + \frac{\sigma_c E_c}{\sigma_e E_e}}$$

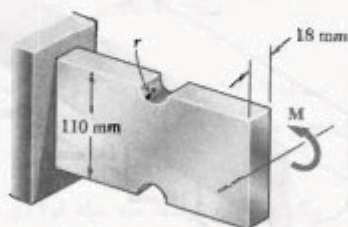
که در آن E_c و E_e ، به ترتیب، مدول‌های الاستیستیه بتن و فولاد هستند و d فاصله از نوک تیر تا فولاد تقویت‌کننده است.



شکل م ۵۲-۴

۵۳-۴ برای تیر بتنی نشان داده شده، مدول الاستیستیه برای بتن 24 GPa و برای فولاد 200 GPa است. اگر برای بتن $\sigma_c = 24 \text{ MPa}$ و برای فولاد $\sigma_e = 400 \text{ MPa}$ با استفاده از تنش مجاز 12 MPa برای بتن و 140 MPa برای فولاد، مطلوبست: (الف) مساحت A فولاد تقویت‌کننده در صورتی که بخواهیم طرح متوازن باشد، (ب) ماکزیمم لکر خمی مجاز (برای تعریف طرح متوازن، به مسئله ۵۲-۴ مراجعه کنید).

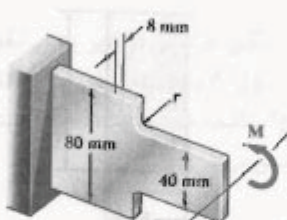
۶۱-۴ شیارهای نیم دایره‌ای با شعاع r ، مطابق شکل، در جوانب یک عضو فولادی فرز شده‌اند. با استفاده از تنش مجاز 55 MPa ، مطلوبست ماکریسم لنگر خمشی که می‌توان بر عضو وارد کرد در صورتی که شعاع r شیارهای نیم دایره‌ای برابر است با: (الف) 10 mm ، (ب) 18 mm .



شکل ۶۱-۴ و ۶۲-۴

۶۲-۴ شیارهای نیم دایره‌ای با شعاع r ، مطابق شکل، در جوانب یک عضو فولادی فرز شده‌اند. اگر $M = 450 \text{ N.m}$ ، مطلوبست ماکریسم تنش در عضو در صورتی که: (الف) $r = 18 \text{ mm}$ ، (ب) $r = 10 \text{ mm}$.

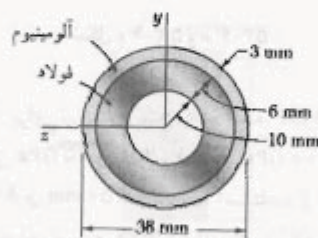
۶۳-۴ اگر $M = 250 \text{ N.m}$ ، مطلوبست ماکریسم تنش در تیر نشان داده شده وقتی شعاع r گُرده برابر است با: (الف) 4 mm ، (ب) 8 mm .



شکل ۶۳-۴ و ۶۴-۴

۶۴-۴ اگر تنش مجاز در تیر نشان داده شده 40 MPa باشد، مطلوبست لنگر خمشی مجاز M وقتی شعاع r گُرده‌ها برابر است با: (الف) 8 mm ، (ب) 12 mm .

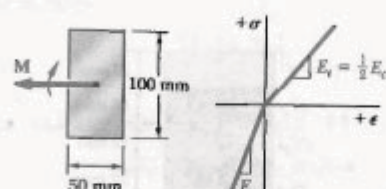
۵۷-۴ یک لوله فولادی و یک لوله آلومینیومی به یکدیگر محکم شده‌اند و تیر مرکب نشان داده شده را تشکیل داده‌اند. مدول الاستیسیته برای فولاد 210 GPa و برای آلومینیوم 70 GPa است. اگر تیر مرکب با اعمال کوپل ۵۰۰ N.m خم شود، مطلوبست ماکریسم تنش: (الف) در آلومینیوم، (ب) در فولاد.



شکل ۵۷-۴

۵۸-۴ مسئله ۶۱-۴ را با این فرض حل کنید که لوله داخلی به ضخامت 6 mm از آلومینیوم و لوله خارجی به ضخامت 3 mm از فولاد ساخته شده باشد.

۵۹-۴ تیر مستطیلی نشان داده از پلاستیک ساخته شده است که مدول الاستیسیته آن در کشش نصف مقدار آن در فشار است. برای لنگر خمشی $M = 600 \text{ N.m}$ ، مطلوبست: (الف) ماکریسم تنش کششی، (ب) ماکریسم تنش فشاری.



شکل ۵۹-۴

۶۰-۴ یک تیر مستطیلی از ماده‌ای ساخته شده است که مدول الاستیسیته آن در کشش E_r و در فشار E_c است. نشان دهید که شعاع انحنای تیر در خمس خالص عبارت است از

$$\frac{1}{\rho} = \frac{M}{E_r I}$$

که در آن

$$E_r = \frac{4 E_r E_c}{(\sqrt{E_r} + \sqrt{E_c})^2}$$

۸-۴ تغییر شکل پلاستیک

برای استنتاج رابطه $M_{pl} = M_0$ در قسمت ۴-۴، فرض شد قانون هوك در تمام عضو به کار می‌رود. اگر تنش در قسمتی از عضو از استقامت تسلیم بیشتر شود، یا اگر ماده از نوع شکننده با نمودار تنش-کرنش غیرخطی باشد، رابطه بالا صحت نخواهد داشت. در این قسمت می‌خواهیم یک روش کلی را برای تعیین توزیع تنش در عضوی که در خمن خالص است و از قانون هوك پیروی نمی‌کند بررسی کنیم.

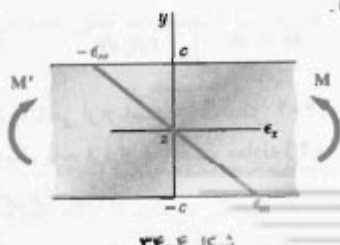
در قسمت ۳-۴، هنگام اثبات این موضوع که کرنش قائم ϵ_y برابر فاصله از سطح خشی به صورت خطی تغییر می‌کند، هیچ رابطه خاصی را برای تنش-کرنش در نظر نگرفتیم. در اینجا نیز از این خاصیت استفاده می‌کنیم و می‌نویسیم:

$$\epsilon_x = -\frac{y}{c} \epsilon_m \quad (10-4)$$

که در آن، لافاصله نقطه مورد نظر از سطح خشی است، و c ماقریم مقدار راست.

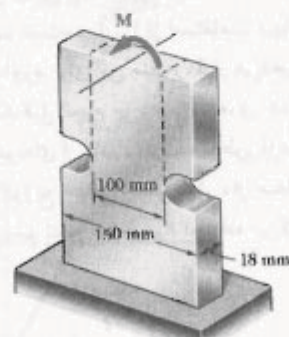
البته، نمی‌توان فرض کرد محور خشی از مرکز سطح مقطع داده شده می‌گذرد، زیرا این خاصیت در قسمت ۴-۴ با فرض تغییر شکل الاستیک بدست آمد. به طور کلی، مکان محور خشی با توجه به معادله‌های (۱-۴) و (۳-۴) و با آزمون و خطا بدست می‌آید. ولی، در حالت خاصی که عضوی دارای صفحات تقارن افقی و عمودی است و از ماده‌ای ساخته شده است که رابطه تنش-کرنش آن در کشش و فشار یکسان است، محور خشی بر محور تقارن افقی مقطع منطبق است. در حقیقت، با توجه به خواص چنین ماده‌ای، تنش‌ها باید نسبت به محور خشی متقارن باشند. این حالت، نیز معادله (۱-۴)، وقتی برقرار می‌شود که محور خشی محور تقارن افقی باشد.

ابتدا، حالت خاص بالا را تحلیل می‌کنیم. در این حالت، فاصله y در معادله (۱۰-۴) از محور تقارن افقی z مقطع عرضی اندازه‌گیری می‌شود و توزیع کرنش ϵ_y نسبت به آن محور به صورت خطی و متقارن است (شکل ۳۴-۴). منحنی تنش-کرنش نیز نسبت به مبدأ مختصات متقارن است (شکل ۳۵-۴).

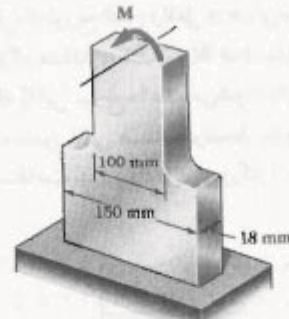


شکل ۳۴-۴

۹۵-۴ تنش مجاز برای یک مبله فولادی $M_{pl} = 80 \text{ MPa}$ است. مطلوب است ماقریم کوبیل M که می‌توان بر مبله وارد کرد در صورتی که (الف) مبله دارای شیارهای نیم‌دایره‌ای با شعاع $r = 15 \text{ mm}$ باشد (شکل ۹۷۳-۴ الف)، (ب) شیارها حذف شوند و مبله به صورت نشان داده شده در شکل ۹۶۵-۴ ب درآید.



(الف)



(ب)

شکل ۹۶۵-۴ و ۹۷۳-۴

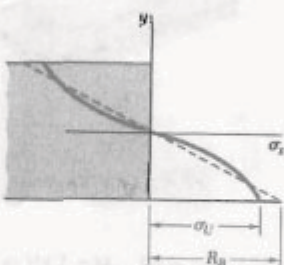
۹۶-۴ کوبیل $M = 2 \text{ kN.m}$ بر انتهای یک مبله فولادی وارد شده است. مطلوب است ماقریم تنش در مبله به شرطی که: (الف) مبله دارای شیارهای نیم‌دایره‌ای با شعاع $r = 10 \text{ mm}$ باشد (شکل ۹۶۵-۴ الف)، (ب) شیارها حذف شوند و مبله به صورت نشان داده شده در شکل ۹۶۵-۴ ب درآید.

اگر σ_x تابع معلومی از ϵ_x باشد، از معادله (۱۵-۴) برای بیان σ_x بر حسب ϵ_x می‌توان استفاده، و انتگرال در (۳۱-۴) را به صورت تحلیلی تعیین کرد. در غیر اینصورت، لنگر خمثی M را با انتگرال‌گیری عددی باید بدست آورد. توجه کنید که انتگرال در معادله (۳۱-۴) ممان اول سطح شکل ۳۶-۴ را، که بالای محور افقی است و با منحنی توزیع تنش و محور عمودی محدود شده است، نسبت به محور افقی نشان می‌دهد.

لنگر خمثی نهایی M_U که باعث شکست عضو می‌شود یک پارامتر مهم است، و آن را از استقامت نهایی σ_u ماده می‌توان بدست آورد. برای این منظور، قرار می‌دهیم $\sigma_u = \sigma_{max}$ است، ابتدا مقدار متاظر ϵ_m را از نمودار تنش-سکرنش می‌یابیم و محاسبه را مانند قبل انجام می‌دهیم. البته، در عمل بهتر است M_U را از روی نمونه‌ای از ماده داده شده به طور آزمایشی بیابیم. مسپس، با فرض توزیع خیالی خطی تنش، از معادله (۱۵-۴) برای تعیین ماکریزم تنش متاظر R_B استفاده می‌کنیم:

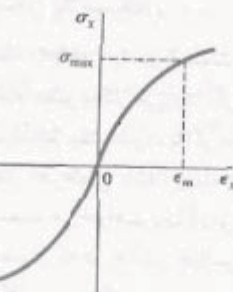
$$R_B = \frac{M_U c}{I} \quad (32-4)$$

تشخیالی R_B را مدول شکست خمثی ماده می‌گویند. از معادله (۳۲-۴) برای تعیین لنگر خمثی نهایی عضوی که مدول شکست آن معلوم است می‌توان استفاده کرد. در عضوی با مقطع عرضی مستطیلی، از توزیع تنش واقعی و خیالی نشان داده شده در شکل ۳۷-۴، مقدار یکسان M به دست می‌آید. لذا، مساحت‌هایی که با این توزیع‌ها داده می‌شوند دارای ممان اول یکسان نسبت به محور افقی هستند. در نتیجه، مدول گیختگی همواره از استقامت نهایی واقعی σ_u بزرگتر است.



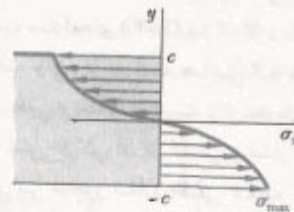
شکل ۳۷-۴

۹-۴۰ عضوهای الاستوپلاستیک
برای اطلاعات بیشتر درباره رفتار پلاستیکی یک عضو تحت خمثی، عضوی را که از ماده الاستوپلاستیک ساخته شده است در نظر می‌گیرید و فرض می‌کنیم که دارای مقطع عرضی مستطیلی



شکل ۳۵-۴

توزیع تنش در مقطع عرضی عضو، یعنی نمودار σ_x بر حسب ϵ_x ، به صورت زیر بدست می‌آید. با فرض اینکه σ_{max} معلوم شده است، ابتدا مقدار متاظر ϵ_m را از نمودار تنش-سکرنش می‌یابیم و این مقدار را در معادله (۱۵-۴) می‌گذاریم. سپس، برای هر مقدار ϵ_x ، مقدار متاظر σ_x را از معادله (۱۵-۴) یا شکل (۳۴-۴) یا شکل ۳۵-۴ تنش σ_x می‌یابیم، و از نمودار تنش-سکرنش شکل (۳۶-۴) توزیع تنش دلخواه بدست می‌آید (شکل ۳۶-۴).



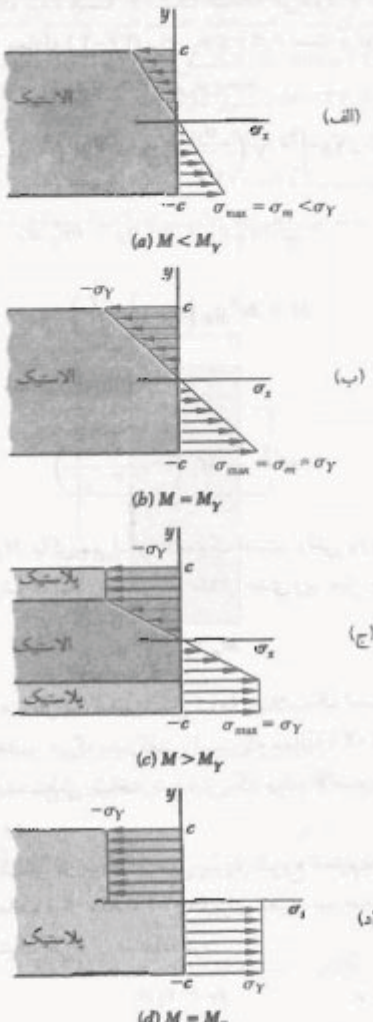
شکل ۳۶-۴

برای استنتاج معادله (۳-۴) در قسمت ۲-۴، هیچ رابطه خاصی را بین تنش و کرنش در نظر نگرفتیم. بنابراین، برای تعیین لنگر خمثی M متاظر با توزیع تنش بدست آمده در شکل ۳۶-۴ از معادله (۳-۴) استفاده می‌کنیم. برای یک عضو با مقطع عرضی مستطیلی به عرض b ، جزء مساحت در معادله (۳-۴) به صورت $dA = b dy$ است و می‌نویسیم:

$$M = -b \int_{-c}^c y \sigma_x dy \quad (30-4)$$

که در آن σ_x تابعی از y است که در شکل ۳۶-۴ رسم شده است. چون σ_x یک تابع فرد از y است، معادله (۳۰-۴) را به صورت زیر نیز می‌توان نوشت:

$$M = -2b \int_0^c y \sigma_x dy \quad (31-4)$$



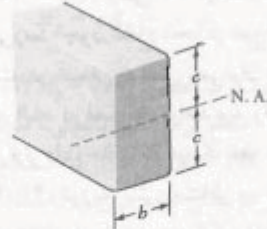
شکل ۴-۲۰

با افزایش بیشتر لنگر خمی، نواحی پلاستیک در عضو گسترش می‌یابند، به طوری که تنش یکنواخت در ناحیه بالایی برابر با σ_y و در ناحیه پایینی برابر با $\sigma_y + \sigma_m$ است (شکل ۴-۲۰ج). بین این نواحی پلاستیک، هسته الاستیک وجود دارد که در آن تنش σ_z بر حسب عبارت $\sigma_z = -\frac{\sigma_y}{y_y} y$ تغییر می‌کند:

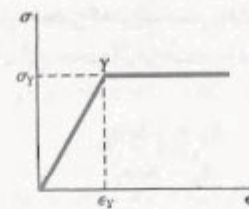
$$\sigma_z = -\frac{\sigma_y}{y_y} y \quad (36-4)$$

در وابطه بالا، y_y نصف ضخامت هسته الاستیک است. با افزایش M ، نواحی پلاستیک گسترش می‌یابند تا اینکه تغییر شکل کاملاً پلاستیک می‌شود (شکل ۴-۲۰د).

بعد از عرض b و به ارتفاع c است (شکل ۳۸-۴). در قسمت ۱۷-۲ دیدیم که نمودار تنش-کسرش برای یک ماده الاستوپلاستیک ایده‌آل مانند شکل ۳۹-۴ است.



شکل ۳۸-۴



شکل ۳۹-۴

تا وقتی تنش قائم σ_z از استقامت تسلیم σ_y بیشتر نشده است، قانون هooke به کار می‌رود و توزیع تنش در عرض این مقطع به صورت خطی است (شکل ۴-۲۰الف). ماکزیمم مقدار تنش چنین است:

$$\sigma_m = \frac{Mc}{I} \quad (15-4)$$

با افزایش لنگر خمی، σ_m سرانجام به مقدار σ_y می‌رسد (شکل ۴-۲۰ب). با جایگذاری در معادله (۱۵-۴) و با حل مقدار متاظر M ، مقدار M_y لنگر خمی در شروع تسلیم به دست می‌آید:

$$M_y = \frac{I}{c} \sigma_y \quad (33-4)$$

لنگر M_y را ماکزیمم لنگر الاستیک می‌گویند، زیرا بزرگترین لنگر است که به ازای آن تغییر شکل کاملاً الاستیک است. برای مقطع عرضی مستطیلی،

$$\frac{I}{c} = \frac{b(2c)^3}{12c} = \frac{2}{3} bc^2 \quad (34-4)$$

درنتیجه،

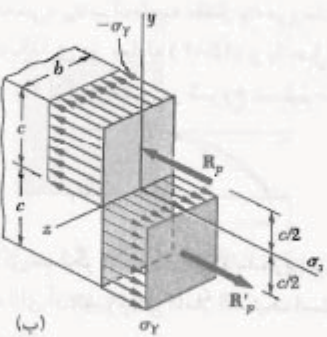
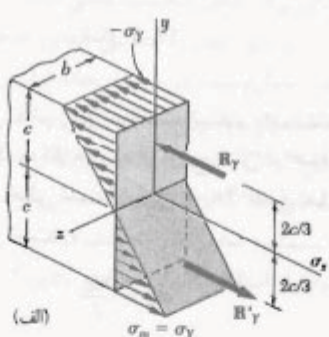
$$M_y = \frac{2}{3} bc^2 \sigma_y \quad (35-4)$$

معادله (۴۳-۴) فقط پس از شروع تسلیم، یعنی برای $M < M_y$ به کار می‌رود. برای $M > M_y$ از معادله (۲۱-۴) باید استفاده کرد.

طبق معادله (۴۳-۴)، وقتی $\rho = 0$ ، لنگر خمثی به مقدار $M_p = \frac{3}{7} M_y$ می‌رسد. چون شعاع انحنای در هیچ نقطه‌ای از سطح خمثی صفر نیست، در خمث خالص نمی‌توان تغییرشکل کاملاً پلاستیک داشت. البته، در فصل ۵ خواهد دید وقی میک تبر تحت برگذاری عرضی فرار دارد، حالت بالا در یک نقطه به وجود می‌آید. در شکل ۴۱-۴، توزیع تنش متناظر با ماکریسم لنگر خمثی M_y و متناظر با حالت حدی لنگر پلاستیک M_p در یک عضو مستطیلی در سه بعد نشان داده شده است. در هر دو حالت، برایند نیروهای کششی جزئی و برایند نیروهای فشاری جزئی از مراکز حجمی که توزیع تنش را نشان می‌دهند می‌گفند و مقدار آنها با این حجم‌ها برابر است. در توجه،

$$R_y = \frac{1}{7} b c \sigma_y$$

$$R_p = b c \sigma_y$$



شکل ۴۱-۴

* معادله (۲۱-۴) برای عضوی به کلر می‌رود که از ماده پکشش سوری ببا نقطه تسلیم معنی ساخته شده است، و استنتاج آن ربط به شکل مقطع عرضی عضو و تعداد تنش سکونش پس از نقطه تسلیم ندارد.

از معادله (۳۱-۴) برای تعیین مقدار لنگر خمثی متناظر با ضخامت داده شده هسته الاستیک استفاده می‌شود. با توجه به اینکه σ_y در معادله (۳۶-۴) برای $y \leq y_p$ است و در ناحیه $y_p \leq y \leq c$ برابر است با $-\sigma_y$ ، می‌نویسیم:

$$\begin{aligned} M &= -2b \int_{-y_p}^{y_p} y \left(-\frac{\sigma_y}{y_p} y \right) dy - 2b \int_{y_p}^c y (-\sigma_y) dy \\ &= \frac{2}{3} b y_p^2 \sigma_y + b c^2 \sigma_y - b y_p^2 \sigma_y \\ M &= b c^2 \sigma_y \left(1 - \frac{1}{3} \frac{y_p^2}{c^2} \right) \end{aligned} \quad (۳۷-۴)$$

با توجه به معادله (۳۵-۴)،

$$M = \frac{2}{3} M_y \left(1 - \frac{1}{3} \frac{y_p^2}{c^2} \right) \quad (۳۸-۴)$$

که در آن M_y ماکریسم لنگر الاستیک است. وقتی y_p به صفر نزدیک می‌شود، لنگر خمثی به مقدار حدی زیر میل می‌کند:

$$M_p = \frac{2}{3} M_y \quad (۳۹-۴)$$

را، که متناظر با تغییرشکل کاملاً پلاستیک است، لنگر پلاستیک عضو می‌گویند. گفتی است که معادله (۳۹-۴) فقط برای عضو مستطیلی ساخته شده از یک ماده الاستیپلاستیک به کار می‌رود.

توزیع کرنش در مقطع عرضی پس از شروع تسلیم به صورت خطی می‌ماند، و از معادله (۸-۴) برای تعیین نیم ضخامت y_p هسته الاستیک می‌توان استفاده کرد:

$$y_p = \varepsilon_y \rho \quad (۴۰-۴)$$

(کرنش تسلیم و ρ شعاع انحنای متناظر با لنگر خمثی M_y است). وقتی لنگر خمثی با $M_y \geq M_p$ برابر است، $c = y_p$ ؛ از معادله (۴۰-۴) برای ρ_y داریم:

$$c = \varepsilon_y \rho_y \quad (۴۱-۴)$$

(شعاع انحنای متناظر با ماکریسم لنگر الاستیک M_y است). از تقسیم (۴۰-۴) بر (۴۱-۴)، داریم:

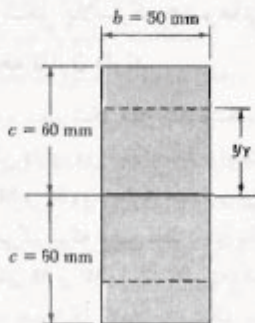
$$\frac{y_p}{c} = \frac{\rho}{\rho_y} \quad (۴۲-۴)$$

با جایگذاری c/y_p از (۴۲-۴) در (۳۸-۴)، لنگر خمثی بر حسب شعاع انحنای ρ سطح خمثی به دست می‌آید:

$$M = \frac{2}{3} M_y \left(1 - \frac{1}{3} \frac{\rho}{\rho_y} \right) \quad (۴۳-۴)$$

مثال ۴-۵:

عضوی با مقطع عرضی یکنواخت مستطیلی $50 \text{ mm} \times 120 \text{ mm}$ (شکل ۴-۲) تحت لنگر خمشی قرار دارد. این عضو از یک ماده استوپلاستیک با استقامت تسلیم $\sigma_y = 28 \text{ MPa}$ و مدول $E = 20 \text{ GPa}$ ساخته شده است. مطلوب است: (الف) ضخامت هسته الاستیک، (ب) شعاع انحنای سطح خشنی.



شکل ۴-۲

(الف) ضخامت هسته الاستیک. ابتدا، ماکریتم M_y الاستیک را تعیین می کنیم. با جایگذاری داده ها در معادله (۳۴-۴)، داریم

$$\frac{I}{c} = \frac{2}{3} bc^2 = \frac{2}{3} (50 \times 10^{-3} \text{ m})(60 \times 10^{-3} \text{ m})^2 = 120 \times 10^{-6} \text{ m}^4$$

با جایگذاری این مقدار، و نیز $\sigma_y = 28 \text{ MPa}$ در معادله (۳۳-۴)

$$M_y = \frac{I}{c} \sigma_y = (120 \times 10^{-6} \text{ m}^4)(28 \text{ MPa}) = 28 \text{ kN.m}$$

با جایگذاری مقادیر I و M_y در معادله (۳۸-۴)، داریم

$$28 \text{ kN.m} = \frac{3}{2} (28 \text{ kN.m}) \left(1 - \frac{1}{3} \frac{y_y^2}{c^2}\right)$$

$$\Rightarrow \left(\frac{y_y}{c}\right)^2 = 0,444 \Rightarrow \frac{y_y}{c} = 0,666$$

$$\therefore c = 60 \text{ mm}$$

$$y_y = 0,666(60 \text{ mm}) = 40 \text{ mm}$$

لذا، ضخامت هسته الاستیک 80 mm است.

لنگرهای متناظر، به ترتیب، عبارتند از:

$$M_Y = \left(\frac{1}{\tau} c\right) R_Y = \frac{1}{\tau} bc^2 \sigma_y \quad (44-4)$$

$$M_p = c R_p = bc^2 \sigma_y \quad (45-4)$$

لذا، برای یک عضو مستطیلی، $\frac{1}{\tau} c = M_p$ (معادله ۴-۳۹).

برای تیرها با مقطع عرضی غیرمستطیلی، محاسبه ماکریتم لنگر الاستیک M_y و ماکریتم لنگر پلاستیک M_p معمولاً با استفاده از روش ترسیمی ساده می شود (مسئله تمونه ۴-۵). در این حالت کلی، دیده می شود که نسبت $k = M_p/M_y$ معمولاً $1,14$ نیست. مثلاً، این نسبت برای تیرهای بال پهن تقریباً از $1,18$ تا $1,24$ است. نسبت $k = M_p/M_y$ فقط به شکل مقطع عرضی بستگی دارد، و آن را ضرب شکل مقطع عرضی می کویند. اگر ضرب شکل k و ماکریتم لنگر الاستیک M_y یک تیر معلوم باشند، لنگر پلاستیک M_p تیر را در رابطه زیر می توان یافته:

$$M_p = k M_y \quad (46-4)$$

نسبت M_p/σ_y ، که از تقسیم لنگر پلاستیک M_p بر استقامت تسلیم σ_y عضو به دست می آید، مدول پلاستیک عضو می گویند و یا Z نشان داده می شود. اگر مدول پلاستیک Z و استقامت تسلیم σ_y یک تیر معلوم باشند، لنگر پلاستیک M_p آن را از رابطه زیر می توان یافته:

$$M_p = Z \sigma_y \quad (47-4)$$

با توجه به رابطه $\sigma_y = S \sigma_y = M_y$ (معادله ۴-۱۸)، و مقایسه آن با معادله (۴۷-۴)، نتیجه می شود که ضرب شکل k را بر حسب نسبت مدول پلاستیک به مدول الاستیک می توان یافته:

$$k = \frac{M_p}{M_y} = \frac{Z \sigma_y}{S \sigma_y} = \frac{Z}{S} \quad (48-4)$$

طبق معادله های (۴۵-۴) و (۴۷-۴)، مدول پلاستیک یک تیر مستطیلی چنین است:

$$Z = \frac{M_p}{\sigma_y} = \frac{bc^2 \sigma_y}{\sigma_y} = bc^2 = \frac{1}{\tau} bh^2$$

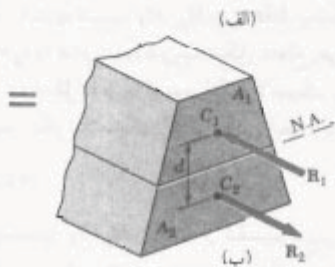
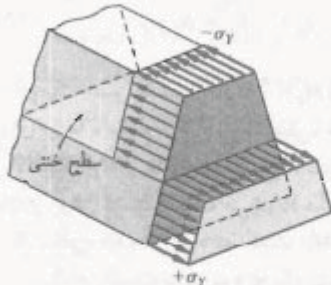
و h ، به ترتیب، عرض و ارتفاع مقطع عرضی تیر هستند. طبق معادله (۴-۱۹)، مدول الاستیک این تیر چنین است:

$$S = \frac{1}{\tau} bh^2$$

با جایگذاری مقادیر Z و S در معادله (۴-۴۸)، ضرب شکل تیر مستطیلی به دست می آید:

$$k = \frac{Z}{S} = \frac{\frac{1}{\tau} bh^2}{\frac{1}{\tau} bh^2} = \frac{1}{2}$$

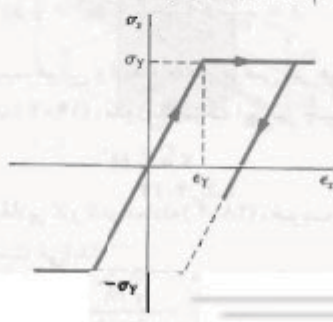
در مسئله نمونه ۴-۶، لنگر پلاستیک عضوی که فقط یک صفحه تقارن دارد محاسبه شده است.



شکل ۴۳-۴

۱۱-۴۰ تنش‌های باقیمانده

در قسمت‌های قبل دیدیم که اگر لنگر خمشی وارد بر یک عضو الاستوپلاستیک به اندازه کافی بزرگ باشد، در آن ناحیه پلاستیک بوجود می‌آید. اگر لنگر خمشی دوباره تا صفر کاهش یابد، کاهش تنش و کرنش در هر نقطه را در نمودار تنش-کرنش با یک خط مستقیم می‌توان نشان داد (شکل ۴۴-۴). همانطور که خواهد دید، مقدار نهایی تنش در یک نقطه، به طور کلی، صفر نیست. در اغلب نقاط، تنش باقیمانده و تنشی وجود دارد که ممکن است با ماکریتم تنش ایجاد شده در انتهای فاز پارگذاری هم علامت باشد یا نباشد.



شکل ۴۴-۴

(ب) شعاع انتخابی. گرفتار تسلیم چنین است:

$$\epsilon_y = \frac{\sigma_y}{E} = \frac{240 \times 10^6 \text{ Pa}}{200 \times 10^9 \text{ Pa}} = 1,2 \times 10^{-3}$$

با حل معادله (۴۰-۴) و با جایگذاری مقادیر γ_y و ϵ_y با حل ρ از معادله (۴۰-۴) و با جایگذاری مقادیر γ_y و ϵ_y

$$\rho = \frac{\gamma_y}{\epsilon_y} = \frac{40 \times 10^{-7} \text{ m}}{1,2 \times 10^{-3}} = 33,3 \text{ m}$$

۱۰-۴۰ تغییرشکل پلاستیک عضوهایی که فقط یک صفحه تقارن دارند

هنگام بحث درباره تغییرشکل‌های پلاستیک، فرض می‌شد عضو تحت خمش دارای دو صفحه تقارن است، یکی صفحه شامل کوبیل‌های M و M' ، و دیگری عمود بر آن صفحه، اکتون، حالتی را در نظر می‌گیریم که عضو فقط دارای یک صفحه تقارن، شامل کوبیل‌های M و M' است. البته، فقط حالتی را تحلیل می‌کنیم که تغییرشکل کاملاً پلاستیک است و در آن تنش قائم یکنواخت در بالای سطح خمشی دارای مقدار σ_y و در پایین آن سطح دارای مقدار σ_y است (شکل ۴۳-۴ الف).

همانطور که در قسمت ۴-۸ گفته شد، وقتی مقطع عرضی نسبت به محور گذرا از مرکز سطح متناظر نباشد، می‌توان فرض کرد محور خمشی بر محور گذرا از مرکز سطح منطبق است. برای تعیین مکان محور خمشی، نیروی برایتند فشاری R_1 و نیروی برایتند کششی R_2 را در شکل ۴۳-۴ ب که، به ترتیب، بر قسمت‌های A_1 و A_2 از مقطع عرضی وارد می‌شوند. در نظر می‌گیریم A_1 و A_2 به ترتیب، بالای محور خمشی و پایین آن قرار دارند. چون نیروهای R_1 و R_2 یک کوبیل معادل با کوبیل وارد بر عضو را تشکیل می‌دهند، دارای مقدار یکسان هستند. $A_1 = A_2$. درنتیجه، $R_1 = R_2$ یا $R_1 = A_1 \sigma_y = A_2 \sigma_y$ می‌باشد. به عبارت دیگر، محور خمشی مقطع عرضی را به دو قسمت با مساحت‌های مساوی تقسیم می‌کند. گفتنی است که محوری که به این طریق به دست می‌آید، به طور کلی، محور گذرا از مرکز سطح مقطع نیست.

همچنین، مشاهده می‌شود که خطوط اثر برایندهای R_1 و R_2 از مرکز سطح C_1 و C_2 دو قسمتی که در بالا تعریف شدند می‌گذرند. اگر فاصله بین C_1 و C_2 را با d و مساحت کل مقطع عرضی را با A نشان دهیم، لنگر پلاستیک عضو را به صورت زیر می‌توان بیان کرد:

$$M_p = (\frac{1}{2} A \sigma_y) d$$

توزيع نش مغکوس ناشی از لنگر خمثی در 36.8 kN.m در فاز بار برداری به صورت خطی است و در شکل ۴-۴ ب نشان داده شده است. ماکریم نش σ_m' از معادله (۴-۱۵) بدست می آید. از مثال ۴-۵، $m = 120 \times 10^{-6} \text{ m}^2$ و $E/c = 120 \times 10^{-6} \text{ m}^2$ می توانیم

$$\sigma_m' = \frac{Mc}{I} = \frac{36.8 \text{ kN.m}}{120 \times 10^{-6} \text{ m}^2} = 306.7 \text{ MPa}$$

با ترکیب این دو توزیع نش، نش های باقیمانده بدست می آید (شکل ۴-۴ج). دیده می شود، با وجود اینکه نش های مغکوس از استقامت تسلیم σ_y بیشتر می شوند، فرض توزیع خطی نش های مغکوس هنوز صحت دارد، زیرا این نش ها از 20% بیشتر نشده اند.

(ب) شاع اتحنا پس از باربرداری، قانون هوك را در هر نقطه از هسته 40 mm از این می توان به کار برد، زیرا هیچ تغییر شکل پلاستیکی در آن قسمت عضو به وجود نمی آید. لذا، کرنش باقیمانده در فاصله $y = 40 \text{ mm}$ چنین است:

$$\epsilon_x = \frac{\sigma_x}{E} = \frac{-35.5 \times 10^6 \text{ Pa}}{200 \times 10^9 \text{ Pa}} = -177.5 \times 10^{-3}$$

با حل ρ از معادله (۴-۸) و با جایگذاری مقادیر σ و ϵ_x ،

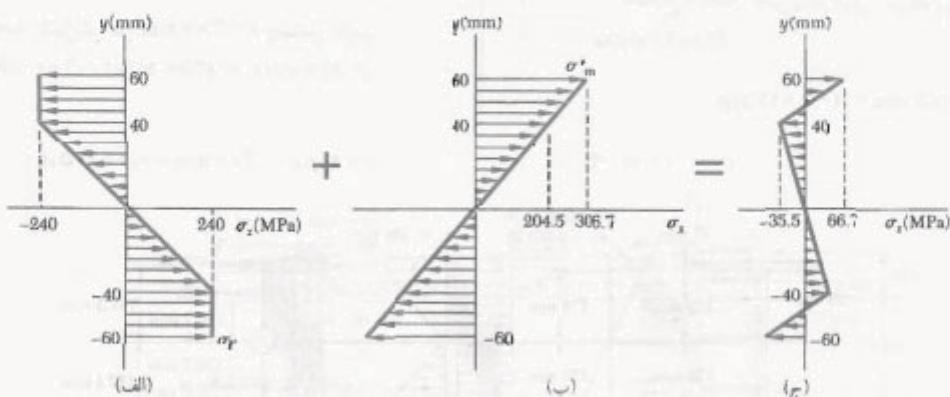
$$\rho = -\frac{y}{\epsilon_x} = \frac{40 \times 10^{-3} \text{ m}}{177.5 \times 10^{-3}} = 225 \text{ m}$$

مقدار حاصل برای ρ ، پس از حذف بار، تغییر شکل دائمی عضو را نشان می دهد.

چون در فاز باربرداری در تمام نقاط رابطه خطی بین σ و ϵ به کار می رود، برای تعیین تغییر نش در هر نقطه می توان از معادله (۴-۱۶) استفاده کرد. به عبارت دیگر، فاز باربرداری را با فرض اینکه عضو کاملاً الاستیک است می توان بررسی کرد. نش های باقیمانده را با استفاده از اصل ترکیب می توان بدست آورد (به همان صورتی که در قسمت ۲-۲ برای بارگذاری مرکزی محوری توضیح داده شد و مجدداً در قسمت ۳-۱۱ برای پیش بکار رفت). نش های ناشی از اعمال لنگر خمثی M و نش های مغکوس ناشی از لنگر خمثی M را در فاز بار برداری در نظر می گیریم. نش های گروه اول رفتار الاستپلایستیک عضو را در فاز بارگذاری، و نش های گروه دوم رفتار خطی همان ماده را در فاز باربرداری نشان می دهند. با جمع کردن این دو گروه، توزیع نش های باقیمانده در عضو بدست می آید.

مثال ۴-۶.

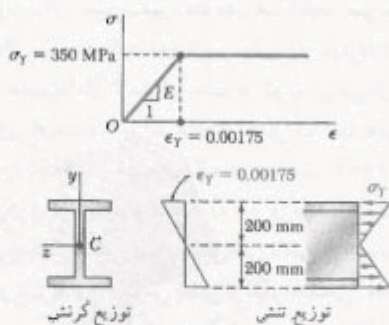
برای عضو مثال ۴-۵، مطلوب است: (الف) توزیع نش های باقیمانده، (ب) شاع اتحنا پس از اینکه لنگر خمثی از مقدار 36.8 kN.m به صفر کاهش می یابد. (الف) توزیع نش های باقیمانده از مثال ۴-۵ دیده می شود که استقامت تسلیم σ_y برابر با 240 MPa و ضخامت هسته الاستیک، 40 mm ، برابر با 80 mm است. توزیع نش در عضو بارگذاری شده در شکل ۴-۴الف نشان داده شده است.



سکل ۴-۶

مسئله نمونه ۵-۴

تیر AB از فولاد کم الیاز پر استقامت الاستوپلاستیک (۳۵۰ MPa و $E = ۲۰۰ \text{ GPa}$) ساخته شده است. با صرفنظر از تأثیر گردها، مطابق است لذکر خمشی M و شعاع انحنایی متناظر: (الف) وقتی تسلیم برای اولین بار تزویی می‌دهد، (ب) وقتی بالها کاملاً پلاستیک شده‌اند.



ب. بالهای کاملاً پلاستیک. وقتی بالها کاملاً پلاستیک شده‌اند، کرنش و قشش در مقطع مانند شکل زیر هستند. نیروهای برایند فشاری R_c و R_b را که بر بال و نیمه جان بالایی وارد می‌شوند، و نیروهای برایند کششی R_t و R_r را درنظر می‌گیریم. می‌نویسیم:

$$R_c = R_b = (350 \text{ MPa})(\pi / ۴ \text{ m})(\pi / ۴ \text{ m}) = ۲,۶۳ \times ۱۰^۷ \text{ kN}$$

$$R_t = R_r = \frac{1}{۴} (350 \text{ MPa})(\pi / ۱۷۵ \text{ m})(\pi / ۱۷۵ \text{ m}) = ۶۱۳ \text{ kN}$$

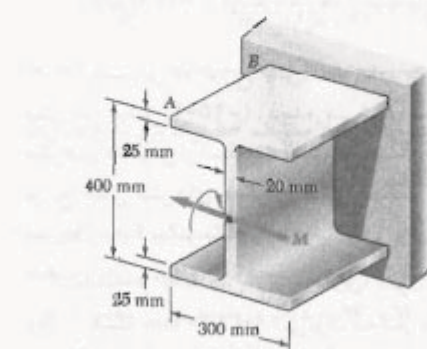
لذکر خمشی. لذکر R_c , R_b , R_t و R_r را نسبت به محور z محاسبه و آنها را باهم جمع می‌کنیم:

$$\begin{aligned} M &= \gamma [R_c (\pi / ۱۸۷۵ \text{ m}) + R_b (\pi / ۱۱۶۷ \text{ m})] \\ &= \gamma [(2,63 \times 10^7)(\pi / ۱۸۷۵) + (613)(\pi / ۱۱۶۷)] \\ M &= ۱,۱۳ \times ۱۰^۷ \text{ kN.m} \end{aligned}$$

شعاع انحنای. چون در این بارگذاری $y_y = ۱۷۵ \text{ mm}$ از معادله (۴-۴)، از

$$y_y = \varepsilon_y \rho \quad \Rightarrow \quad ۱۷۵ \text{ mm} = (\pi / ۱۰ \times ۱۷۵) \rho$$

$$\rho = ۱۰۰ \text{ m}$$



حل

الف. شروع تسلیم. ممان اینرسی مقطع نسبت به محور گذرا از مرکز سطح چنین است:

$$I = \frac{1}{۱۲} (300 \text{ mm})(400 \text{ mm})^۳$$

$$\begin{aligned} &= \frac{1}{۱۲} (300 \text{ mm} - 20 \text{ mm})(350 \text{ mm})^۳ \\ &= 600 \times 10^۹ \text{ mm}^۹ \end{aligned}$$

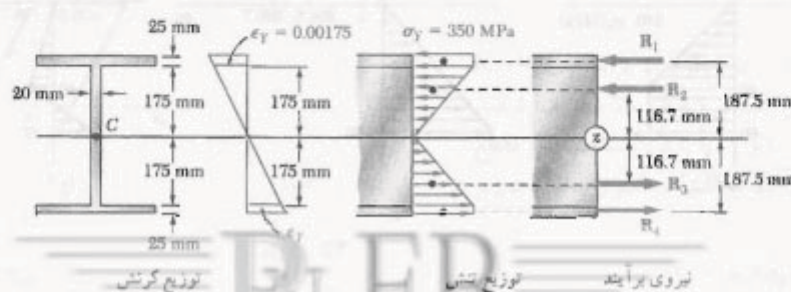
لذکر خمشی. برای $\sigma_{\max} = \sigma_y = ۳۵۰ \text{ MPa}$

$$M_y = \frac{\sigma_y I}{c} = \frac{(350 \text{ MPa})(600 \times 10^۹ \text{ mm}^۹)}{\pi / ۴ \text{ m}}$$

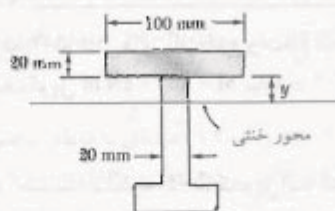
$$M_y = 1,۰۵ \times ۱۰^۷ \text{ kN.m}$$

شعاع انحنای. کرنش در $c = ۲۰۰ \text{ mm}$ چنین است
 $\varepsilon_y = \sigma_y/E = (350 \text{ MPa}) / (200 \text{ GPa}) = ۰,۰۰۱۷۲۴$. از
 معادله (۴-۴)

$$c = \varepsilon_y \rho_y \quad \Rightarrow \quad 200 \text{ mm} = \pi / ۱۰ \times ۱۷۲۴ \rho_y \quad \rho_y = ۱۱۴ \text{ m}$$



RuEB



این نیز از هر کسر سطح A_i می‌گذرد. منویسیم:

$$R_y = A_i \sigma_y = [(0.1 \times 0.2)(0.1 \times 0.2)] 240 \text{ MPa} = 48 \text{ kN}$$

$$R_x = A_i \sigma_y = [(0.1 \times 0.2)(0.1 \times 0.2)] 240 \text{ MPa} = 48 \text{ kN}$$

$$R_z = A_i \sigma_y = [(0.1 \times 0.2)(0.1 \times 0.2)] 240 \text{ MPa} = 48 \text{ kN}$$

$$R_s = A_i \sigma_y = [(0.1 \times 0.2)(0.1 \times 0.2)] 240 \text{ MPa} = 48 \text{ kN}$$

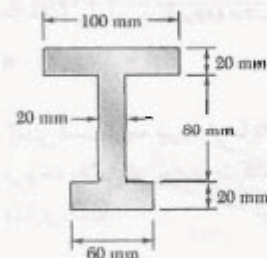
لگر پلاستیک M_p از مجموع لگر نیروها نسبت به محور z تقسیم می‌گذرد.

$$\begin{aligned} M_p &= (0.1 \times 0.2)(R_y + (0.1 \times 0.2)R_s + (0.1 \times 0.2)(R_z \\ &\quad + (0.1 \times 0.2)R_s) \\ &= (0.1 \times 0.2)(48 \text{ kN}) + (0.1 \times 0.2)(48 \text{ kN}) \\ &\quad + (0.1 \times 0.2)(48 \text{ kN}) + (0.1 \times 0.2)(48 \text{ kN}) \\ &= 44.16 \text{ kN.m} \qquad \qquad M_p = 44.16 \text{ kN.m} \end{aligned}$$

توجه: چون مقطع عرضی نسبت به محور z تقارن ندارد، مجموع لگرهای R_s و R_z با مجموع لگرهای R_y و R_s برابر نیست.

مسئله نمونه ۶-۴

لگر پلاستیک M_p یک تیر با مقطع عرضی نشان داده شده را وقتي تیر حول یک محور افقی خم می شود بباید. فرض کنید که تیر از نوع استوپلاستیک با استقامات تسلیم ۲۴۰ MPa است



حل

محور خشن. وقتی تغییرشکل کاملاً پلاستیک است، محور خشن مقطع عرضی را به دو قسمت با مساحت‌های مساوی تقسیم می‌کند، چون مساحت کل عبارت است از:

$$A = (100)(20) + (80)(20) + (60)(20) = 4800 \text{ mm}^2$$

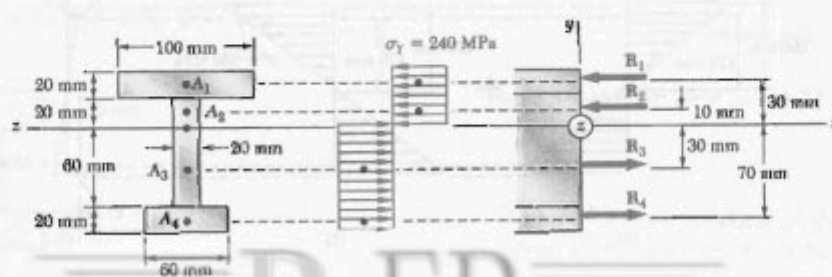
مساحتی که بالای محور خشن قرار دارد ۲۴۰۰ mm² است. منویسیم:

$$(20)(100) + 20y = 2400 \Rightarrow y = 20 \text{ mm}$$

توجه کنید که محور خشن از مرکز سطح مقطع عرضی نمی‌گذرد.

لگر پلاستیک، برایند R_s نیروهای جزئی وارد بر مساحت A_i چنین است:

$$R_s = A_i \sigma_y$$



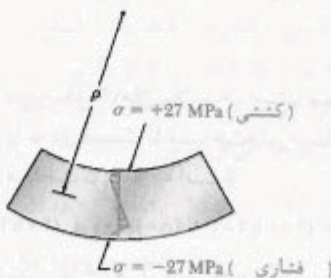
RNUEB

شعاع انحنای دائمی در $y = 175 \text{ mm}$ ، تنش باقیمانده برابر است با $\sigma = -20 \text{ MPa}$. چون هیچ تغییر شکل پلاستیک در این نقطه روی نداشته است، قانون هوك را می‌توان به کار برد و داریم $\epsilon_y = \sigma/E$. با توجه به معادله (۸-۴)،

$$\rho = -\frac{y}{\epsilon_y} = -\frac{yE}{\sigma} = -\frac{(175 \text{ mm})(20 \text{ GPa})}{-20 \text{ MPa}} = +1750 \text{ m}$$

$$\rho = 1750 \text{ m} \quad \blacktriangleleft$$

گفتی است گرچه تیر به طرف بالا نتعز دارد، ولی تنش باقیمانده در وجه بالایی تیر به صورت کشی و در وجه پایینی به صورت فشاری است.



مثاله نمونه ۷-۴ برای تیر مسئله نمونه ۵-۴، تنش‌های باقیمانده و شعاع انحنای دائمی را پس از حذف کوپل کوپل $M = 1130 \text{ kN.m}$ باید.

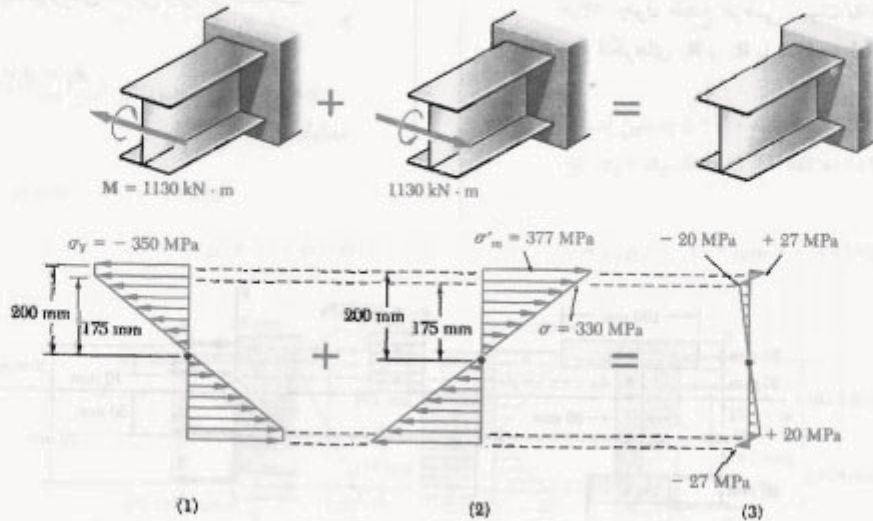
حل

بارگذاری در مسئله نمونه ۴-۵، کوپل با لگز وارد شد و تنش‌های نشان داده شده در شکل ۱ به دست آمد.

باربرداری الائستیک. با اعمال لگز مخالف $M = -1130 \text{ kN.m}$ (که مساوی و متضاد با لگز کوپل اولیه است)، تیر باربرداری می‌شود. در فاز باربرداری، رفتار تیر کاملاً الائستیک است. از مسئله نمونه ۴-۵، $I = 600 \times 10^8 \text{ mm}^4$ درنتیجه، تنش ماکریسم چنین است:

$$\sigma'_{\infty} = \frac{Mc}{I} = \frac{(1130 \text{ kN.m})(0/2 \text{ m})}{600 \times 10^8 \text{ m}^4} = 177 \text{ MPa}$$

تشهای ناشی از باربرداری در شکل ۲ نشان داده شده‌اند. تنش‌های باقیمانده، با ترکیب تنش‌های ناشی از بارگذاری (شکل ۱) و باربرداری (شکل ۲)، تنش‌های باقیمانده در تیر بدست می‌آید (شکل ۳).



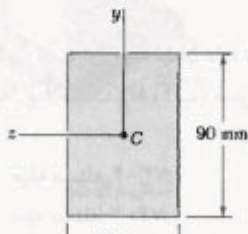
(1)

(2)

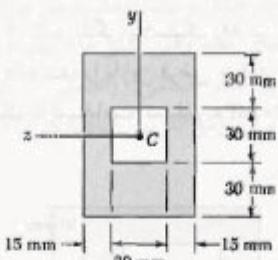
(3)

۷۶-۴ در مسئله ۷۱-۴، مقدار M را برای شعاع زیراسیون 0.9 m باید.

۷۳-۴ و ۷۴-۴ میله‌ای با مقطع عرضی نشان داده شده از فولاد الاستوپلاستیک است. برای خمش حول محور z ، مطلوب است لنگر ساخته شده باشد. برای خمش حول محور x ، مطلوب است لنگر خمشی که به ازای آن: (الف) تسلیم برای اولین بار روی می‌دهد، (ب) مناطق پلاستیک در بالا و پایین میله به ضخامت 2 mm هستند.

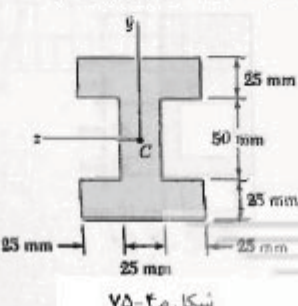


شکل ۷۳-۴ م



شکل ۷۴-۴ م

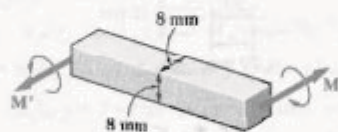
۷۵-۴ و ۷۶-۴ میله‌ای با مقطع عرضی نشان داده شده از فولاد الاستوپلاستیک ($\sigma_y = 300 \text{ MPa}$, $E = 200 \text{ GPa}$) است. برای خمش حول محور z ، مطلوب است لنگر ساخته شده باشد. برای خمش حول محور x ، مطلوب است لنگر خمشی که به ازای آن: (الف) تسلیم برای اولین بار روی می‌دهد، (ب) مناطق پلاستیک در بالا و پایین میله به ضخامت 25 mm هستند.



شکل ۷۵-۴ م

مسائل

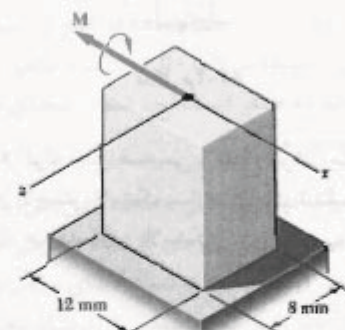
۶۷-۴ میله قولادی با مقطع عرضی نشان داده شده از نوع الاستوپلاستیک است. $E = 200 \text{ GPa}$ و $\sigma_y = 330 \text{ MPa}$. مطلوب است لنگر خمشی M که به ازای آن: (الف) ابتدا تسلیم روی می‌دهد، (ب) مناطق پلاستیک در بالا و پایین میله به ضخامت 2 mm باشد.



شکل ۶۷-۴ م

۶۸-۴ در مسئله ۶۷-۴، ضخامت مناطق پلاستیک را در بالا و پایین میله در شرایط زیر باید: (الف) $M = 30 \text{ N.m}$ ، (ب) $M = 75 \text{ N.m}$.

۶۹-۴ میله منشوری نشان داده شده با $\sigma_y = 300 \text{ MPa}$ تحت تکریل M که به موازات محور x است قرار دارد. مطلوب است لنگر M کوپل که به ازای آن: (الف) تسلیم برای اولین بار روی می‌دهد، (ب) هسته الاستیک میله به ضخامت 4 mm است.

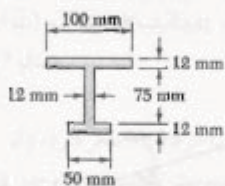


شکل ۶۹-۴ م

۷۰-۴ مسئله ۶۹-۴ را با این فرض حل کنید که M به موازات محور z باشد.

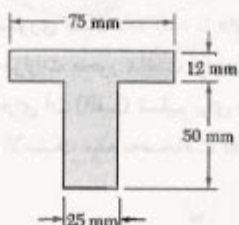
۷۱-۴ میله چهارگوش توپری به ضلع 15 mm از فولاد الاستوپلاستیک است. $E = 200 \text{ GPa}$ و $\sigma_y = 330 \text{ MPa}$. اگر M به موازات یک ضلع مقطع عرضی بر میله وارد شود، مقدار M را برای شعاع زیراسیون 1.8 m باید.

۸۳-۴ لنگر پلاستیک M_p را برای مقطع عرضی نشان داده شده بباید. تیر از جنس فولاد الاستوپلاستیک با استقامت تسلیم 250 MPa است.



شکل ۸۳-۴

۸۴-۴ لنگر پلاستیک M_p را برای مقطع عرضی نشان داده شده بباید. تیر از جنس فولاد الاستوپلاستیک با استقامت تسلیم 230 MPa است.



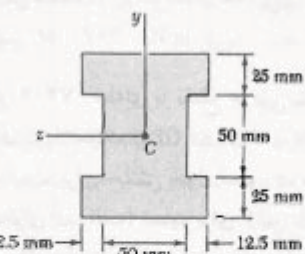
شکل ۸۴-۴

۸۵-۴ لوله جدار ضخیمی با مقطع عرضی نشان داده شده از فولاد الاستوپلاستیک با استقامت تسلیم σ_y ساخته شده است. عبارت لنگر پلاستیک M_p را بر حسب c_1 و c_2 بباید.



شکل ۸۵-۴ و ۸۶-۴

۸۶-۴ لنگر پلاستیک M_p لوله جدار ضخیمی با مقطع عرضی نشان داده شده را بباید در صورتی که بدانوبه $\sigma_y = 240 \text{ MPa}$ و $c_1 = 30 \text{ mm}$ و $c_2 = 60 \text{ mm}$



شکل ۷۶-۴

۷۷-۴ تا ۸۰-۴ برای میله نشان داده شده، مطلوب است:
(الف) لنگر کاملاً پلاستیک M_p . (ب) خسیر شکل مقطع عرضی.

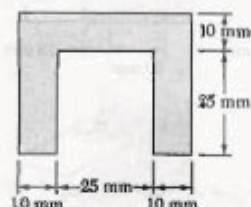
۷۷-۴ میله مستله: ۷۳-۴

۷۸-۴ میله مستله: ۷۴-۴

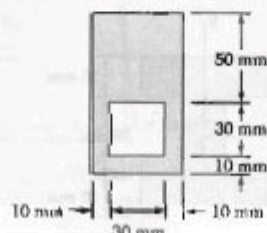
۷۹-۴ میله مستله: ۷۵-۴

۸۰-۴ میله مستله: ۷۶-۴

۸۱-۴ و ۸۲-۴ لنگر پلاستیک M_p تیر فولادی با مقطع عرضی نشان داده شده را با این فرض بباید که تیر از فولاد الاستوپلاستیک با استقامت تسلیم 240 MPa ساخته شده است.

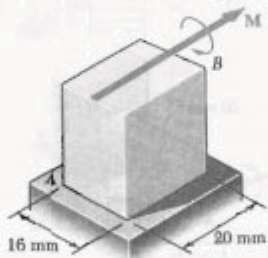


شکل ۸۱-۴



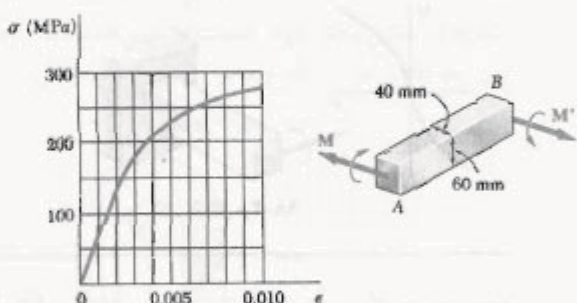
شکل ۸۲-۴

۹۵-۴ میله منشوری AB از فولاد الاستوپلاستیک با لغزش کاملاً پلاستیک M_p مساوی است وارد و سپس حذف می‌شود. با استفاده از استقامت تسلیم 240 MPa ، تنش باقیمانده را در $y = 45 \text{ mm}$ برابر باشد، $M = 350 \text{ N.m}$ بر میله شعاع انحنای 2.4 m باشد، مطلوبست: (الف) استقامت تسلیم σ فولاد، (ب) ضخامت هسته الامتیک میله.



شکل ۹۵-۴

۹۶-۴ میله منشوری AB از آلیاژ آلمینیوم، با نمودار تنش-کرنش نشان داده شده، ساخته شده است. به فرض اینکه نمودارهای $95-۸$ در فشار و کشش مشابه هم هستند، مطلوبست: (الف) شعاع انحنای میله وقتی تنش ماقریم 250 MPa است، (ب) مقدار متناظر لغزش خمی. (داهنایی: در قسمت ب، را بحسب لارسون و از روش تقریبی انتگرالگیری استفاده کنید.



شکل ۹۶-۴

۸۷-۴ و ۸۸-۴ برای تیر نشان داده شده، کوپلی که لغزش آن با لغزش کاملاً پلاستیک M_p مساوی است وارد و سپس حذف می‌شود. با استفاده از استقامت تسلیم 240 MPa ، تنش باقیمانده را در $y = 45 \text{ mm}$ برابر باشد. ۷۳-۴ تیر مسئله ۸۷-۴. ۷۴-۴ تیر مسئله ۸۸-۴.

۹۰-۴ و ۹۱-۴ برای تیر نشان داده شده، کوپلی که لغزش آن با لغزش کاملاً پلاستیک M_p مساوی است وارد و سپس حذف می‌شود. با استفاده از استقامت تسلیم 290 MPa ، تنش باقیمانده را در $y = 50 \text{ mm}$ و در $y = 25 \text{ mm}$ برابر باشد. ۷۵-۴ تیر مسئله ۸۹-۴. ۷۶-۴ تیر مسئله ۹۰-۴.

۹۱-۴ کوپل خمی بر میله مسئله ۷۳-۴ وارد شده است، و مناطق پلاستیک به ضخامت 50 mm را در بالا و پایین میله به وجود آورده است. پس از حذف کوپل، مطلوبست: (الف) تنش باقیمانده در $y = 45 \text{ mm}$ ، (ب) تقاطعی که در آنها تنش باقیمانده صفر است، (ج) شعاع انحنای متناظر با تغییر شکل دائمی میله.

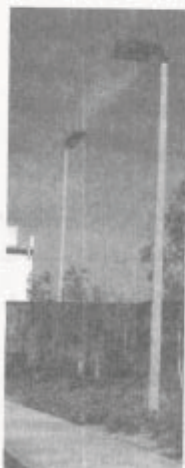
۹۲-۴ کوپل خمی بر میله مسئله ۷۵-۴ وارد شده است، و مناطق پلاستیک به ضخامت 50 mm را در بالا و پایین میله به وجود آورده است. پس از حذف کوپل، مطلوبست: (الف) تنش باقیمانده در $y = 50 \text{ mm}$ ، (ب) تقاطعی که در آنها تنش باقیمانده صفر است، (ج) شعاع انحنای متناظر با تغییر شکل دائمی میله.

۹۳-۴ یک میله مستطیلی مستقیم و بی تنش، با اعمال دو حذف کوپل‌ها، دیده می‌شود که شعاع انحنای میله R_y است. اگر شعاع انحنای میله را در شروع تسلیم با R_0 نشان دهیم، نشان دهد که شعاع‌های انحنای در رابطه زیر صدق می‌کنند:

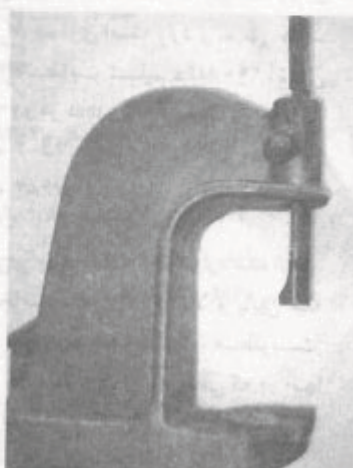
$$\frac{1}{R_0} = \frac{1}{R_y} \left\{ 1 - \frac{3}{2} \frac{R_y}{R_0} \left[1 - \frac{1}{3} \left(\frac{R_y}{R_0} \right)^2 \right] \right\}$$

۹۴-۴ میله توپری با مقطع عرضی مستطیلی از یک ماده الاستوپلاستیک ساخته شده است. اگر لغزش خمی و شعاع انحنای در شروع تسلیم، به ترتیب، با M_p و R_0 نشان دهیم، مطلوبست: (الف) شعاع انحنای وقتی لغزش کوپل $M = 1,25 M_p$ بر میله وارد می‌شود، (ب) شعاع انحنای پس از حذف کوپل. نتایج را با استفاده از رابطه بدست آمده در مسئله ۹۳-۴ وارسی کنید.

حالی بررسی می‌کنیم که خط اثر بار از مرکز سطح مقطع عرضی نگذرد. این حالت را بارگذاری خارج از مرکز می‌گویند. در شکل‌های ۴۶-۴ و ۴۷-۴، دو نمونه از بارگذاری خارج از مرکز نشان داده شده است. در تیرهای برق اتوبان‌ها، وزن لامب موجب بارگذاری خارج از مرکز در تیر برق می‌شود. به طور مشابه، نیروهای عمودی وارد بر یک پرس باعث بارگذاری خارج از مرکز برای ستون نگهدارنده پرس می‌شوند.



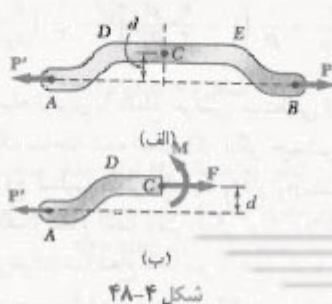
شکل ۴۶-۴



شکل ۴۷-۴

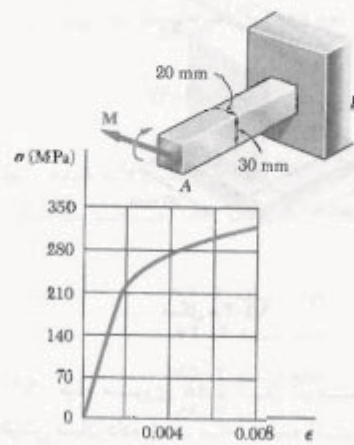
در این قسمت، فقط عضوهایی را تحلیل می‌کنیم که دارای صفحه تقارن هستند، و فرض می‌کنیم که بار در صفحه تقارن عضو وارد می‌شود (شکل ۴۸-۴ (الف)). لذا، نیروهای داخلی مؤثر بر یک مقطع عرضی داده شده را می‌توان با نیروی F وارد بر مرکز سطح مقطع عرضی و کوپل M که در صفحه عضو اثر می‌کند نشان داد (شکل ۴۸-۴ ب). از تعادل نمودار آزاد AC نتیجه می‌شود که نیروی F با P' مساوی و در جهت مخالف آن است و لنگر کوپل M با لنگر P' نسبت به C مساوی و در جهت مخالف آن است. اگر فاصله مرکز سطح C را از خط اثر نیروهای P و P' (خط AB) یا d نشان دهیم، داریم

$$F = P \quad \text{و} \quad M = Pd \quad (49-4)$$



شکل ۴۸-۴

۹۷-۴ میله منشوری AB از آلیاز برزن، با نمودار تنش-کرنش داده شده، ساخته شده است. به فرض اینکه نمودارهای $\sigma - \epsilon$ در فشار و کشش مشابه هم هستند، مطلوبست: (الف) تنش ماکزیمم در میله وقتی شعاع اتحنا 2.5 mm است، (ب) مقدار متاتر لنگر خمین. (به واهنمایی مسئله ۹۶-۴ نگاه کنید).



شکل ۹۷-۴

۹۸-۴ میله منشوری با مقطع عرضی مستطیلی از آلیازی با نمودار تنش-کرنش نشان داده شده ساخته شده است. این نمودار را می‌توان با رابطه $\epsilon = k\sigma^n$ برای $\sigma > 0$ و $\epsilon = -k\sigma^n$ برای $\sigma < 0$ نشان داد. اگر کوپل M بر میله وارد شود، نشان دهد که تنش ماکزیمم عبارت است از

$$\sigma_m = \frac{1 + 2n}{3n} \frac{Mc}{I}$$

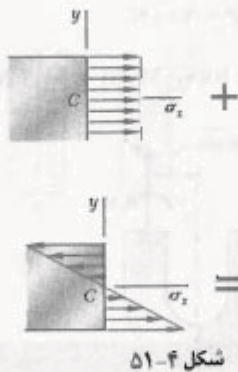


شکل ۹۸-۴

۱۲-۴ بارگذاری محوری خارج از مرکز در صفحه تقارن

در قسمت ۱۰.۱ دیدیم که توزیع تنش را در مقطع عرضی عضوی که تحت بارگذاری محوری است می‌توان یکنواخت فرض کرد به شرطی که خط اثر بارهای P و P' از مرکز سطح مقطع عرضی بگذرد. این را بارگذاری مرکزی می‌گویند. حال، توزیع تنش وارد

است که محور خشی بر محور گذرا از مرکز سطح مقطع منطبق نبست، زیرا برای $\sigma_x = 0$ ، $y \neq 0$.

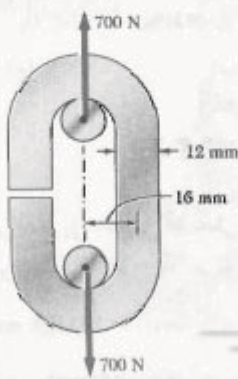


شکل ۴-۴

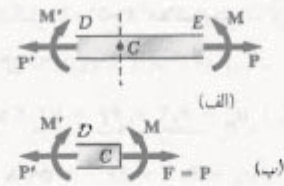
تابع بالا فقط ساخت و قوش صحت دارند که اصل ترکیب (قسمت ۱۷-۲) و اصل سنت-ونات (قسمت ۱۷-۲) به کار روند. یعنی، تنش های موجود از حد تابع ماده فراتر نیروند، تغییر شکل ناشی از خمین بر فاصله d در شکل ۴-۴الف خیلی تأثیر نگذارد، و مقطع عرضی که در آن تنش محاسبه می شود خیلی نزدیک به نقطه D یا E در شکل ۴-۴الف نباشد. این شرایط نشان می دهد که روش ترکیب را نمی توان برای تغییر شکل پلاستیک به کار برد.

مثال ۴-۷

با خم کردن میله های فولادی کم کربن به قطر ۱۲ mm، زنجیر حلقه باز نشان داده به دست آمده است (شکل ۵۲-۴). اگر بار ۷۰۰ N بر زنجیر وارد شود، مطلوب است: (الف) ماقزیم تنش های کشی و فشاری در قسمت مستقیم حلقه، (ب) فاصله بین خط گذرا از مرکز سطح و محور خشی مقطع عرضی.



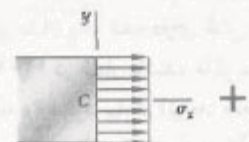
شکل ۵۲-۴



شکل ۴-۹

حال، قسمت مستقیم DE از عضو AB را جدا می کنیم و آن را تحت بارهای مرکزی P و P' و کوپل های M و M' قرار می دهیم (شکل ۴-۹). نیروهای داخلی در مقطع عرضی داده شده را با نیروی F و کوپل M نشان می دهیم. از ترکیب توزیع تنش یکنواخت ناشی از بارهای مرکزی P و P' و توزیع خطی ناشی از کوپل های خمینی M و M'، توزیع تنش در برگذاری خارج از مرکز به دست می آید (شکل ۴-۵۰):

$$\text{عملی} (\sigma_x) = (\sigma_x)_\text{مرکزی} + (\sigma_x)_\text{خطی}$$



شکل ۵۰-۴

با توجه به معادله های (۵۰.۱) و (۵۰.۴)،

$$\sigma_x = \frac{P}{A} - \frac{My}{I} \quad (50-4)$$

که در آن A مساحت مقطع عرضی و I ممان اینرسی نسبت به محور گذرا از مرکز سطح است، و لازم محور مرکزی مقطع عرضی اندازه گیری می شود. رابطه بالا نشان می دهد که توزیع تنش در عرض مقطع خطی است نه یکنواخت. برحسب شکل هندسی مقطع عرضی و خروج از مرکز بار، تنش های مرکب می توانند وارای علامت یکسان باشند (شکل ۵۰-۴)، یا بعضی از آنها دارای علامت مثبت و بعضی دارای علامت منفی باشند (شکل ۵۱-۴). در حالت دوم، خطی در مقطع وجود دارد که در امتداد آن $\sigma_x = 0$. این خط را محور خشی مقطع می گویند. گفتگو

با ترکیب این دو توزیع نش در بارگذاری خارج از مرکز داده شده را می‌یابیم (شکل ۵۴-۴ج). ماکزیمم نش‌های کششی و فشاری در مقطع، به ترتیب، عبارتند از:

$$\sigma_t = \sigma_o + \sigma_m = ۶,۲ + ۶۶ = ۷۲,۲ \text{ MPa}$$

$$\sigma_c = \sigma_o - \sigma_m = ۶,۲ - ۶۶ = -۵۹,۸ \text{ MPa}$$

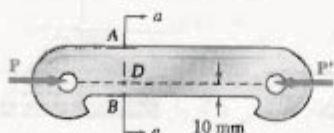
(ب) فاصله بین محور گلبرگ از مرکز سطح و محور خشن، با قرار دادن $\sigma = ۰$ در معادله $(۵۰-۴)$ و با حل y_o ، فاصله مزبور به دست می‌آید:

$$y_o = \frac{P}{A} - \frac{My_o}{I}$$

$$y_o = \left(\frac{P}{A}\right)\left(\frac{I}{M}\right) = (۶,۲ \text{ MPa}) \frac{۱۰۱۷,۹ \times ۱۰^{-۱۷} \text{ m}^۴}{۱۱,۲ \text{ N.m}} =$$

$$y_o = ۰,۵۶ \text{ mm}$$

مسئله نمونه ۵۴-۴
اگر حلقه چدنی نشان داده شده دارای نش مجاز ۳۰ MPa در کشش و ۱۲۰ MPa در فشار باشد، ماکزیمم نیروی P را که می‌توان بر حلقه وارد کرد بیابید. (توجه: مقطع عرضی T شکل حلقه را قبل از مسئله نمونه ۵۴-۳ بررسی کردیم).



حل

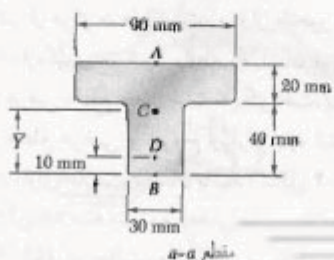
خواص مقطع عرضی از مسئله نمونه ۵۴-۳:

$$A = ۳۰۰۰ \text{ mm}^۲ = ۳ \times ۱۰^{-۴} \text{ m}^۴ \quad I = ۳۸,۱ \text{ mm}^۴ = ۳ \times ۱۰^{-۴} \text{ m}^۴$$

$$J = ۸۶۸ \times ۱۰^{-۶} \text{ m}^۶$$

حال، می‌نویسیم:

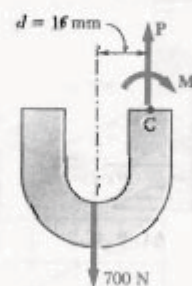
$$d = (۰,۰۳۸ \text{ m}) \sim (۰,۰۳۰ \text{ m}) = ۰,۰۳۰ \text{ m}$$



(الف) ماکزیمم نش‌های کششی و فشاری نیروهای داخلی در مقطع عرضی معادل آن و بانیروی P و کوپل خمی M (شکل ۵۴-۴) با مقادیر زیر:

$$P = ۷۰۰ \text{ N}$$

$$M = Pd = (۷۰۰ \text{ N})(۰,۰۳۰ \text{ m}) = ۲۱,۰ \text{ N.m}$$

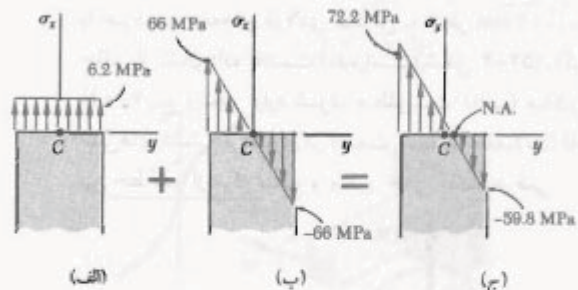


شکل ۵۴-۴

توزیع نش در قسمت‌های الف و ب شکل ۵۴-۴ داده شده‌اند. توزیع ناشی از بار مرکزی P یکنواخت و مساوی با $\sigma_o = P/A$ است. می‌نویسیم:

$$A = \pi c^۲ = \pi (۶ \text{ mm})^۲ = ۱۱۳,۱ \text{ mm}^۲$$

$$\sigma_o = \frac{P}{A} = \frac{۷۰۰ \text{ N}}{۱۱۳,۱ \text{ mm}^۲} = ۶,۲ \text{ MPa}$$



شکل ۵۴-۴

توزیع ناشی از کوپل خمی M خطی است و نش ماقزیمم حاصل برابر است با $\sigma_m = Mc/I$. می‌نویسیم:

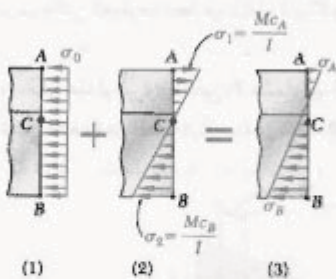
$$I = \frac{۱}{۴} \pi c^۴ = \frac{۱}{۴} \pi (۶ \text{ mm})^۴ = ۱۰۱۷,۹ \text{ mm}^۴$$

$$\sigma_m = \frac{Mc}{I} = \frac{(۲۱,۰ \times ۱۰^{-۴} \text{ N.m})(۶ \text{ mm})}{۱۰۱۷,۹ \text{ mm}^۴} = ۶۶ \text{ MPa}$$

RuEB

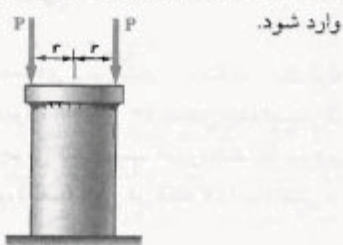
با انتخاب مقدار کوچکتر، تنش‌های حاصل از تنش مجاز بیشتر نمی‌شوند. در نتیجه،

$$P = 777 \text{ kN} \quad \blacktriangleleft$$



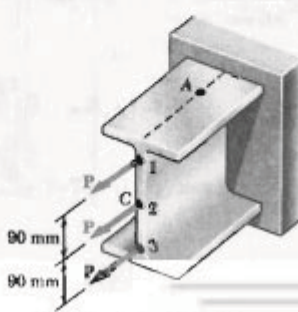
مسائل

۹۹-۴ دو نیروی P را به طور جداگانه یا همزمان می‌توان بر ورقی که به میله توپر استوانه‌ای به شعاع r جوش شده است وارد کرد. مطلوبست ماکریسم تنش فشاری در میله استوانه‌ای: (الف) وقتی هر دو نیرو وارد شوند، (ب) وقتی یکی از نیروها وارد شود.



شکل م ۹۹-۴

۹۹-۵ سه بار محوری، هر یک با مقدار 50 kN ، را بر انتهای نیر فولادی نورد $W 200 \times 31/1$ می‌توان وارد کرد. مطلوبست تنش در نقطه A : (الف) برای بارگذاری نشان داده شده، (ب) برای وقتی که بارها فقط در نقاط ۱ و ۲ وارد شوند.



شکل م ۹۹-۵ و م ۱۰۱-۴

نیرو و کوبیل در C . نیروی P را با سیستم نیرو-کوبیل معادل در مرکز سطح C جایگزین می‌کیم

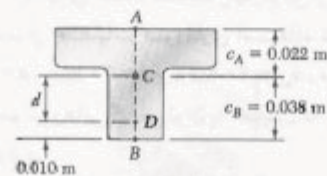
$$P = P \quad M = P(d) = P(0.1 \times 2\lambda \text{ m}) = +0.2\lambda P$$

نیروی P وارد بر مرکز سطح باعث توزیع تنش یکنواخت می‌شود (شکل ۱) و کوبیل خمی M باعث توزیع تنش خطی می‌شود (شکل ۲).

$$\sigma_0 = \frac{P}{A} = \frac{P}{3 \times 10^{-7}} = 3333 P \quad (\text{فشاری})$$

$$\sigma_1 = \frac{Mc_A}{J} = \frac{(0.1 \times 2\lambda P)(0.1 \times 2\lambda)}{868 \times 10^{-4}} = 710 P \quad (\text{کشی})$$

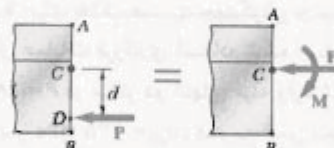
$$\sigma_2 = \frac{Mc_B}{J} = \frac{(0.1 \times 2\lambda P)(0.1 \times 3\lambda)}{868 \times 10^{-4}} = 1226 P \quad (\text{فشاری})$$



ترکیب. با ترکیب توزیع تنش‌های ناشی از بار مرکزی P و کوبیل خمی M ، توزیع تنش کل بدست می‌آید (شکل ۳). چون کشش مثبت است و فشار منفی است، می‌نویسیم:

$$\sigma_A = -\frac{P}{A} + \frac{Mc_A}{J} = -3333 P + 710 P = +3777 P \quad (\text{کشی})$$

$$\sigma_B = -\frac{P}{A} - \frac{Mc_B}{J} = -3333 P - 1226 P = -4559 P \quad (\text{فشاری})$$



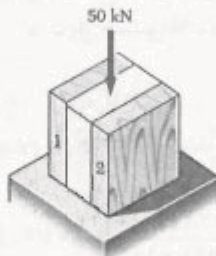
ماکریسم بار مجاز. برای تعیین مقدار P ، که بهزای آن تنش کششی در نقطه A مساوی 30 MPa است، می‌نویسیم:

$$\sigma_A = 3777 P = 30 \text{ MPa} \Rightarrow P = 79.6 \text{ kN} \quad \blacktriangleleft$$

برای تعیین مقدار P ، که بهزای آن تنش در B مساوی تنش مجاز فشاری 120 MPa است، می‌نویسیم:

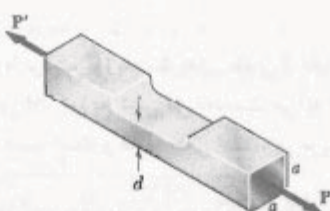
$$\sigma_B = -4559 P = -120 \text{ MPa} \Rightarrow P = 55.1 \text{ kN} \quad \blacktriangleleft$$

مطلوبیست ماکزیمم تنش فشاری در ستون پس از اعمال بار $P = 50 \text{ kN}$ در مرکز قسمت بالایی ستون در صورتی که: (الف) ستون به صورت لگفت شده باشد، (ب) نفعه ۱ حذف شود، (ج) قطعات ۱ و ۲ حذف شوند.



شکل ۱۰۵-۴م

۱۰۶-۴ برای حذف قسمت چهارگوش از میله توپر نشان داده شده، از عملیات فرزکاری استفاده شده است. اگر $P = 20 \text{ kN}$ ، $\sigma_{all} = 60 \text{ MPa}$ و $d = 20 \text{ mm}$ ، $a = 30 \text{ mm}$ مطلوبیست مقدار P ماکزیمم نیروهایی که می‌توان با اطمینان در مراکز دو انتهای میله وارد کرد.



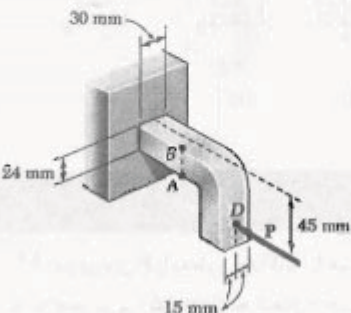
شکل ۱۰۷-۴م و ۱۰۶-۴م

۱۰۷-۴ برای حذف قسمت چهارگوش از میله توپر نشان داده شده، از عملیات فرزکاری استفاده شده است. نیروها مقدار $P = 18 \text{ kN}$ در مراکز دو انتهای میله وارد شده‌اند. اگر $\sigma_{all} = 135 \text{ MPa}$ و $a = 30 \text{ mm}$ کمترین عمق مجاز d قسمت فرز شده را بیابید.

۱۰۸-۴ چهار نیروی نشان داده شده بر صفحه صلبی که توسط تیر توپر فولادی با شاعع a نگه داشته شده است وارد می‌شود. مطلوبیست تنش ماکزیمم در تیر وقتی: (الف) تمام چهار نیرو وارد شوند، (ب) نیرو در D حذف شود، (ج) نیروها در C و D حذف شوند.

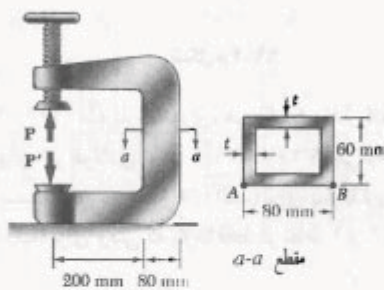
۱۰۹-۴ سه بار محوری، هر یک با مقدار $N = 50 \text{ kN}$ ، را بر انتهای تیر فولادی نورد $W 200 \times 31,1$ می‌توان وارد کرد. مطلوبیست تنش در نقطه A : (الف) برای بارگذاری نشان داده شده، (ب) برای وقتی که بارها فقط در نقاط ۲ و ۳ وارد شوند.

۱۱۰-۴ اگر مقدار نیروی افقی P مساوی 8 kN باشد، مطلوبیست تنش: (الف) در نقطه A ، (ب) در نقطه B .



شکل ۱۱۰-۴م

۱۱۱-۴ قسمت عمودی پرس نشان داده شده، از یک لوله مستطیلی با ضخامت دیواره $t = 10 \text{ mm}$ تشکیل شده است. اگر پرس را روی قطعات چوبی که چسب خورده‌اند تا نیروی $P = 20 \text{ kN}$ سفت کنیم، (الف) تنش در نقطه A ، (ب) تنش در نقطه B را بیابید.



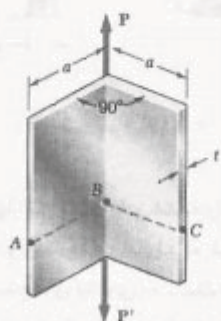
شکل ۱۱۱-۴م

۱۱۲-۴ مسئله ۱۱۱-۴ را برای $t = 8 \text{ mm}$ حل کنید.

۱۱۳-۴ با میخ کردن دو قطمه چوبی $25 \times 100 \text{ mm}$ به قطعه چوبی $50 \times 100 \text{ mm}$ ، ستون اکوتاهی ساخته شده است.

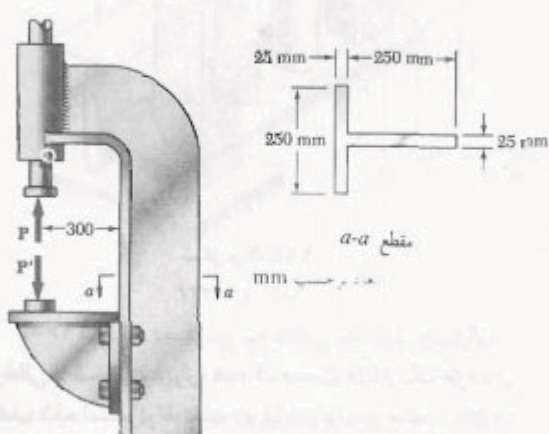
۱۱۱-۴ لوله فلزی با قطر خارجی 18 mm و ضخامت دیواره 2 mm باید دارای انحراف h باشد. اگر بدانیم که تنش ماکزیمم پس از ایجاد انحراف نباید از $\frac{1}{4}$ برابر تنش در لوله مستقیم بیشتر باشد، ماکزیمم انحراف مورد استفاده را بیابید.

۱۱۲-۴ عضو نشان داده از خم کردن یک ورق نازک فولادی به وجود آمده است. اگر ضخامت t در مقایسه با طول a ، این عضو کوچک باشد، مطلوب است: (الف) تنش در A ، (ب) تنش در B ، (ج) تنش در C .

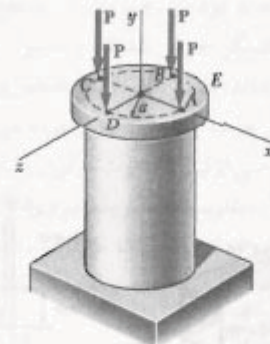


شکل ۱۱۲-۴

۱۱۳-۴ اگر تنش مجاز در مقطع $a-a$ از پرس هیدرولیکی نشان داده شده در کشش و فشار، به ترتیب، 40 MPa و 40 MPa باشد، ماکزیمم نیروی P را که می‌توان بر پرس وارد کرد بیابید.

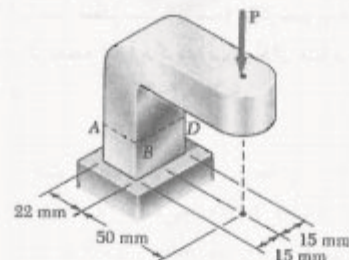


شکل ۱۱۳-۴



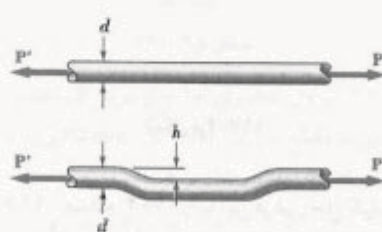
شکل ۱۱۴-۱

۱۱۴-۱ اگر تنش مجاز در مقطع $ABCD$ برابر با 70 MPa باشد، ماکزیمم نیروی P را که می‌توان بر برآکت نشان داده شده وارد کرد بیابید.

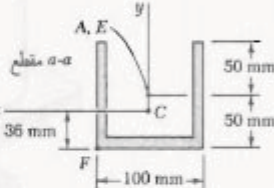
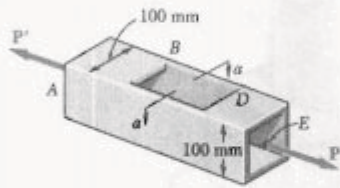


شکل ۱۱۴-۲

۱۱۰-۴ میله توپر دایره‌ای به قطر d باید دارای انحراف h باشد. اگر بدانیم که تنش ماکزیمم پس از ایجاد انحراف نباید از $\frac{1}{4}$ برابر تنش در میله مستقیم بیشتر باشد، ماکزیمم انحراف مورد استفاده را بیابید.

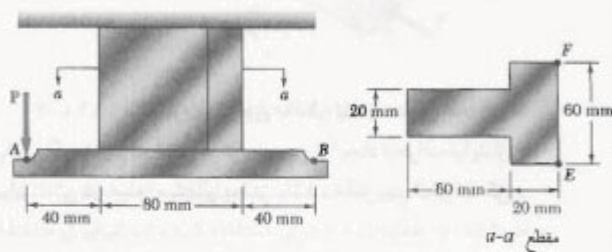


شکل ۱۱۰-۴ و ۱۱۱-۴



شکل ۱۱۶-۴م

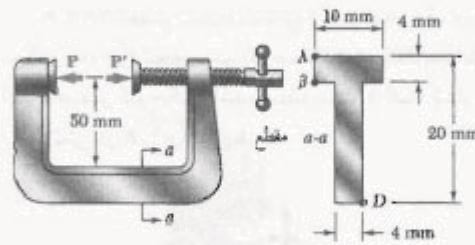
۱۱۷-۴ اگر تنش مجاز در مقطع $a-a$ آویز نشان داده شده باشد 150 MPa باشد، مطلوب است: (الف) ماکزیمم نیروی عمودی P که می‌توان در نقطه A وارد کرد، (ب) مکان متناظر محور خشی مقطع $a-a$.



شکل ۱۱۷-۴م

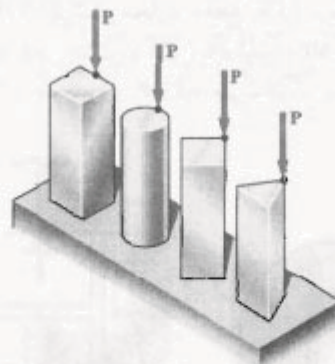
۱۱۸-۴ مسئله ۱۷-۴ را با این فرض حل کنید که نیروی عمودی P در نقطه B وارد شود.

۱۱۴-۴ اگر گیره نشان داده شده روی قطعات چوبی چسب خوردۀ تانیروی $P = 400 \text{ N}$ سفت شود، در مقطع مطلوب است: (الف) تنش در نقطه A ، (ب) تنش در نقطه D ، (ج) مکان محور خشی.



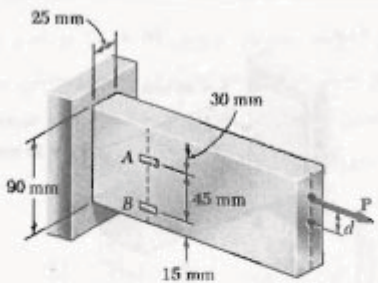
شکل ۱۱۴-۴م

۱۱۵-۴ چهار بار نشان داده شده دارای مساحت مقطع عرضی یک‌ستوند، برای بارگذاری‌های داده شده، نشان دهد که: (الف) ماکزیمم تنش‌های فشاری به نسبت $9:5:7:4$ هستند، (ب) ماکزیمم تنش‌های کششی به نسبت $2:3:5:3$ هستند. (راهنمایی: مقطع عرضی میله به صورت مثلث متساوی‌الاضلاع است).



شکل ۱۱۵-۴م

۱۱۶-۴ برای دسترسی به داخل یک لوله چهارگوش توخالی با ضخامت دیواره 6 mm ، قسمت CD از یک طرف آن حذف شده است. لوله تحت دو نیروی برابر و متناسب 40 kN قرار می‌گیرد. این نیروها در مراکز هندسی A و E و دو انتهای لوله وارد می‌شوند. مطلوب است: (الف) تنش ماکزیمم در مقطع $a-a$ ، (ب) تنش در نقطه F . داده: مرکز سطح مقطع عرضی در نقطه C است و $I_z = 2 \times 10^7 \text{ mm}^4$.



شکل م ۱۲۱-۴

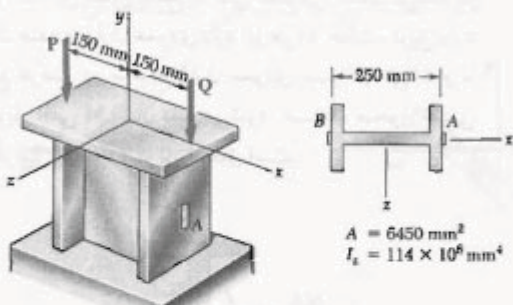
۱۲۲-۴ مثلاً ۱۲۱-۴ را با فرض زیر حل کنید:

$$\varepsilon_A = +600 \mu \quad \varepsilon_B = +420 \mu$$

۱۲۳-۴ طول کوتاهی از ستون فولادی تورد شده یک صفحه صلب رانگه می‌دارد. بارهای P و Q، مطابق شکل، بر این صفحه وارد شده‌اند. کرنش‌ها در دو نقطه A و B روی خطوط مرکزی وجود خارجی بالا به صورت زیر هستند:

$$\varepsilon_A = -400 \times 10^{-7} \text{ mm/mm} \quad \varepsilon_B = -300 \times 10^{-7} \text{ mm/mm}$$

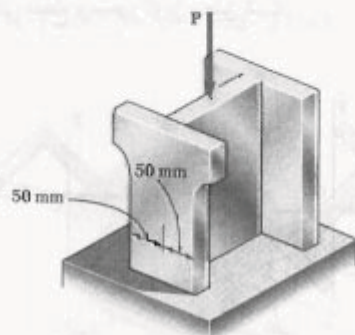
اگر $E = 29 \times 10^9 \text{ psi}$ ، مقدار هر بار را باید.



شکل م ۱۲۳-۴

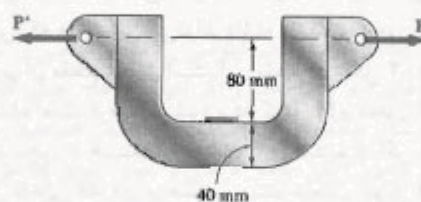
۱۲۴-۴ نیروی محوری، خارج از مرکز P، که در نفعه D وارد می‌شود، باید ۲۵ mm زیر سطح بالایین میله فولادی نشان داده شده باشد. برای $P = 60 \text{ kN}$ ، مطلوب است: (الف) عمق d میله که بهزای آن تنش‌های کششی در نقطه A ماقریم است، (ب) تنش متناظر در نقطه A.

۱۱۹-۴ ۱۱۹-۴ سه صفحه فولادی، هر یک با مقطع عرضی $25 \times 150 \text{ mm}$ ، به یکدیگر جوش شده‌اند و ستون کوتاه به شکل A را تشکیل داده‌اند. میله، به دلایل معماري، نواری بعرض ۲۵ mm از هر طرف یکی از بالها درآورده می‌شود. اگر بار نسبت به مقطع عرضی اولیه به صورت مرکزی بماند، و تنش مجاز 100 MPa باشد، مطلوب است ماقریم نیروی P: (الف) که می‌توان بر سخون اولیه وارد کرد، (ب) که می‌توان بر ستون تغییر یافته وارد کرد.



شکل م ۱۱۹-۴

۱۲۰-۴ برای تعیین مقدار P نیروهای نشان داده شده، از میله فولادی C شکل استفاده می‌شود. اگر مقطع عرضی میله به صورت چهارگوش به ضلع 40 mm ، و کرنش در لبه داخلی $E = 200 \text{ GPa}$ باشد، مقدار P را باید از 40μ استفاده کنید.



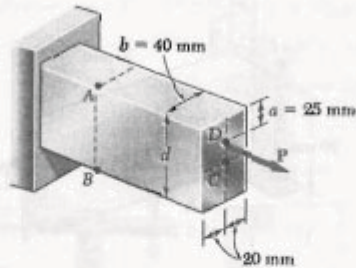
شکل م ۱۲۰-۴

۱۲۱-۴ نیروی محوری خارج از مرکز P، مطابق شکل، بر میله فولادی با مقطع عرضی $25 \text{ mm} \times 90 \text{ mm}$ وارد شده است. کرنش‌ها در A و B به صورت زیر هستند

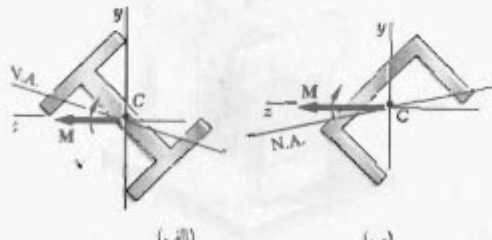
$$\varepsilon_A = +350 \mu \quad \varepsilon_B = -70 \mu$$

اگر $E = 200 \text{ GPa}$ ، مطلوب است: (الف) فاصله d، (ب) مقدار نیروی P.

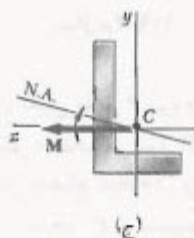
اکنون، حالت‌هایی را در نظر می‌گیریم که در آن کوبیل‌های خمی در صفحه تقارن عضو اثر نمی‌کنند، یا اینکه عضو صفحه تقارن ندارد. در این موارد، نمی‌توان فرض کرد که عضو در صفحه کوبیل‌ها خم می‌شود. این موضع در شکل ۵۶-۴ نشان داده شده است. در هر قسمت شکل، فرض شده است کوبیل وارد بر مقطع در یک صفحه عمودی اثر می‌کند و با بردار کوبیلافقی M نشان داده شده است. البته، چون صفحه عمودی صفحه تقارن نیست، نمی‌توان گفت عضو در آن صفحه خم می‌شود، یا محور خشی مقطع بر محور کوبیل منطبق است.



شکل ۵۶-۴



(الف) (ب)



شکل ۵۶-۴

می‌خواهیم شرایطی را بیابیم که در آن محور خشی مقطع عرضی، که هر شکلی می‌تواند داشته باشد، بر محور کوبیل M مؤثر بر آن مقطع منطبق است. این مقطع در شکل ۵۷-۴ نشان داده شده است. فرض می‌شود بردار کوبیل M و محور خشی در امتداد محور z هستند. در قسمت ۲-۴ دیدیم که اگر نیروهای جزئی داخلی $\sigma_z dA$ را برحسب سیستم معادل کوبیل M بیان کنیم، خواهیم داشت:

$$\int \sigma_z dA = 0 \quad (1-4)$$

$$\int z \sigma_z dA = 0 \quad (2-4)$$

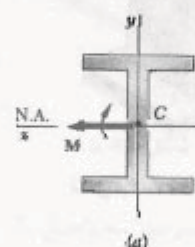
$$\int (\sigma_z - \bar{\sigma}_z) dA = M \quad (3-4)$$

قبل دیدیم که وقتی تنش‌ها کمتر از حد تناسب‌الند، طبق معادله (۱-۴) محور خشی یک محور گذراز مرکز سطح است، و

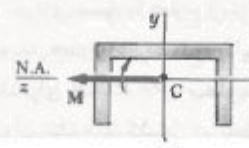
که به ازای آن تنش فشاری در نقطه B مانع می‌گردد. مطلب است: (الف) عمق d میله متناظر در نقطه B.

۱۳-۴ خم خشی نامتقارن

تابه‌حال، فقط خم خشی خالص عضوهایی را بررسی کرده‌ایم که حداقل یک صفحه تقارن دارند و تحت کوبیل‌هایی که در آن صفحه اثر می‌کنند قرار می‌گیرند. در قسمت ۳-۴ دیدیم که این عضوهای نسبت به صفحه کوبیل‌ها متقارن می‌مانند و در آن صفحه خم می‌شوند. شکل ۵۸-۴ (الف) مقطع عرضی عضوی را نشان می‌دهد که دو صفحه تقارن دارد، یکی عمودی و دیگری افقی، و قسمت (ب) این شکل مقطع عرضی عضوی را نشان می‌دهد که فقط یک صفحه تقارن عمودی دارد. در هر دو حالت، کوبیل وارد بر مقطع عرضی در صفحه تقارن عمودی عضو اثر می‌کند و با بردار کوبیل افقی M نشان داده می‌شود؛ خمناً، محور خشی مقطع عرضی بر محور کوبیل منطبق است.



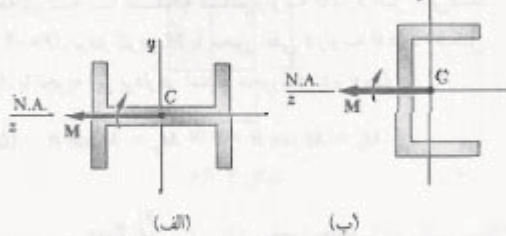
(ا)



(ب)

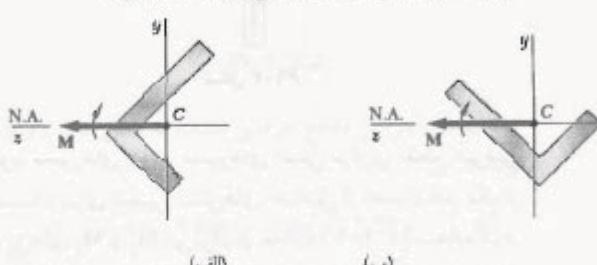
شکل ۵۸-۴

(شکل ۵۸-۴)، بردار کوپل M هنوز در امتداد یکی از محورهای اصلی مرکزی خواهد بود، و محور خشنی نیز بر محور کوپل منطبق است؛ ولی کوپل در حالت ب در صفحه تقارن عضو اثر نمی کند.



شکل ۵۸-۴

از طرف دیگر، در شکل ۵۶-۴ هیچ یک از محورهای مختصات محور تقارن مقاطع نشان داده شده نیست و نیز محور اصلی نمی باشد. لذا، بردار کوپل M در امتداد محور اصلی مرکزی نیست و محور خشنی بر محور کوپل منطبق نیست. ولی، هر مقطعی دارای محورهای اصلی مرکزی است، حتی اگر نامتقارن باشد (شکل ۵۶-۴ج). و این محورها را با استفاده از دایره مور می توان یافت.^{*} اگر بردار کوپل M در امتداد یکی از محورهای اصلی مرکزی مقطع عرضی باشد، محور خشنی بر محور کوپل منطبق است (شکل ۵۹-۴) و از معادله هایی که در قسمت های ۳-۴ و ۴-۴ برای عضوهای متقاضی داده شدند برای تعیین نتش در این حالت نیز می توان استفاده کرد.



شکل ۵۹-۴

* زگاه کنید به:

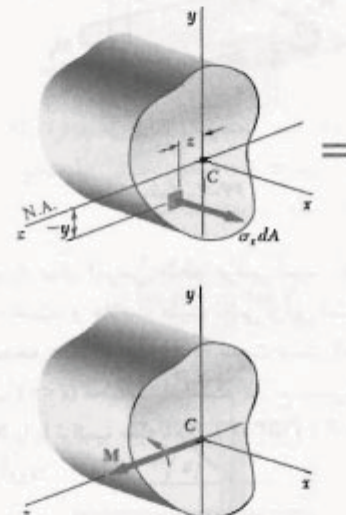
Ferdinand P. Beer and E. Russell Johnston, Jr., *Mechanics for Engineers*, 4th ed., McGraw-Hill, New York, 1987, or *Vector Mechanics for Engineers*, 6th ed., McGraw-Hill, New York, 1996, secs. 9.8-9.10.

** بگاه کنید به:

Ferdinand P. Beer and E. Russell Johnston, Jr., *Mechanics for Engineers*, 4th ed., McGraw-Hill, New York, 1987, or *Vector Mechanics for Engineers*, 6th ed., McGraw-Hill, New York, 1996, secs. 9.8-9.10.

معادله (۳-۴) رابطه اصلی $-My/I = \sigma_y = -\sigma_m y/c$ را می دهد. در قسمت ۲-۴، با توجه به تقارن مقطع عرضی نسبت به محور \bar{z} معادله (۲-۴) زاید بود و آن را درنظر نگرفتیم. ولی، اکنون که مقطع عرضی با یک شکل اختیاری را بررسی می کنیم، معادله (۲-۴) حائز اهمیت است. با فرض اینکه نتش ها کمتر از حد تناسب ماده اند، در معادله (۲-۴) قرار $\sigma_y = -\sigma_m y/c$ دهیم و می نویسیم:

$$\int z \left(-\frac{\sigma_m y}{c} \right) dA = 0 \Rightarrow \int yz dA = 0 \quad (51-4)$$



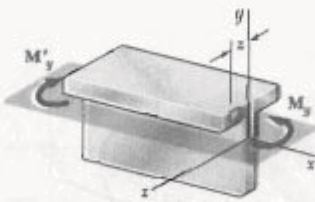
شکل ۵۷-۴

انتگرال $\int yz dA$ حاصلضرب اینرسی I_z مقطع عرضی را نسبت به محورهای y و z می دهد، و اگر آنها محورهای همی گذرا از مرکز سطح مقطع عرضی باشند، $\int yz dA$ صفر خواهد بود.^{*} درنتیجه، محور خشنی مقطع عرضی بر محور کوپل M مؤثر بر آن مقطع منطبق خواهد بود اگر، و فقط اگر، بردار کوپل M در امتداد یکی از محورهای همی گذرا از مرکز سطح مقطع عرضی باشد.

گفتنی است که مقاطع عرضی نشان داده شده در شکل ۵۵-۴ حداقل نسبت به یکی از محورهای مختصات تقارن دارند. یعنی، در هر حالت، محورهای y و z محورهای اصلی گذرا از مرکز سطح مقطع عرضی هستند. چون بردار کوپل M در امتداد یکی از محورهای اصلی مرکزی است، محور خشنی از محور کوپل منطبق است. با چرخش 90° مقاطع عرضی

که در آن τ_1 ممان اینرسی مقطع عرضی نسبت به محور اصلی مرکزی z است. علامت منفی ناشی از این است که بالای صفحه $z-z'$ تحت فشار است و پایین آن ($z-z'$) تحت کشش است. از طرف دیگر، کوبیل M_y در یک صفحه افقی اثر می‌کند و عضو را در آن صفحه خم می‌کند (شکل ۶۳-۴). تنش‌های حاصل عبارتند از:

$$\sigma_y = + \frac{M_y z}{I_y} \quad (54-4)$$

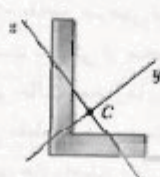


شکل ۶۳-۴

که در آن τ_1 ممان اینرسی مقطع عرضی نسبت به محور اصلی مرکزی y است، و علامت مثبت ناشی از این است که سمت چپ صفحه عمودی $y-y'$ (z) تحت کشش است و سمت راست آن (z) تحت فشار است. توزیع تنش‌های ناشی از کوبیل M را با ترکیب معادله‌های (۵۳-۴) و (۵۴-۴) می‌توان به دست آورد:

$$\sigma_y = - \frac{M_z y}{I_z} + \frac{M_y z}{I_y} \quad (55-4)$$

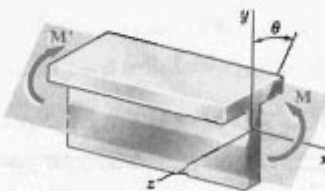
با تعیین محورهای مرکزی اصلی y و z ، از معادله (۵۵-۴) می‌توان برای محاسبه تنش‌ها در یک مقطع نامتعارن، مانند مقطع شکل ۶۴-۴، نیز استفاده کرد. از طرف دیگر، معادله (۵۵-۴) فقط وقتی به کار می‌رود که شرایط کاربرد اصل ترکیب برقرار باشند. به عبارت دیگر، اگر تنش‌های ترکیبی از حد تنش ماده فراتر روند، یا اگر تغییر شکل‌های ناشی از یکی کوبیل‌ها بر توزیع تنش‌های ناشی از کوبیل دیگر خیلی تأثیر بگذارند، از معادله (۵۵-۴) نمی‌توان استفاده کرد.



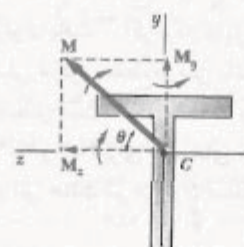
شکل ۶۴-۴

حال، نشان می‌دهیم که از اصل ترکیب برای تعیین تنش در کلی ترین حالت خمش نامتعارن می‌توان استفاده کرد. ابتدا، عضوی را با یک صفحه نقارن عمودی در نظر بگیرید. این عضو تحت کوبیل‌های خمشی M و M' قرار دارد، و کوبیل‌ها غریب صفحه‌ای که با صفحه قائم زاویه θ دارد اثر می‌کنند (شکل ۶۱-۴). بردار کوبیل M با محور افقی z زاویه θ دارد (شکل ۶۱-۴). با تجزیه این بردار در امتداد محورهای y و z ، داریم

$$M_z = M \cos \theta \quad M_y = M \sin \theta \quad (52-4)$$



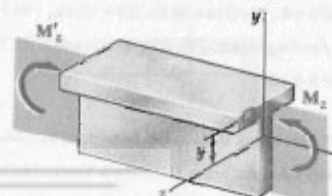
شکل ۶۱-۴



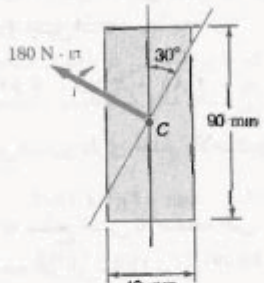
شکل ۶۱-۴

چون محورهای y و z محورهای اصلی مرکزی مقطع عرضی هستند، برای تعیین تنش‌های حاصل از اعمال هر یک از کوبیل‌های M_z و M_y می‌توان از معادله (۱۶-۴) استفاده کرد. کوبیل M_y در یک صفحه عمودی اثر می‌کند و عضو را در آن صفحه خم می‌کند (شکل ۶۲-۴). تنش‌های حاصل عبارتند از:

$$\sigma_x = - \frac{M_z y}{I_z} \quad (53-4)$$



شکل ۶۲-۴

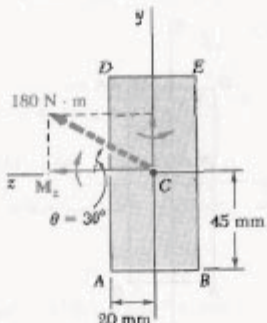


شکل ۶۶-۴

(الف) تنش ماکریم، ابتداء، مؤلفه‌های M_z و M_y بردار کوبیل را می‌یابیم (شکل ۶۷-۴):

$$M_z = (180 \text{ N.m}) \cos 30^\circ = 150\sqrt{3} \text{ N.m}$$

$$M_y = (180 \text{ N.m}) \sin 30^\circ = 90 \text{ N.m}$$



شکل ۶۷-۴

ممان‌های ایترسی مقطع عرضی نسبت به محورهای z و y عبارتند از:

$$I_z = \frac{1}{3} (0.04 \text{ m})(0.08 \text{ m})^3 = 2.43 \times 10^{-5} \text{ m}^4$$

$$I_y = \frac{1}{3} (0.04 \text{ m})(0.08 \text{ m})^3 = 0.48 \times 10^{-5} \text{ m}^4$$

ماکریم تنش گشتنی ناشی از M_z در امتداد AB روی می‌دهد و چنین است:

$$\sigma_t = \frac{M_z y}{I_z} = \frac{(150\sqrt{3} \text{ N.m})(0.04 \text{ m})}{2.43 \times 10^{-5} \text{ m}^4} = 2.89 \text{ MPa}$$

ماکریم تنش گشتنی ناشی از M_y در امتداد AD روی می‌دهد و چنین است:

$$\sigma_t = \frac{M_y z}{I_y} = \frac{(90 \text{ N.m})(0.08 \text{ m})}{0.48 \times 10^{-5} \text{ m}^4} = 3.75 \text{ MPa}$$

معادله (۵۵-۴) نشان می‌دهد که توزیع تنش‌های ناشی از حخش نامتقارن به صورت خطی است. ولی، همانطور که قبلاً در همین قسمت گفته شد، محور گشتنی مقطع عرضی، به طور کلی، بر محور کوبیل خمیده منطبق نیست، چون تنش قائم در تمام نقاط محور گشتنی صفر است، با قرار دادن $\theta = 0$ در معادله (۵۵-۴) می‌توان معادله‌ای که این محور گشتنی را مشخص می‌کند بدست آورد. می‌نویسیم:

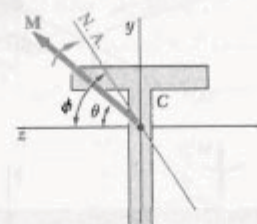
$$-\frac{M_z y}{I_z} + \frac{M_y z}{I_y} = 0$$

با حل y و جایگذاری M_z و M_y از معادله‌های (۵۲-۴)،

$$y = \left(\frac{I_z}{I_y} \tan \theta \right) z \quad (56-4)$$

معادله حاصل، یک خط مستقیم با شیب $m = (I_z/I_y) \tan \theta$ را نشان می‌دهد. زاویه ϕ که محور گشتنی با محور z دارد (شکل ۶۵-۴) از رابطه زیر بدست می‌آید:

$$\tan \phi = \frac{I_z}{I_y} \tan \theta \quad (57-4)$$



شکل ۶۵-۴

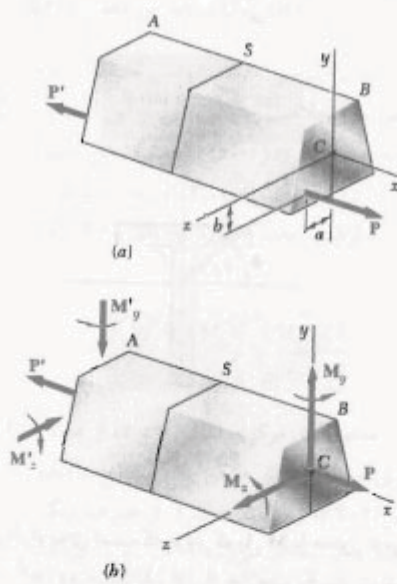
که در آن θ زاویه‌ای است که بردار کوبیل M با محور z می‌سازد. چون z و y هر دو مثبت‌اند، $\phi < \theta$. علامت یکسان دارند. وقتی $\phi > \theta$ ، $I_z > I_y$ و وقتی $\phi < \theta$ ، $I_z < I_y$. لذا، محور گشتنی محورهای M و محور اصلی منتظر یا ممان ایترسی مینیموم قرار دارد.

مثال ۸-۴

کوبیل 180 N.m بر یک تیغ جویی، با مقطع مردمی مستطیلی $40 \text{ mm} \times 80 \text{ mm}$ در صفحه‌ای که با عمود زاویه 30° دارد و قرار شده است (شکل ۶۶-۴). مطلوب است: (الف) تنش ماکریم در تیغ، (ب) زاویه‌ای که سطح گشتنی با صفحه افق دارد.

۱۴-۴ حالت کلی بارگذاری محوری خارج از مرکز در قسمت ۱۲-۴، تنش‌های حاصل از بار محوری خارج از مرکز را، که در صفحه تقارن عضو بر آن اثر می‌کرد، تحلیل کردیم. اکنون، حالت کلی تری را بررسی می‌کنیم که در آن بار محوری در صفحه تقارن اعمال نمی‌شود.

عضو مستقیم AB را که تحت تبروهای متضاد و محوری خارج از مرکز P' و P قرار دارد در نظر بگیرید (شکل ۱۷-۴الف). فواصل خطوط اثر این تبروها را تا محورهای اصلی مرکزی مقطع عرضی عضو با a و b نشان می‌دهیم. نیروی خارج از مرکز P از نظر استاتیکی معادل است با سیستمی که از نیروی مرکزی P و دو کوپل M_y و M_z ، با لگرها $M_y = P_a$ و $M_z = P_b$ تشکیل شده است (شکل ۱۷-۴ب). به طور مشابه، نیروی خارج از مرکز P' معادل است با سیستمی که از نیروی مرکزی P' و کوپل‌های M'_y و M'_z تشکیل شده است.



شکل ۱۷-۴

با استفاده از اصل سنت-ونانت (قسمت ۱۷-۲)، بارگذاری اولیه در شکل ۱۷-۴الف را می‌توان با معادل استاتیکی آن، یعنی بارگذاری در شکل ۱۷-۴ب، جایگزین کرد، و توزیع تنش در مقطع S عضو را، که خیلی ترددیک به انتهای عضو نشاست، بدست آورد. به علاوه، تا وقتی شرایط استفاده از اصل ترکیب برقرار باشند (قسمت ۱۲-۲)، با ترکیب تنش‌های ناشی از بار

بنابراین، ماکریم تنش کششی ناشی از بارگذاری ترکیبی در A روی می‌دهد و چنین است:

$$\sigma_{\max} = \sigma_x + \sigma_y = 2,189 + 3,775 = 6,64 \text{ MPa}$$

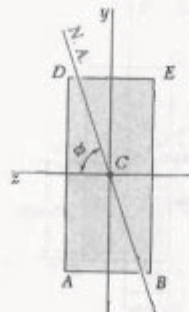
ماکریم تنش فشاری دارای مقدار بالاست و در E روی می‌دهد.

(ب) زاویه سطح خشی با صفحه افق. زاویه ϕ که سطح خشی با صفحه افق می‌سازد (شکل ۱۸-۴) از معادله (۵۷-۴) به دست می‌آید.

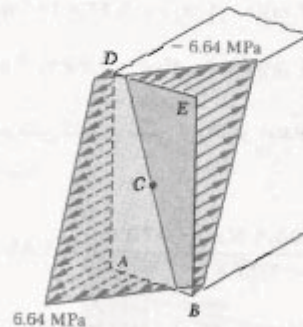
$$\tan \phi = \frac{I_z}{I_y} \tan \theta = \frac{2,43 \times 10^{-5} \text{ m}^4}{0,48 \times 10^{-5} \text{ m}^4} \tan 30^\circ = 2,9$$

$$\phi = 72,4^\circ$$

توزیع تنش در مقطع عرضی در شکل ۱۸-۴ نشان داده شده است.



شکل ۱۸-۴



شکل ۱۸-۴

(الف) تنش ها. بار خارج از مرکز داده شده را به سیستم معادل آن جایگزین می کنیم. این سیستم از بار مرکزی P و دو کوبیل M_x و M_z ، که با بردارهایی در امتداد محورهای اصلی مرکزی مقطع غرضی نشان داده شده‌اند، تشکیل شده است (شکل ۷۲-۴). می‌نویسیم:

$$M_x = (4,80 \text{ kN})(40 \text{ mm}) = 192 \text{ N.m}$$

$$M_z = (4,80 \text{ kN})(60 \text{ mm} - 25 \text{ mm}) = 120 \text{ N.m}$$

مساحت و ممانهای اینرسی مرکزی ** مقطع عرضی عبارتند از:

$$A = (0,08 \text{ m})(0,120 \text{ m}) = 9,60 \times 10^{-3} \text{ m}^2$$

$$I_x = \frac{1}{12} (0,120 \text{ m})(0,08 \text{ m})^3 = 5,12 \times 10^{-5} \text{ m}^4$$

$$I_z = \frac{1}{12} (0,08 \text{ m})(0,120 \text{ m})^3 = 11,52 \times 10^{-5} \text{ m}^4$$

تنش σ_0 ناشی از بار مرکزی P منفی است و در مقطع عرضی به صورت یکنواخت است:

$$\sigma_0 = \frac{P}{A} = \frac{-4,80 \text{ kN}}{9,60 \times 10^{-3} \text{ m}^2} = -0,5 \text{ MPa}$$

تنش های ناشی از کوبیل های خمشی M_x و M_z در مقطع عرضی دارای توزیع خطی هستند و ماقریم مقدار آنها، به ترتیب، عبارتند از:

$$\sigma_x = \frac{M_x z_{\max}}{I_x} = \frac{(192 \text{ N.m})(40 \text{ mm})}{5,12 \times 10^{-5} \text{ m}^4} = 1,5 \text{ MPa}$$

$$\sigma_z = \frac{M_z x_{\max}}{I_z} = \frac{(120 \text{ N.m})(60 \text{ mm})}{11,52 \times 10^{-5} \text{ m}^4} = 0,625 \text{ MPa}$$

تنش در گوش های مقطع عرضی عبارتند از:

$$\sigma_y = \sigma_0 \pm \sigma_x \pm \sigma_z$$

علامت ها را از شکل ۷۲-۴ باید تعیین کرد. تنش های ناشی از D و C در A و B منفی آند، و تنش های ناشی از D و C در B و A منفی آند، در نتیجه،

$$\sigma_A = -0,5 - 1,5 - 0,625 = -2,625 \text{ MPa}$$

$$\sigma_B = -0,5 - 1,5 + 0,625 = -1,375 \text{ MPa}$$

$$\sigma_C = -0,5 + 1,5 + 0,625 = +1,625 \text{ MPa}$$

$$\sigma_D = -0,5 + 1,5 - 0,625 = +0,375 \text{ MPa}$$

* گذرا از مرکز سطح مقطع عرضی- مترجم
** ایست به محور گذرا از مرکز سطح مقطع عرضی- مترجم

محوری مرکزی P و کوبیل های خمشی M_y و M_z می توان تنش های ناشی از بارگذاری شکل ۷۱-۴ ب را بدست آورد. تنش ناشی از بار مرکزی P با معادله (۵-۵)، و تنش ناشی از کوبیل های خمشی با معادله (۵۵-۴) داده می شوند، زیرا بردارهای کوبیل متناظر در امتداد محورهای اصلی مرکزی * مقطع قرار دارند. بنابراین،

$$\sigma_x = \frac{P}{A} - \frac{M_z y}{I_z} + \frac{M_y z}{I_y} \quad (58-4)$$

که در آن y و z از محورهای اصلی مرکزی مقطع عرضی اندازه گیری می شوند. رابطه حاصل نشان می دهد که توزیع تنش در عرض مقطع بصورت خطی است.

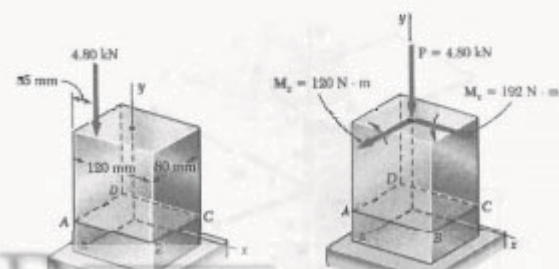
گفتی است که در معادله (۵۸-۴)، بحسب سوی بارهای P و P' و مکان خط اثر آنها نسبت به محورهای اصلی مرکزی مقطع عرضی، هر یک از سه جمله این معادله ممکن است مثبت یا منفی باشد. بر حسب شکل هندسی مقطع عرضی و مکان خط اثر P و P' ، تنش های σ_x حاصل از معادله (۵۸-۴) در نقاط مختلف مقطع ممکن است درای علامت یکسان باشند، یا بعضی از آنها مثبت و بعضی منفی باشند. در حالت دوم، خطی در مقطع وجود دارد که تنش در امتداد آن صفر است. با قرار دادن $\sigma_x = 0$ در معادله (۵۸-۴)، معادله یک خط مستقیم که محور ختنی مقطع را نشان می دهد بدست می آید:

$$\frac{M_z}{I_z} y - \frac{M_y}{I_y} z = \frac{P}{A}$$

مثال ۷۱-۴

مطابق شکل بار عمودی $4,80 \text{ kN}$ بر تپه چوبی با مقطع عرضی مستطیلی $80 \text{ mm} \times 120 \text{ mm}$ وارد شده است (شکل ۷۱-۴).

مطلوب است: (الف) تنش در نقاط A , B , C و D ، (ب) مکان محور ختنی مقطع عرضی.



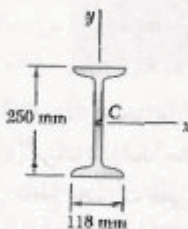
شکل ۷۱-۴

شکل ۷۲-۴

حل
خواص مقطع عرضی. داده‌های زیر از پیوست ج گرفته شده‌اند.
ماحت: $A = 4820 \text{ mm}^2$

$$S_x = 402 \times 10^7 \text{ mm}^7$$

$$S_y = 475 \times 10^7 \text{ mm}^7$$



نیرو و کوپل در C. نیروی P را با میستم معادل نیرو-کوپل در مرکز سطح C مقطع عرضی جایگزین می‌کنیم.

$$M_x = (120 \text{ mm})P \quad M_y = (78 \text{ mm})P$$

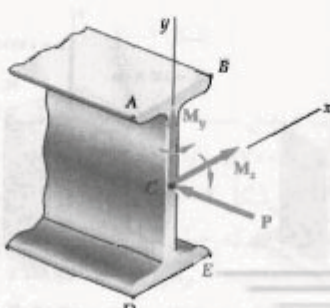
توجه کنید که بردارهای M_x و M_y در امتداد محورهای اصلی مرکزی مقطع عرضی هستند.

تشهای قائم. قدر مطلق تنشهای ناشی از بار مرکزی P و کوپلهای M_x و M_y در نقاط D, B, A و E، عبارتند از:

$$\sigma_t = \frac{P}{A} = \frac{P}{4820 \text{ mm}^2} = 207 \times 10^6 \text{ Pa}$$

$$\sigma_r = \frac{M_x}{S_x} = \frac{120P}{402 \times 10^7 \text{ mm}^7} = 248 \times 10^6 \text{ Pa}$$

$$\sigma_r = \frac{M_y}{S_y} = \frac{78P}{475 \times 10^7 \text{ mm}^7} = 160 \times 10^6 \text{ Pa}$$

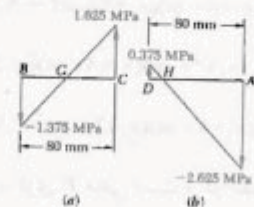


(ب) محور خشی. تنش در نقطه G بین B و C صفر است، و در نقطه H بین D و A نیز صفر است (شکل ۷۳-۴). چون توزیع تنش خطی است، می‌توانیم:

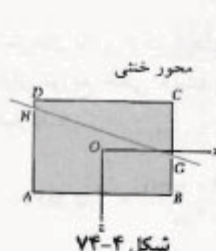
$$\frac{BG}{A \cdot \text{mm}} = \frac{1,375}{1,625 + 1,375} \Rightarrow BG = 36.7 \text{ mm}$$

$$\frac{HA}{A \cdot \text{mm}} = \frac{2,625}{2,625 + 1,375} \Rightarrow HA = 50 \text{ mm}$$

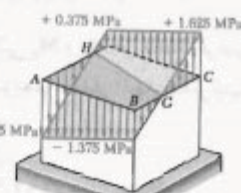
با انتقال نقاط G و H، محور خشی به دست می‌آید (شکل ۷۴-۴).



شکل ۷۴



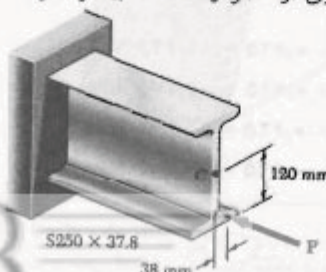
شکل ۷۴



شکل ۷۵

در شکل ۷۵-۴، توزیع تنش در مقطع عرضی نشان داده شده است.

مسئله نمونه ۹-۴
نیروی افقی P بر قسمت کوتاهی از عضو فولادی نورد شده S250 × 37.8 وارد شده است. ماکریم بار مجاز P را باید، به طوری که تنش فشاری در عضو از ۸۲ MPa بیشتر نشود.





حل

محورهای اصلی، دایره موردا رسم می‌کنیم، و از روی آن وضعیت محورهای اصلی و ممانهای اینرسی اصلی متناظر را می‌یابیم:

$$\tan \gamma \theta_m = \frac{FZ}{EF} = \frac{\gamma_{AV}}{0.495} \Rightarrow \gamma \theta_m = 80^\circ$$

$$\Rightarrow \theta_m = 40^\circ$$

$$R^T = (EF)^T + (FZ)^T = (0.495)^T + (\gamma_{AV})^T$$

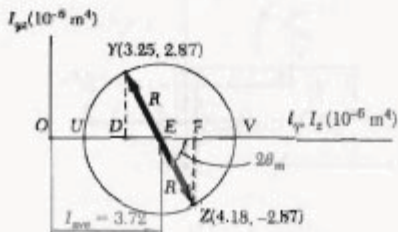
$$\Rightarrow R = 7.41 \times 10^{-5} \text{ m}^T$$

$$I_u = I_{min} = OU = I_{ave} - R = \gamma_{AV} - 7.41$$

$$= 0.41 \times 10^{-5} \text{ m}^4$$

$$I_v = I_{max} = OV = I_{ave} + R = \gamma_{AV} + 7.41$$

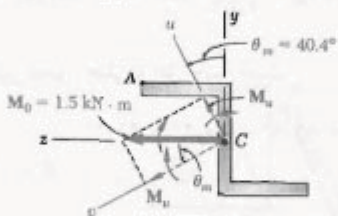
$$= 6.43 \times 10^{-5} \text{ m}^4$$



بارگذاری کوبیل M_0 را به مولفهای موازی با محورهای اصلی تجزیه می‌کنیم:

$$M_u = M_0 \sin \theta_m = 1500 \sin 40^\circ = 972 \text{ N.m}$$

$$M_v = M_0 \cos \theta_m = 1500 \cos 40^\circ = 1142 \text{ N.m}$$



الف. تنش در A. فواصل عمودی نقطه A از محورهای اصلی عبارتند از:

$$u_A = y_A \cos \theta_m + z_A \sin \theta_m$$

$$= 50 \cos 40^\circ + 74 \sin 40^\circ = 89.0 \text{ mm}$$

$$v_A = y_A \sin \theta_m + z_A \cos \theta_m$$

$$= -50 \sin 40^\circ + 74 \cos 40^\circ = 23.9 \text{ mm}$$

ترکیب از تنش‌های ناشی از P و M_x ، M_y ، تنش کل بهقست می‌آید. علامت هر تنش را با بررسی دقیق سیستم نیرو-کوپل تعیین می‌کنیم:

$$\sigma_A = -\sigma_i + \sigma_r + \sigma_t$$

$$= -20V \times 10^5 P + 29A \times 10^5 P + A_{av} \times 10^5 P$$

$$= + 891 \times 10^5 P$$

$$\sigma_B = -\sigma_i + \sigma_r - \sigma_t$$

$$= -20V \times 10^5 P + 29A \times 10^5 P - A_{av} \times 10^5 P$$

$$= - 894 \times 10^5 P$$

$$\sigma_D = -\sigma_i - \sigma_r + \sigma_t$$

$$= -20V \times 10^5 P - 29A \times 10^5 P + A_{av} \times 10^5 P$$

$$= + 295 \times 10^5 P$$

$$\sigma_E = -\sigma_i - \sigma_r - \sigma_t$$

$$= -20V \times 10^5 P - 29A \times 10^5 P - A_{av} \times 10^5 P$$

$$= - 1305 \times 10^5 P$$

ماکریم بار مجاز، ماکریم تنش فشاری در نقطه E روی می‌دهد. با توجه به $\sigma_{all} = 82 \text{ MPa}$ ، داریم

$$\sigma_{all} = \sigma_E \Rightarrow -82 \text{ MPa} = -1305 \times 10^5 P$$

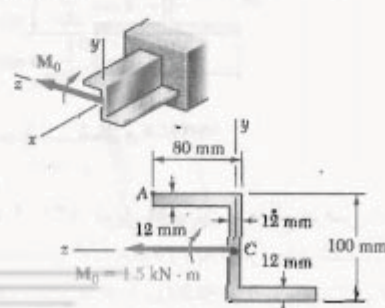
$$\Rightarrow P = 92/8 \text{ kN} \quad \blacktriangleleft$$

مسنله نمونه ۱۰-۴
کوبیل $M_0 = 1.5 \text{ kN.m}$ در صفحه قائم بر تیری با مقاطع عرضی وارد شده است. مطلوب است: (الف) تنش در نقطه A
(ب) زاویهای که محور خشی با صفحه افق می‌سازد. ممانهای اینرسی و حاصلضرب اینرسی مقاطع نسبت و محورهای y و z عبارتند از:

$$I_y = 7.25 \times 10^{-5} \text{ m}^4$$

$$I_z = 4.18 \times 10^{-5} \text{ m}^4$$

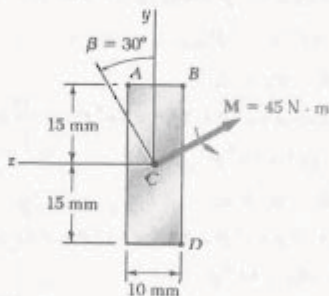
$$I_{yz} = 7.41 \times 10^{-5} \text{ m}^4$$



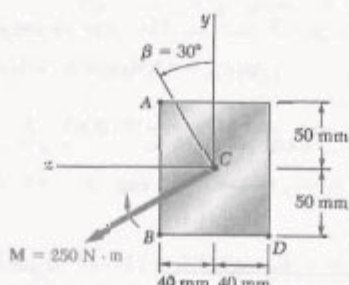
RNUEB

مسائل

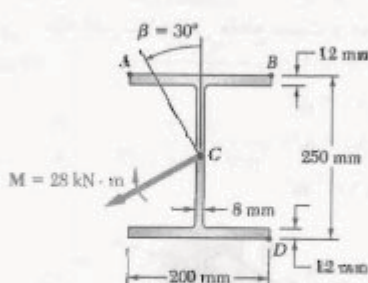
۱۲۶-۴ کوبیل M بر تیر، با مقاطع عرضی نشان داده شده، در صفحه‌ای که با عمود زاویه β دارد رارده است.
مطلوب است: (الف) تنش در A , (ب) تنش در B , (ج) تنش در D .



شکل ۱۲۶-۴



شکل ۱۲۷-۴

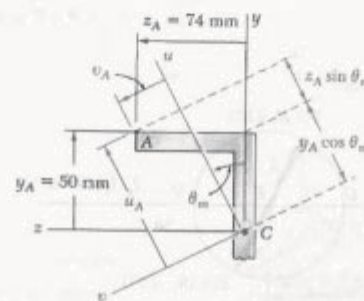


شکل ۱۲۸-۴

۱۲۹-۴ کوبیل M بر تیر، با مقاطع عرضی نشان داده شده، در صفحه‌ای که با عمود زاویه β دارد رارده است.
مطلوب است: (الف) تنش در A , (ب) تنش در B , (ج) تنش در D .

با در نظر گرفتن خمث حول هر محور اصلی به طور جداگانه، دیده می‌شود که M_u در نقطه A ایجاد کشش، و M_v در همان نقطه ایجاد فشار می‌کند.

$$\begin{aligned}\sigma_A &= + \frac{M_u v_A}{I_u} - \frac{M_v u_A}{I_v} \\ &= + \frac{(977 \text{ N.m})(\circ/\circ 139 \text{ m})}{\circ/\circ 110 \times 10^{-9} \text{ m}^4} \\ &\quad - \frac{(1142 \text{ N.m})(\circ/\circ 187 \text{ m})}{\circ/\circ 63 \times 10^{-9} \text{ m}^4} \\ &= +(21.6 \text{ MPa}) - (14.81 \text{ MPa}) \\ \sigma_A &= +13.18 \text{ MPa} \end{aligned}$$



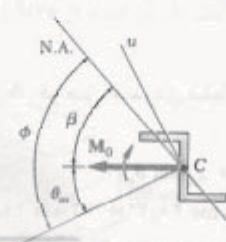
ب. محور خشی. با استفاده از معادله (۵۷-۴)، زاویه ϕ بین محور خشی و محور v را می‌یابیم.

$$\tan \phi = \frac{I_v}{I_u} \tan \theta_m = \frac{6.63}{\circ/\circ 110} \tan 40.4^\circ \Rightarrow \phi = 11.1^\circ$$

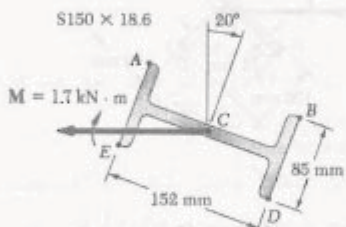
زاویه β بین محور خشی و افق چنین است:

$$\beta = \phi - \theta_m = 11.1^\circ - 40.4^\circ = 41.4^\circ$$

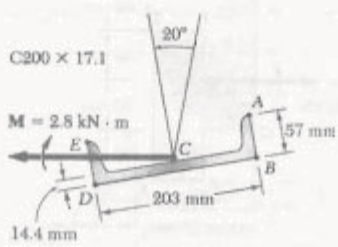
$$\beta = 41.4^\circ$$



۱۳۴-۴ و ۱۳۴-۵ کوپل M در یک صفحه عمودی بر تیر در وضعیت نشان داده شده اعمال شده است. مطلوبست: (الف) زاویه محور خشی با صفحه افق، (ب) ماکزیمم تنش کششی در تیر.

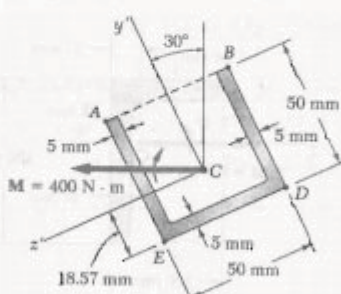


شکل ۱۳۴-۴



شکل ۱۳۴-۵

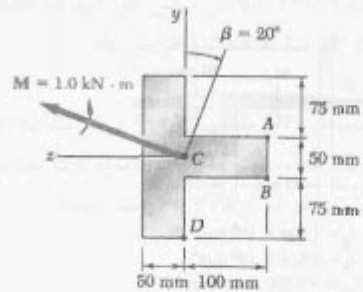
۱۳۵-۴ تا ۱۳۷-۴ کوپل M در یک صفحه عمودی بر تیر در وضعیت نشان داده شده اعمال شده است. مطلوبست: (الف) زاویه محور خشی با صفحه افق، (ب) ماکزیمم تنش کششی در تیر.



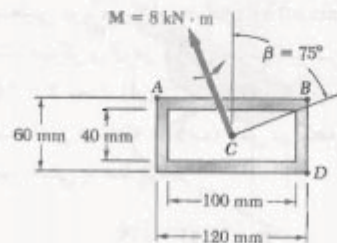
$$I_y = 281 \times 10^3 \text{ mm}^4$$

$$I_z = 176.9 \times 10^3 \text{ mm}^4$$

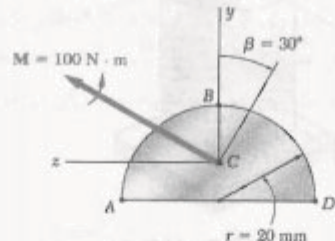
شکل ۱۳۵-۴



شکل ۱۳۶-۴

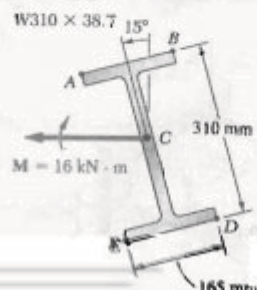


شکل ۱۳۰-۴

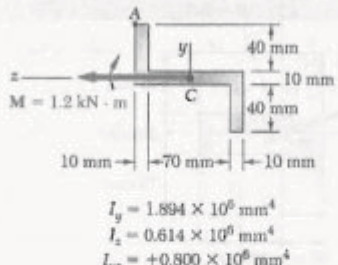


شکل ۱۳۱-۴

۱۳۲-۴ کوپل M در یک صفحه قائم بر تیر در وضعیت نشان داده شده وارد شده است. مطلوبست: (الف) زاویه‌ای که محور خشی با صفحه افق می‌سازد، (ب) ماکزیمم تنش کششی در تیر.

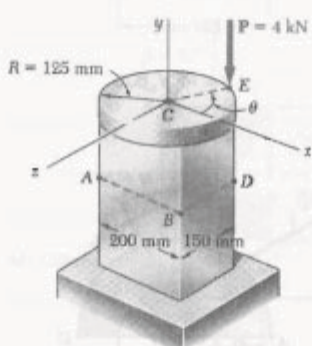


شکل ۱۳۲-۴



شکل ۱۳۹-۴

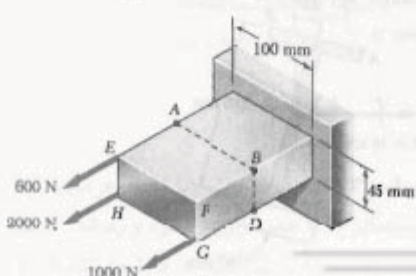
۱۴۰-۴ یک ورق صلب دایره‌ای با شعاع ۱۲۵ mm به تیر مستطیلی توربی با ابعاد ۱۵۰ mm \times ۲۰۰ mm متصصل شده است. مرکز ورق در بالای مرکز تیر قرار دارد. اگر نیروی تحت زاویه $\theta = 30^\circ$ در E وارد شود، مطلوبست: (الف) تنش در نقطه A، (ب) تنش در نقطه B، (ج) نقطه تلاقي محور خنثی با خط ABD.



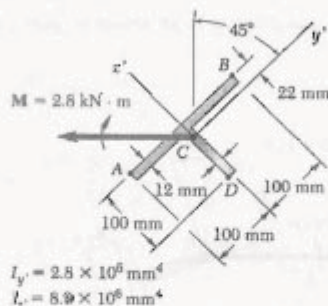
شکل ۱۴۰-۴

۱۴۱-۴ در مسئله ۱۴۰-۴، مطلوبست: (الف) مقدار θ که به ازای آن تنش در D به بیشترین مقدار می‌رسد، (ب) مقدادیر منتظر تنش در D, C, B, A.

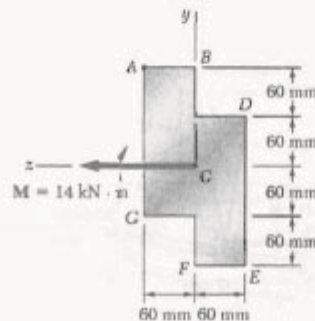
۱۴۲-۴ برای بارگذاری نشان داده شده، مطلوبست: (الف) تنش در نقاط A و B، (ب) نقطه تقاطع محور خنثی با خط ABC.



شکل ۱۴۲-۴

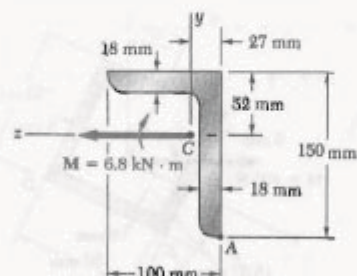


شکل ۱۳۶-۴

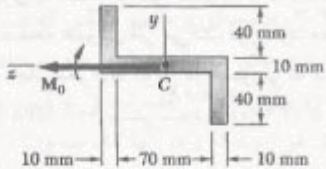


شکل ۱۳۷-۴

۱۳۸-۴ و ۱۳۹-۴ کوپل M در یک صفحه عمودی بر تیر با مقطع عرضی نشان داده شده اعمال شده است. تنش را در نقطه A بیابید.



شکل ۱۳۸-۴

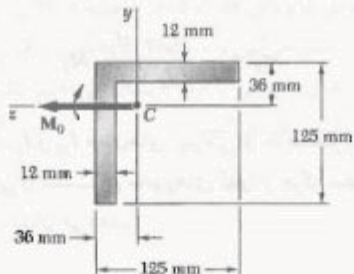


شکل م-۴

۱۴۶-۴ مسئله ۱۴۶-۴ را با این فرض حل کنید که مقدار M_0 وارد در G از $1,0 \text{ kN}$ به $1,6 \text{ kN}$ افزایش یابد.

۱۴۷-۴ مسئله ۱۴۶-۴ را با این فرض حل کنید که کوپل در یک صفحه افقی وارد شود.

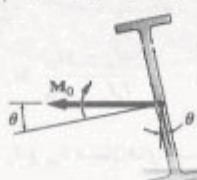
۱۴۸-۴ تیری با مقطع عرضی نشان داده شده تحت کوپل M_0 که در یک صفحه عمودی اثر می‌کند، قرار دارد. مطلوب است ماکریم مقدار مجاز لنگر M_0 کوپل در صورتی که بخواهیم ساکریم تنش در تیر از 84 MPa بیشتر نشود. داده: $k_{\min} = 25 \text{ mm}$, $A = 3064 \text{ mm}^2$, $I_y = I_z = 4.7 \times 10^7 \text{ mm}^4$ (راهنمایی: پاتوچه به تقارن، محورهای اصلی با محورهای مختصات زاویه 45° دارند. از روابط $I_{\min} = A k_{\min}^2$ و $I_{\max} = I_y + I_z$ استفاده کنید).



شکل م

۱۴۹-۴ مسئله ۱۴۸-۴ را با این فرض حل کنید که کوپل در صفحه افق وارد شود.

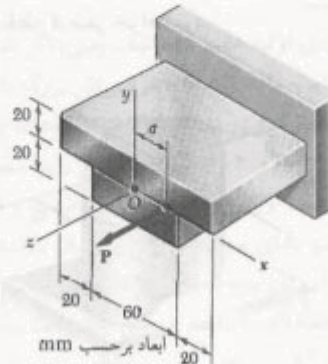
۱۵۰-۴ کوپل M_0 در یک صفحه عمودی بر تیر فولادی نورد شده $W 310 \times 23,8$ وارد شده است. جان تیر با عمود زاویه θ دارد. اگر تنش ماکریم در تیر را برای $\sigma = \theta$ با 20 MPa نشان دهیم، زاویه میل θ تیر را که بهازای آن تنش ماکریم 20 است باید.



شکل م-۵

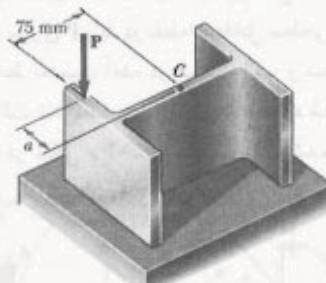
۱۴۳-۴ مسئله ۱۴۲-۴ را با این فرض حل کنید که مقدار نیروی وارد در G از $1,0 \text{ kN}$ به $1,6 \text{ kN}$ افزایش یابد.

۱۴۴-۴ نیروی افقی P با مقدار 100 kN بر تیر نشان داده شده اعمال شده است. مطلوب است ماکریم فاصله a که بهازای آن ماکریم تنش کششی در تیر از 75 MPa بیشتر نشود.



شکل م

۱۴۵-۴ بار محوری P با مقدار 50 kN ، مطابق شکل، بر قسمت کوتاهی از عضو فولادی نورد شده $W 150 \times 24$ وارد شده است. مطلوب است ماکریم فاصله a که به ازای آن ماکریم تنش فشاری از 90 MPa بیشتر نشود.



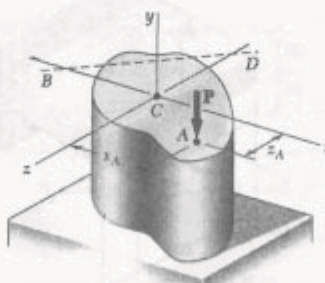
شکل م

۱۴۶-۴ مقطع ۲ نشان داده شده تحت کوپل M_0 که در یک صفحه عمودی اثر می‌کند، قرار دارد. مطلوب است ماکریم مقدار مجاز لنگر M_0 کوپل در صورتی که بخواهیم ساکریم تنش از 80 MPa بیشتر نشود. داده: $I_{\max} = 2.28 \times 10^7 \text{ mm}^4$, $I_{\min} = 0.23 \times 10^7 \text{ mm}^4$, محورهای اصلی 25.7° و 64.3° .

۱۵۴-۴ (الف) نشان دهید که، اگر نیروی عمودی P در نقطه A مقطع نشان داده شده وارد شود، معادله محور خشی عبارت است از:

$$\left(\frac{x_A}{k_z}\right)x + \left(\frac{z_A}{k_x}\right)z = -1$$

که در آن k_z و k_x شعاع زیراسیون مقطع عرضی را، به ترتیب، نسبت به محورهای z و x نشان می‌دهند. (ب) به علاوه، نشان دهید که اگر نیروی عمودی Q در نقطه‌ای روی خط BD اعمال شود، تنش در نقطه A صفر خواهد بود.

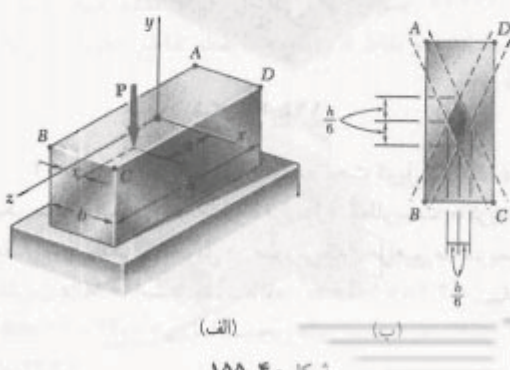


شکل م ۱۵۴-۴

۱۵۵-۴ (الف) نشان دهید که تنش در گوشه A عضو منشوری نشان داده شده در شکل م ۱۵۵-۴ (الف) صفر خواهد بود هرگاه نیروی عمودی P در نقطه‌ای روی خط زیر اعمال شود:

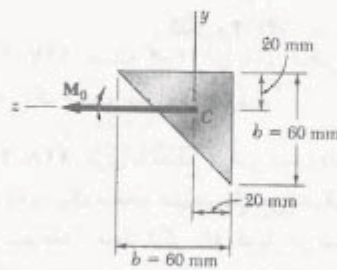
$$\frac{x}{b/6} + \frac{z}{h/6} = 1$$

(ب) به علاوه، نشان دهید که اگر بخواهیم تنش کشی در عضو ایجاد نشود، نیروی P باید در نقطه‌ای داخل سطحی اعمال شود که توسط خط به دست آمده در قسمت الف و سه خط مشابه منتظر باحال تنش صفر در B , C , D و A محدود شده است. این سطح را، که در شکل م ۱۵۵-۴ (ب) نشان داده شده است، هسته مقطع عرضی می‌گویند.



شکل م ۱۵۵-۴

۱۵۱-۴ تبری با مقطع عرضی نشان داده شده تحت کوبیل M_0 ، که در یک صفحه عمودی اثر می‌کند، قرار دارد. مطلوب است ماکریم مقدار مجاز لغزش M_0 کوبیل در صورتی که بخواهیم $I_y = I_z = b^4/36$ داشته باشیم و $I_{yz} = b^4/72$.

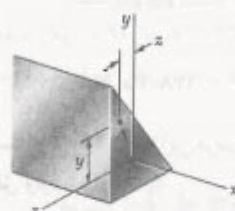


شکل م ۱۵۱-۴

۱۵۲-۴ تبری با مقطع عرضی نامتقارن تحت کوبیل M_0 ، که در صفحه عمودی xy اثر می‌کند، قرار دارد. نشان دهید که تنش در نقطه A ، با مختصات z و z ، چنین است:

$$\sigma_A = -\frac{yI_y - zI_{yz}}{I_y I_z - I_{yz}^2} M_0$$

که در آن I_y , I_z و I_{yz} ممان‌های اینرسی و حاصلضرب اینرسی مقطع عرضی را نسبت به محورهای گذرا از مرکز سطح، و M_0 لغزش کوبیل را نشان می‌دهد.



شکل م ۱۵۲-۴ و م ۱۵۳-۴

۱۵۳-۴ تبری با مقطع عرضی نامتقارن تحت کوبیل M_0 ، که در صفحه افقی zx اثر می‌کند، قرار دارد. نشان دهید که تنش در نقطه A چنین است:

$$\sigma_A = -\frac{zI_z - yI_{yz}}{I_y I_z - I_{yz}^2} M_0$$

که در آن I_y , I_z و I_{yz} ممان‌های اینرسی و حاصلضرب اینرسی را نسبت به محورهای گذرا از مرکز سطح، و M_0 لغزش کوبیل را نشان می‌دهد.

RNUEB

قسمت ۳-۴، صفحه‌ای از مقطع عرضی که شامل نقطه C است به صورت صفحه‌ای می‌ماند، و قوس‌های مختلف دایره‌ای نشان داده شده در شکل ۷۶-۴ الف تبدیل به قوس‌های دایره‌ای و هم مرکزی می‌شوند که مرکز آنها C' ، C ، متفاوت با C ، خواهد بود. به عبارت دقیق‌تر، اگر کوپلهای M و M' در جهت‌های نشان داده شده باشند، انتخاب این قوس‌های دایره‌ای مختلف افزایش خواهد یافت؛ یعنی $A'C' < AC$. همچنین، توجه کنید که کوپلهای M و M' باعث می‌شوند طول سطح بالایی عضو کاهش یابد ($A'B' < AB$) و طول سطح پایینی افزایش یابد ($FG' > FG$). نتیجه می‌شود که عضو دارای سطح خستگی است که طول آن ثابت می‌ماند. فصل مشترک سطح خستگی با صفحه بر در شکل ۷۶-۴ الف با قوس DE به شعاع R ، و در شکل ۷۶-۴ ج با قوس $D'E'$ به شعاع R' نشان داده شده است. زوایای مرکزی منتظر θ و θ' را، به ترتیب، با θ و θ' نشان دهیم. چون طول سطح خستگی ثابت است، می‌نویسیم:

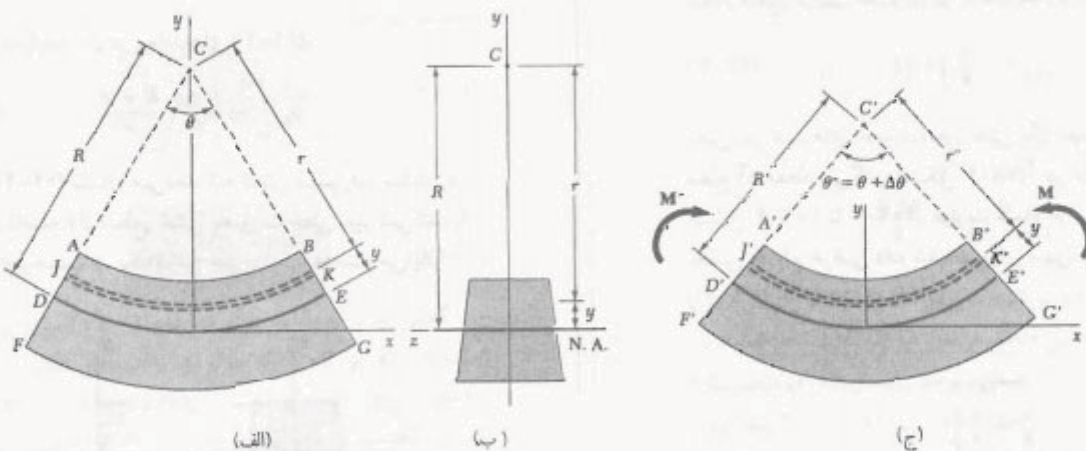
$$R\theta = R'\theta' \quad (59-4)$$

حال قوس دایره‌ای JK را، که در ناصله لا بالایی سطح خستگی قرار دارد، در نظر می‌گیریم و شعاع این قوس را قبل و بعد از اعمال کوپلهای خمی J و K نشان می‌دهیم. تغییر شکل JK را به صورت زیر بیان می‌کنیم:

$$\delta = r'\theta' - r\theta \quad (60-4)$$

۱۵-۴ خمش عضوهای خمیده
تابه‌حال، فقط تنش‌های ناشی از خمش عضوهای مستقیم را تحلیل کردیم، اکنون، تنش‌های ناشی از کوپلهای مساوی و متضادی را که بر عضو خمیده‌ای وارد می‌شوند بررسی می‌کنیم. در این بحث، فقط عضو خمیده با مقطع عرضی یکنواختی را در نظر می‌گیریم که یک صفحه تقارن دارد و کوپلهای خمی در آن صفحه اثر می‌کنند. فرض می‌شود که تنش‌ها کمتر از حد تاسب هستند.

اگر انتخاب اولیه عضو کم باشد، یعنی، اگر شعاع انتخابی عضو در مقایسه با عمق مقطع عرضی اش بزرگ باشد، می‌توان عضو را مستقیم گرفت. به این ترتیب، با استفاده از فرمول‌های قسمت‌های ۳-۴ و ۴-۴، توزیع تنش را با تقریب خوب می‌توان بدست آورد. ولی، اگر شعاع انتخابنا و ابعاد مقطع عرضی عضو دارای مرتبه بزرگی یکسان باشند، از تحلیل مهندس آلمانی ای. وینکلر (۱۸۳۵ تا ۱۸۸۸) باید استفاده کرد. عضو خمیده‌ای با مقطع عرضی یکنواخت نشان داده شده در شکل ۷۶-۴ را در نظر بگیرید. مقطع عرضی آن نسبت به محور لا تقارن دارد (شکل ۷۶-۴ ب). در حالت بی‌تنش، سطوح بالایی و پایینی مقطع عرضی صفحه عمودی xy را در امتداد قوس‌های دایره‌ای AB و FG ، با مرکز C ، قطع می‌کنند (شکل ۷۶-۴ الف). حال، دو کوپل مساوی و متفاوت M و M' را در صفحه تقارن عضو وارد می‌کنیم (شکل ۷۶-۴ ج). طبق



شکل ۷۶-۴

برای تعیین مکان سطح خشی عضو و مقدار ضریب $E \Delta\theta/\theta$ ، که در معادله‌های (۶۴-۴) و (۶۵-۴) به کار می‌رود، مانند قسمت ۲-۴ برای عضو مستقیم عمل می‌کنیم؛ یعنی، مجموع نیروهای جزئی وارد بر یک مقطع عرضی را مساوی صفر، و مجموع لغز آنها را نسبت به محور عرضی z مساوی با لغز خشی M فرار می‌دهیم و معادله‌های زیر را می‌نویسیم:

$$\int \sigma_x dA = 0 \quad (1-4)$$

و

$$\int (-y \sigma_x dA) = M \quad (3-4)$$

با جایگذاری σ_x از (۶۵-۴) در معادله (۱-۴)،

$$-\int \frac{E \Delta\theta}{\theta} \frac{R - r}{r} dA = 0$$

$$\int \frac{R - r}{r} dA = 0$$

$$R \int \frac{dA}{r} - \int dA = 0$$

در نتیجه، فاصله از مرکز انتخابی C تا سطح خشی چنین است:

$$R = \frac{A}{\int \frac{dA}{r}} \quad (66-4)$$

گفتنی است که $R \neq F$ (فاصله از مرکز انتخابی C تا مرکز سطح مقطع عرضی است)، زیرا \bar{r} با رابطه زیر تعریف می‌شود:

$$\bar{r} = \frac{1}{A} \int r dA \quad (67-4)$$

یعنی، در عضوهای خمیده، محور خشی یک مقطع عرضی از مرکز سطح آن مقطع نمی‌گذرد (شکل ۷۸-۴). در مثال ۱۰-۴ و در مسائل ۲۰۷-۴ تا ۲۰۹-۴، عبارت شعاع R سطح خشی برای بعضی مقاطع عرضی داده شده‌اند. برای سهولت، این عبارت‌ها را در شکل ۷۹-۴ نشان داده‌ایم.

* اگر معادله (۶۶-۴) را به صورت زیر بنویسیم:

$$\frac{1}{R} = \frac{1}{A} \int \frac{1}{r} dA \quad (66'-4)$$

به خاصیت جالب برای سطح خشی می‌رسیم. معادله بالا نشان می‌دهد که اگر عضو را به تعداد زیادی مقطع عرضی با مساحت dA تقسیم کنیم، انتخابی $\frac{1}{R}$ سطح خشی با مقدار متوسط انتخابی $\frac{1}{r}$ مقاطع مختلف برابر است.

با توجه به شکل ۷۶-۴،

$$r = R - y \quad r' = R' - y \quad (61-4)$$

با جایگذاری این عبارت‌ها در معادله (۶۰-۴)، داریم

$$\delta = (R' - y) \theta' - (R - y) \theta$$

با توجه به معادله (۵۹-۴) و با قرار دادن $\Delta\theta = \theta' - \theta$ در معادله (۶۲-۴)

$$\delta = -y \Delta\theta \quad (62-4)$$

از تقسیم تغییر شکل δ اجزای قوس JK بر طول اولیه $r\theta$ این قوس، کوشش قائم ϵ_x این اجزا به دست می‌آید:

$$\epsilon_x = \frac{\delta}{r\theta} = -\frac{y \Delta\theta}{r\theta}$$

با توجه به اولین رابطه در معادله (۶۱-۴)،

$$\epsilon_x = -\frac{\Delta\theta}{\theta} \frac{y}{R - y} \quad (63-4)$$

طبق این رابطه، در حالی که تمام مقاطع عرضی به صورت صفحه‌ای می‌مانند، کوشش قائم ϵ_x بر حسب y از سطح خشی بصورت خطی تغییر نمی‌کند.

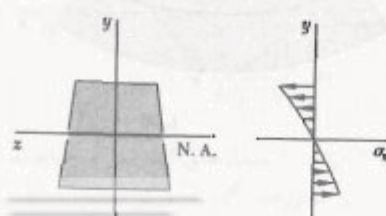
حال، تنش قائم σ_x را از قانون هooke، $\sigma_x = E \epsilon_x$ ، می‌پاییم. برای این منظور، ϵ_x را از معادله (۶۳-۴) جایگذاری می‌کنیم:

$$\sigma_x = -\frac{E \Delta\theta}{\theta} \frac{y}{R - y} \quad (64-4)$$

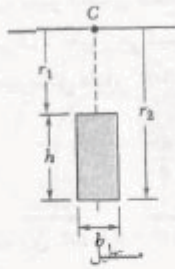
با توجه به رابطه اول در معادله‌های (۶۱-۴)،

$$\sigma_x = -\frac{E \Delta\theta}{\theta} \frac{R - r}{r} \quad (65-4)$$

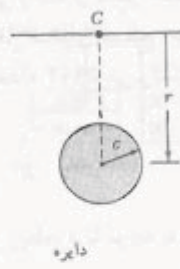
معادله (۶۴-۴) نشان می‌دهد که تنش قائم σ_x ، مانند ϵ_x بر حسب فاصله r از سطح خشی بصورت خطی تغییر نمی‌کند. با ترسیم σ_x بر حسب r ، یک قوس هیپربولیک به دست می‌آید.



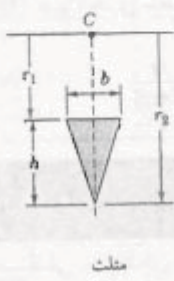
شکل ۷۷-۴



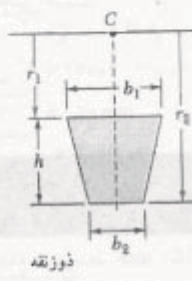
$$R = \frac{h}{\ln \frac{r_2}{r_1}}$$



$$R = \frac{1}{2} (\bar{r} + \sqrt{\bar{r}^2 - c^2})$$



$$R = \frac{\frac{1}{2}h}{\frac{r_2^2}{r_1} \ln \frac{r_2}{r_1} - 1}$$



$$R = \frac{\frac{1}{2}h^2(b_1 + b_2)}{(b_1 r_2 - b_2 r_1) \ln \frac{r_2}{r_1} - h(b_1 - b_2)}$$

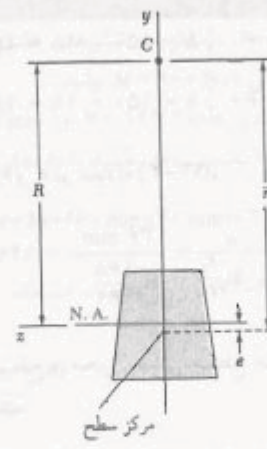
شکل ۷۹-۴ شعاع سطح خشن مقاطع عرضی با شکل‌های مختلف.

با جایگذاری $E \Delta\theta / \theta$ از معادله (۶۹-۴) در معادله‌های (۶۴-۴) و (۶۵-۴)، عبارت‌های زیر برای تنش قائم σ_x در یک تیر خمیده به دست می‌آیند:

$$\sigma_x = -\frac{My}{Ae(R - y)} \quad (70-4)$$

$$\sigma_x = \frac{M(r - R)}{Aer} \quad (71-4)$$

گفتنی است که پارامتر e در معادله‌های بالا، کمیت کوچکی است که از تفرقی R و \bar{r} ، که طول آنها با هم قابل مقایسه است، به دست می‌آید. لذا، برای تعیین σ_x بادقت منطقی، باید R و \bar{r} را با دقت محاسبه کرد، بهخصوص اگر R و \bar{r} بزرگ باشند؛ یعنی، وقتی انحنای عضو کوچک باشد. البته، همانطور که قبلاً دیدیم، در این حالت می‌توان با استفاده از فرمول $My/I = \sigma_x$ ، که برای عضرهای مستقیم است، σ_x را با تقریب خوب محاسبه کرد.



شکل ۷۸-۴

با جایگذاری σ_x از (۶۵-۴) در معادله (۴-۳)، می‌نویسیم:

$$\int \frac{E \Delta\theta}{\theta} \frac{R - r}{r} y dA = M$$

چون $y = R - r$

$$\int \frac{E \Delta\theta}{\theta} \frac{(R - r)^2}{r} dA = M$$

با بسط عبارت مجدول در انتگرال بالا و پس از ساده کردن، داریم:

$$\frac{E \Delta\theta}{\theta} \left[R^2 \int \frac{dA}{r} - 2RA + \int r dA \right] = M$$

با توجه به معادله‌های (۶۶-۴) و (۶۷-۴)، جمله اول داخل گروشه مساوی RA و جمله آخر مساوی $\bar{r}A$ است. بنابراین،

$$\frac{E \Delta\theta}{\theta} (RA - 2RA + \bar{r}A) = M$$

با حل $E \Delta\theta / \theta$ ،

$$\frac{E \Delta\theta}{\theta} = \frac{M}{A(\bar{r} - R)} \quad (78-4)$$

از شکل ۷۶-۴ دیده می‌شود که برای $M > 0$ ، $\Delta\theta$ بزرگتر از صفر است. در نتیجه، شکل مقطع عرضی هر چه باشد، $R > \bar{r}$ یا $R < \bar{r}$. لذا، محور خشنی مقطع عرضی همواره بین مرکز سطح مقطع عرضی و مرکز انحنای عضو قرار دارد (شکل ۷۸-۴). با جایگذاری $e = R - \bar{r}$ در معادله (۶۸-۴)،

$$\frac{E \Delta\theta}{\theta} = \frac{M}{Ae} \quad (69-4)$$

با توجه به داده‌ها،

$$r_1 = \bar{r} - \frac{1}{\pi} h = 150 - 18 = 132 \text{ mm}$$

$$r_2 = \bar{r} + \frac{1}{\pi} h = 150 + 18 = 168 \text{ mm}$$

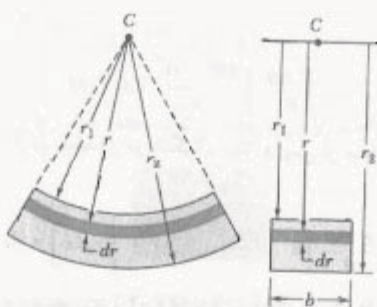
با جایگذاری h و r_2 در معادله (۷۳-۴)

$$R = \frac{h}{\ln \frac{r_2}{r_1}} = \frac{36 \text{ mm}}{\ln \frac{168}{132}} = 149.3 \text{ mm}$$

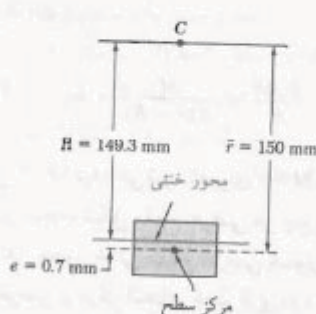
فاصله بین مرکز سطح و محور خشی مقطع عرضی (شکل ۸۲-۴) چنین است:

$$e = \bar{r} - R = 150 - 149.3 = 0.7 \text{ mm}$$

برای تعیین e با دقت معمولی، R را باید تا پنج رقم با معنی محاسبه کرد:



شکل ۸۱-۴



شکل ۸۲-۴

حال، تغییر انحنای سطح خشی را که از لنگر خمی M ناشی می‌شود تعیین می‌کنیم. با حل انحنای سطح خشی در عضو تغییر شکل داده، $1/R'$ ، از معادله ۴۹-۴ می‌نویسیم:

$$\frac{1}{R'} = \frac{1}{R} \frac{\theta'}{\theta}$$

با جایگذاری $\theta' = \theta + \Delta\theta$ در این رابطه، و با توجه به معادله ۴۹-۴

$$\frac{1}{R'} = \frac{1}{R} \left(1 + \frac{\Delta\theta}{\theta} \right) = \frac{1}{R} \left(1 + \frac{M}{EAe} \right)$$

در نتیجه، تغییر انحنای سطح خشی چنین است:

$$\frac{1}{R'} - \frac{1}{R} = \frac{M}{EAeR} \quad (۷۲-۴)$$

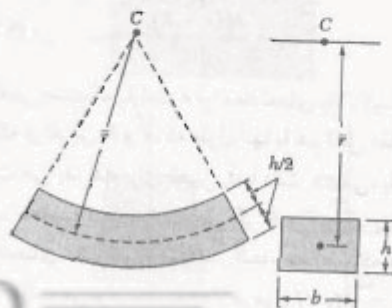
مثال ۱۰-۴

میله مستطیلی خمیده‌ای دارای شعاع متوسط $\bar{r} = 150 \text{ mm}$ است. مقطع عرضی میله به عرض $b = 60 \text{ mm}$ و عمق $h = 36 \text{ mm}$ است (شکل ۸۰-۴). فاصله e بین مرکز سطح و محور خشی مقطع عرضی را بیابید.

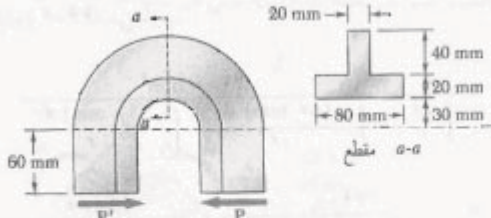
ابتدا، عبارت شعاع R سطح خشی را می‌یابیم. شعاع‌های داخلی و خارجی میله را، به ترتیب، با r_1 و r_2 نشان می‌دهیم. از معادله (۶۶-۴)

$$R = \frac{A}{\int_{r_1}^{r_2} \frac{dA}{r}} = \frac{bh}{\int_{r_1}^{r_2} \frac{b dr}{r}} = \frac{h}{\int_{r_1}^{r_2} \frac{dr}{r}}$$

$$\Rightarrow R = \frac{h}{\ln \frac{r_2}{r_1}} \quad (۷۳-۴)$$



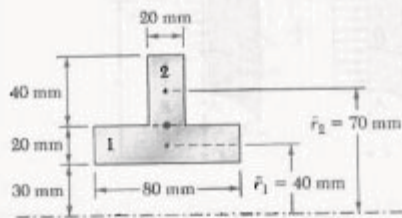
شکل ۸۳-۴



حل

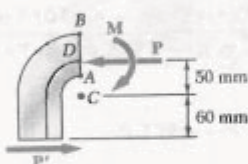
مرکز سطح مقطع عرضی. مرکز سطح D مقطع عرضی را می‌یابیم

A_i, mm^2	\bar{r}_i, mm	$\bar{r}_i A_i, \text{mm}^3$
$1(20)(\lambda) = 1600$	40	64×10^6
$2(20)(\lambda) = 1600$	40	64×10^6
$\sum A_i = 2200$	$\sum \bar{r}_i A_i = 120 \times 10^6$	$\bar{r} = 50 \text{ mm}$



نیرو و کوپل در D . نیروهای داخلی در مقطع $a-a$ معادل اند با نیروی P که در D وارد می‌شود و کوپل M با لنگر زیر:

$$M = P(\Delta \text{ mm} + \theta \text{ mm}) = (0.11 \text{ m})P$$



اصل ترکیب، نیروی مرکزی P باعث ایجاد تنش فشاری یکنواخت در مقطع $a-a$ می‌شود و کوپل خمثی M باعث ایجاد تنش با توزیع متغیر می‌شود [معادله (۷۱-۴)]. توجه داریم که کوپل M من خواهد شاعع انحنای عضو را افزایش دهد و لذا ثابت است (به شکل ۷۶-۴ نگاه کنید). تنش کل در یک نقطه از مقطع $a-a$ در فاصله r از مرکز انحنای C برابر است با:

$$\sigma = -\frac{P}{A} + \frac{M(r - R)}{Aer} \quad (71-4)$$

مثال ۴

در مثال ۴-۱۰، ماقریم تنش‌های کشی و فشاری را برای لنگر خمثی $M = 900 \text{ N.m}$ بیابید.

مقادیر $R = 149/3 \text{ mm}$ و $e = 0.7 \text{ mm}$ را که در مثال ۴-۱ به دست آمد، همراه با داده‌های زیر،

$$M = 900 \text{ N.m} \quad A = bh = (20 \text{ mm})(60 \text{ mm}) = 1200 \text{ mm}^2$$

در معادله (۷۱-۴) قرار می‌دهیم. با استفاده از $r = r_1 = 168 \text{ mm}$ می‌نویسیم:

$$\begin{aligned} \sigma_{\max} &= \frac{M(r_1 - R)}{Aer_1} \\ &= \frac{(900 \text{ N.m})(0.168 \text{ m} - 149/3 \text{ m})}{(1200 \times 10^{-6} \text{ m}^2)(0.7 \times 10^{-3} \text{ m})(0.168 \text{ m})} \\ \sigma_{\max} &= 64/3 \text{ MPa} \end{aligned}$$

اکتون، با جایگذاری $r = r_1 = 132 \text{ mm}$ در معادله (۷۱-۴) داریم:

$$\begin{aligned} \sigma_{\min} &= \frac{M(r_1 - R)}{Aer_1} \\ &= \frac{(900 \text{ N.m})(0.132 \text{ m} - 149/3 \text{ m})}{(1200 \times 10^{-6} \text{ m}^2)(0.7 \times 10^{-3} \text{ m})(0.132 \text{ m})} \end{aligned}$$

$$\sigma_{\min} = -75/4 \text{ MPa}$$

توجه. مقادیر به دست آمده برای σ_{\max} و σ_{\min} را با نتایج مربوط به یک میله مستقیم مقایسه می‌کنیم. با استفاده از معادله (۱۵-۴) در قسمت ۴-۴،

$$\begin{aligned} \sigma_{\max,\min} &= \pm \frac{Mc}{I} \\ &= \pm \frac{(900 \text{ N.m})(0.118 \text{ m})}{\frac{1}{36}(0.06 \text{ m})(0.036)^3} = \pm 64/44 \text{ MPa} \end{aligned}$$

مسئله نمونه ۴-۴

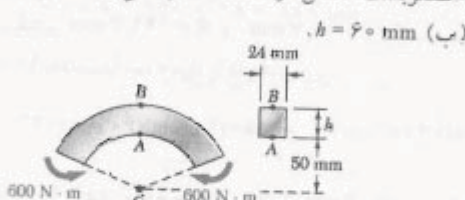
یک قطعه مکانیکی با مقطع عرضی T، مطابق شکل بارگذاری شده است. اگر تنش سنجار فشاری 50 MPa باشد، ماقریم نیروی P را که می‌توان بر قطعه وارد کرد بیابید.



مسائل

۱۵۶-۴ برای میله خمیده و بارگذاری نشان داده شده،

مظلوبیت تنش در نقطه A و قتی: (الف)



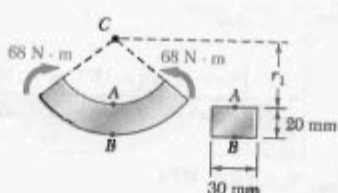
شکل ۱۵۷-۴ و ۱۵۶-۴

۱۵۷-۴ برای میله خمیده و بارگذاری نشان داده شده،

تنش در نقاط A و B را برای h = 50 mm باید.

۱۵۸-۴ برای میله خمیده و بارگذاری نشان داده شده،

تنش در نقاط A و B را برای r_i = 40 mm باید.



شکل ۱۵۹-۴ و ۱۵۸-۴

۱۵۹-۴ برای میله خمیده و بارگذاری نشان داده شده،

مظلوبیت تنش در نقطه A و قتی: (الف)

(ب) r_i = 50 mm

۱۶۰-۴ قسمت خمیده میله نشان داده شده دارای شعاع

داخلی ۲۰ mm است. اگر خط اثر نیروی ۳ kN در فاصله

a = 60 mm از صفحه قائمی که شامل مرکزی اتحانی میله است

قرار داشته باشد، ماکریم تنش فشاری در میله را باید.

۱۶۱-۴ اگر تنش مجاز در میله ۱۵۰ MPa باشد،

مظلوبیت ماکریم، فاصله مجاز a خط اثر نیروی ۳ kN تا

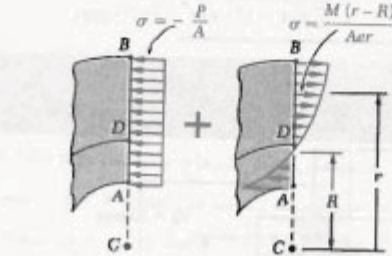
صفحه قائمی که شامل مرکز اتحانی میله است.

شعاع سطح R سطح خشی را با استفاده از معادله (۴-۶) می‌باشد:

$$\begin{aligned} R &= \frac{A}{\int \frac{dA}{r}} = \frac{2400 \text{ mm}^2}{\int_{r_1}^{r_2} \frac{(A \text{ mm}) dr}{r} + \int_{r_2}^{r_3} \frac{(Y \text{ mm}) dr}{r}} \\ &= \frac{2400}{A \ln \frac{R}{r_1} + Y \ln \frac{R}{r_2}} = \frac{2400}{40,866 + 11,756} \\ &= 45,61 \text{ mm} = 0,04561 \text{ m} \end{aligned}$$

همچنین:

$$e = \bar{r} - R = 0,05000 \text{ m} - 0,04561 \text{ m} = 0,00439 \text{ m}$$



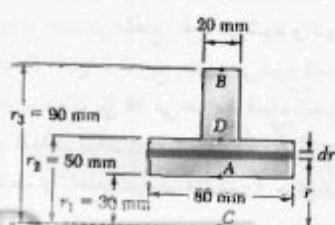
بار مجاز. ماکریم تنش فشاری در نقطه A، یعنی در $r = 0,030 \text{ m}$ ، روی می‌دهد. $\sigma_{all} = 50 \text{ MPa}$. با استفاده از معادله (۱)،

$$-50 \times 10^6 \text{ Pa} = -\frac{P}{2,4 \times 10^{-7} \text{ m}^2}$$

$$+ \frac{(0,110 P)(0,030 \text{ m} - 0,04561 \text{ m})}{(2,4 \times 10^{-7} \text{ m}^2)(0,00439 \text{ m})(0,030 \text{ m})}$$

$$\Rightarrow -50 \times 10^6 = -417 P - 0,432 P$$

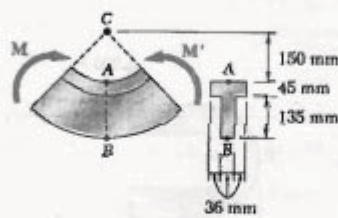
$$\Rightarrow P = 11,55 \text{ kN}$$



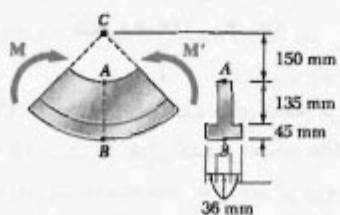
RNUEB

۱۶۵-۴ و ۱۶۶-۴ کم، مطلوب است:

(الف) تنش در نقطه A، (ب) تنش در نقطه B.

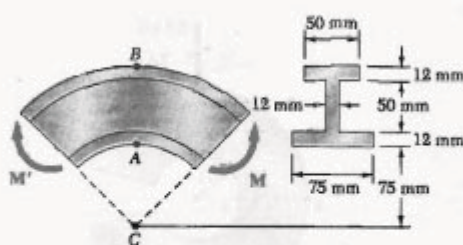


شکل م ۱۶۵-۴



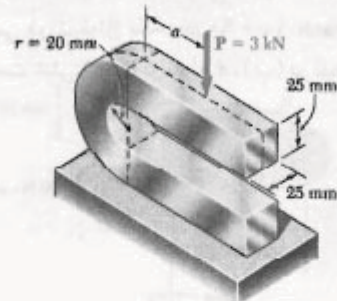
شکل م ۱۶۶-۴

۱۶۷-۴ سه ورق بدهم جوش شده‌اند و تیر خمیده نشان داده شده را تشکیل داده‌اند. برای بارگذاری داده شده، فاصله e بین محور خشنی و مرکز سطح مقطع عرضی را باید.



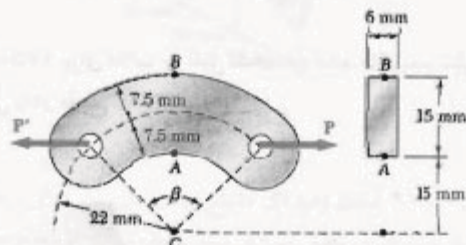
شکل م ۱۶۷-۴ و ۱۶۸-۴

۱۶۸-۴ سه ورق بدهم جوش شده‌اند و تیر خمیده نشان داده شده را تشکیل داده‌اند. برای $M = 90 \text{ N.m}$ ، مطلوب است: (الف) تنش در نقطه A، (ب) تنش در نقطه B، (ج) تنش در مرکز سطح مقطع عرضی.



شکل م ۱۶۰-۴ و ۱۶۱-۴

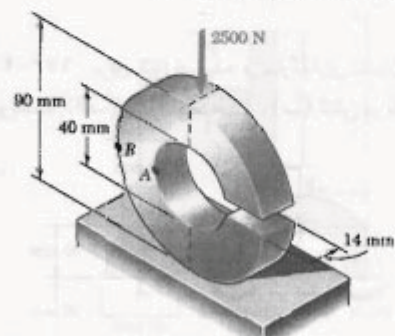
۱۶۲-۳ میله‌های فولادی با مقطع عرضی نشان داده شده و زوایای مرکزی مختلف β در دسترس‌اند. اگر تنش ماکزیمم 100 MPa باشد، ماکزیمم نیروی P را که می‌توان در حالت $\beta = 90^\circ$ بر میله وارد کرد باید.



شکل م ۱۶۲-۴

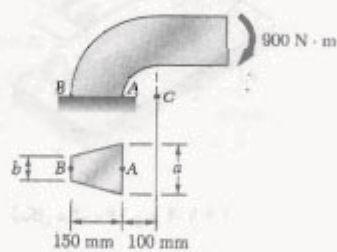
۱۶۳-۴ متنه ۱۶۲-۴ را با فرض $\beta = 60^\circ$ حل کند.

۱۶۴-۴ برای حلقه شیاردار نشان داده شده، مطلوب است تنش: (الف) در نقطه A، (ب) در نقطه B.



شکل م ۱۶۴-۴

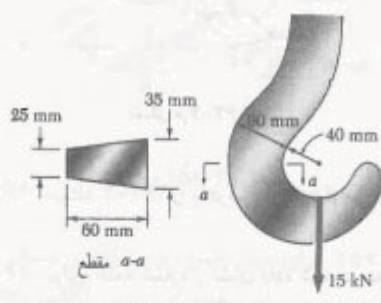
۱۷۳-۴ اگر قطعه مکانیکی نشان داده شده دارای مقطع عرضی ذوزنقه‌ای با $a = 90\text{ mm}$ و $b = 62\text{ mm}$ باشد، مطلوبست تنش: (الف) در نقطه A ، (ب) در نقطه B .



شکل م ۱۷۳-۴ و م ۱۷۴-۴

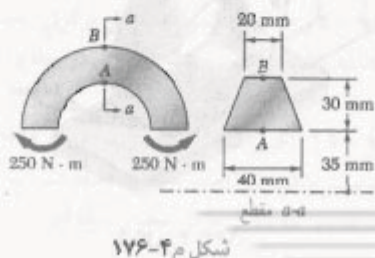
۱۷۴-۴ اگر قطعه مکانیکی نشان داده شده دارای مقطع عرضی ذوزنقه‌ای با $a = 62\text{ mm}$ و $b = 90\text{ mm}$ باشد، مطلوبست: (الف) تنش در نقطه A ، (ب) تنش در نقطه B .

۱۷۵-۴ برای قلاب جرثقیل نشان داده شده، ماکزیمم تنش کششی را در مقطع $a-a$ بیابید.



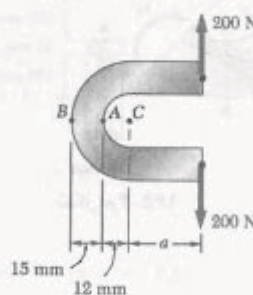
شکل م ۱۷۵-۴

۱۷۶-۴ برای تیر خمیده و بارگذاری نشان داده شده، مطلوبست: (الف) تنش در نقطه A ، (ب) تنش در نقطه B .



شکل م ۱۷۶-۴

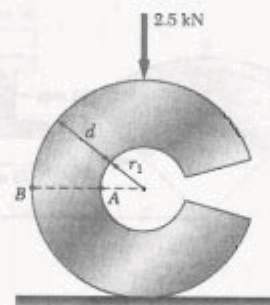
۱۶۹-۴ میله نشان داده شده دارای مقطع عرضی دایره‌ای به قطر 15 mm است. اگر $a = 30\text{ mm}$ ، مطلوبست: (الف) تنش در نقطه A ، (ب) تنش در نقطه B .



شکل م ۱۶۹-۴ و م ۱۷۰-۴

۱۷۰-۴ میله نشان داده شده دارای مقطع عرضی دایره‌ای به قطر 15 mm است. اگر تنش کششی مجاز 55 MPa باشد، مطلوبست ماکزیمم فاصله مجاز a از خط اثر نیروی 200 N تا صفحه‌ای که شامل مرکز انحنای میله است.

۱۷۱-۴ حلقه شکافدار نشان داده شده دارای شعاع داخلی $r_i = 20\text{ mm}$ و مقطع عرضی دایره‌ای به قطر $d = 32\text{ mm}$ است. برای بارگذاری نشان داده شده، مطلوبست: (الف) تنش در نقطه A ، (ب) تنش در نقطه B .



شکل م ۱۷۱-۴ و م ۱۷۲-۴

۱۷۲-۴ حلقه شکافدار نشان داده شده دارای شعاع داخلی $r_i = 16\text{ mm}$ و مقطع عرضی دایره‌ای به قطر $d = 32\text{ mm}$ است. برای بارگذاری نشان داده شده، مطلوبست: (الف) تنش در نقطه A ، (ب) تنش در نقطه B .

RNUEB

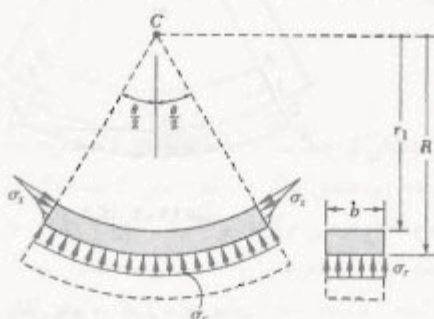
۱۸۰-۴ تا ۱۸۲-۴ با استفاده از معادله (۶۶-۴)، عبارت داده شده در مسئله ۷۹-۴ را در حالت‌های زیر بباید:

- ۱۸۰-۴ مقطع عرضی دایره‌ای
- ۱۸۱-۴ مقطع ذوزنقه‌ای
- ۱۸۲-۴ مقطع مثلثی

۱۸۳-۴ برای تیر خمیده با مقطع عرضی مستطیلی که تحت کوبیل خمیشی M قرار دارد، نشان دهد که نش شعاعی در سطح خشنی عبارت است از

$$\sigma_r = \frac{M}{Ae} \left(1 - \frac{r_1}{R} - \ln \frac{R}{r_1} \right)$$

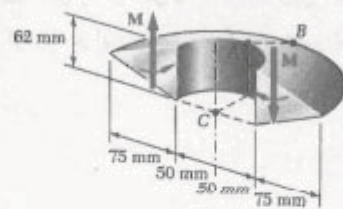
و مقنار σ_r را برای تیر خمیده مثال‌های ۱۰-۴ و ۱۱-۴ محاسبه کنید. (راهنمایی: نمودار آزاد قسمتی از تیر را که بالای سطح خشنی است در نظر بگیرید).



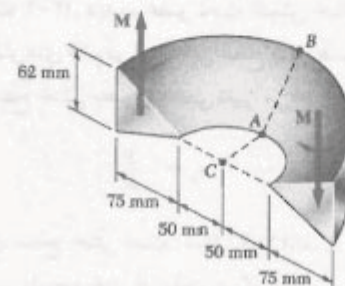
شکل ۱۸۳-۴م

۱۷۷-۴ و ۱۷۸-۴ اگر $M = 560 \text{ N.m}$ ، مطلوب است:

(الف) نش در نقطه A ، (ب) نش در نقطه B .



شکل ۱۷۷-۴

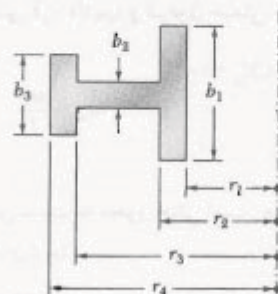


شکل ۱۷۸-۴

۱۷۹-۴ نشان دهد اگر مقطع عرضی تیر خمیده‌ای از دو یا تعداد بیشتری مستطیل تشکیل شده باشد، شعاع R سطح خشنی را به صورت زیر می‌توان بیان کرد

$$R = \frac{A}{\ln \left[\left(\frac{r_1}{r_t} \right)^{b_1} \left(\frac{r_r}{r_t} \right)^{b_r} \left(\frac{r_t}{r_f} \right)^{b_f} \right]}$$

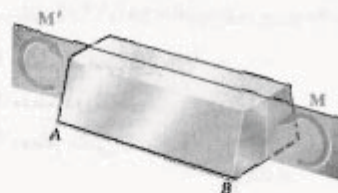
که در آن A مساحت کل مقطع عرضی است.



شکل ۱۷۹-۴

مرور و خلاصه فصل ۴

در این فصل، تنش و تغییرشکل عضوهایی را که تحت کوبیل‌های محاوری و میضاد M و M' قرار دارند. بررسی کردیم؛ در این حالت، می‌گویند عضو تحت خمش خالص است (شکل ۱-۴).



شکل ۱-۴

ابتدا، عضوهایی را مطالعه کردیم که دارای صفحه تقارن بودند و کوبیل‌ها در آن صفحه وارد می‌شدند. نشان دادیم که، با تغییرشکل عضو، مقاطع عرضی بهصورت صفحه‌ای می‌مانند (قسمت ۳-۴). دیدیم عضو تحت خمش خالص دارای یک سطح خشی است. تنش‌ها و کرنش‌های قائم در امتداد این سطح صفر هستند و کرنش قائم طولی بر حسب فاصله لازم سطح خشی بهصورت خطی تغییر می‌کند:

$$\epsilon_c = -\frac{y}{\rho} \quad (1-4)$$

که در آن، ρ شعاع انحنای سطح خشی است (شکل ۱۲-۴الف). فصل مشترک سطح خشی با یک مقطع عرضی را محدود خشی آن مقطع می‌گویند.

برای عضوهای متکل از چند ماده که از قانون هوک پیروی می‌کنند (قسمت ۴-۴)، تنش قائم σ_c بر حسب فاصله از محور خشی بهصورت خطی تغییر می‌کند (شکل ۱۳-۴). اگر تنش ماکریم را با σ_m نشان دهیم،

$$\sigma_c = -\frac{y}{c} \sigma_m \quad (12-4)$$

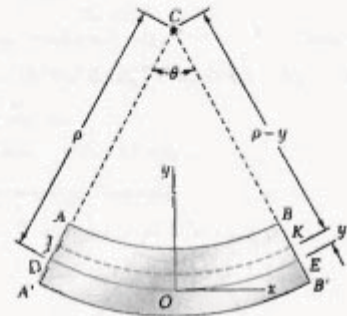
که در آن، c ماکریم فاصله یک نقطه از مقطع تا محور خشی است. با مساوی صفر قرار دادن مجموع نیروهای جزئی $\sigma_c dA$ ، نشان دادیم که محور خشی از مرکز سطح مقطع عرضی عضوی که تحت خمش خالص است می‌گذرد. سپس، مجموع نیروهای جزئی را مساوی لنگر خمشی قرار دادیم، و فرمول خمش الاستیک را برای ماکریم تنش قائم بدست آوردیم:

$$\sigma_m = \frac{Mc}{I} \quad (15-4)$$

که در آن، I ممان اینرسی مقطع عرضی نسبت به محور خشی است. همچنین، تنش قائم را در فاصله لازم محور خشی بدست آوردیم:

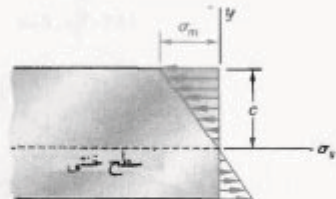
$$\sigma_t = -\frac{My}{I} \quad (16-4)$$

کرنش قائم در خمش



شکل ۱۲-۴ الف

تش قائم در گسترہ الستیک



شکل ۱۳

فرمول خمش الستیک

مدول الاستیک

با توجه به اینکه ۱ و ۲ به شکل هندسی مقطع عرضی بستگی دارند، مدول الاستیک را با تعریف زیر در نظر گرفتیم:

$$S = \frac{I}{c} \quad (17-4)$$

سپس، عبارت زیر را برای ماکریم تنش قائم نوشتیم:

$$\sigma_m = \frac{M}{S} \quad (18-4)$$

انحنای عضو

با توجه به اینکه انحنای عضو معکوس شعاع انحنای آن است، انحنای عضو را به صورت زیر نوشتیم:

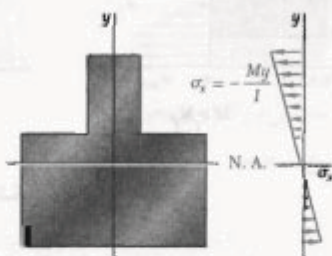
$$\frac{1}{\rho} = \frac{M}{EI} \quad (21-4)$$

انحنای غیر الاستیک

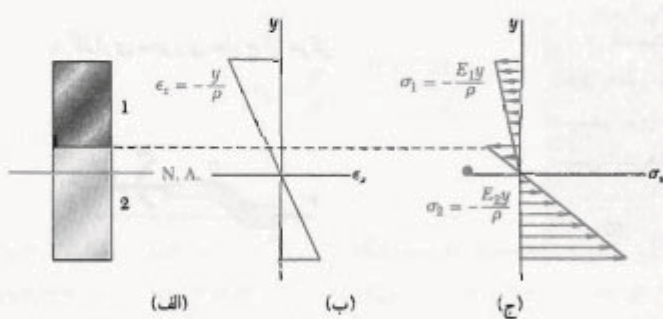
در قسمت ۴-۵، در بررسی خمس عضوهای همگن دارای صفحه تقاضن دیدیم که تغییرشکل‌ها در صفحه مقطع عرضی روی می‌دهند و انحنای غیر الاستیک عضو را ایجاد می‌کنند.

عضوهای چندماده‌ای

سپس، خمس عضوهای مشکل از چند ماده با مدول‌های الاستیته مختلف را بررسی کردیم (قسمت ۴-۶). دیدیم، ضمن اینکه مقاطع به صورت صفحه‌ای می‌مانند، محور خشی معمولاً از مرکز سطح مقطع عرضی مرکب نمی‌گذارد (شکل ۲۴-۴). با استفاده از نسبت مدول‌های الاستیته مواد، مقطع تبدیل یافته متناظر با عضو معادلی را که تماماً از یک نوع ماده ساخته شده است به دست آوردیم. سپس، برای تعیین تنش در این عضو همگن (شکل ۲۶-۴)، از روش‌های قبل و برای تعیین تنش در تیر مرکب از نسبت مدول‌های الاستیته استفاده کردیم (مسئل نمونه ۴-۳ و ۴-۴).



شکل ۴-۲۶

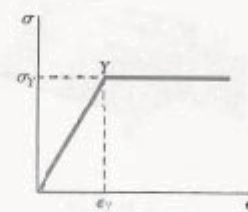


شکل ۴-۲۴

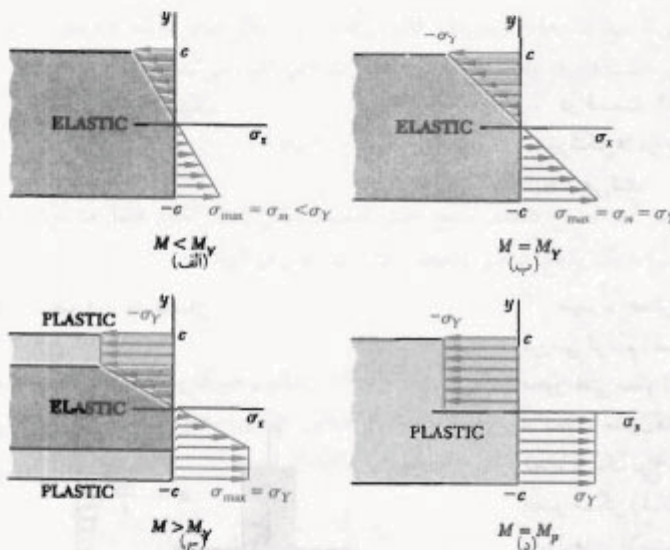
تمرکز تنش

در قسمت ۷-۴، تمرکز تنش را در عضوهای تحت خمش خالص بررسی کردیم و نمودار ضریب تمرکز تنش را برای میله‌های مستقیم و گردیدار و شیاردار را در شکل‌های ۲۱-۴ و ۳۲-۴ نشان دادیم.

سپس، دیدیم که عضوهای چند ماده‌ای از قانون هوك پیروی نمی‌کنند (قسمت ۸-۴). در بررسی تیر مستطیلی الاستوپلاستیک (شکل ۴-۳۹) هنگام افزایش لغزش دیدیم که مقاومت نگر الاستیک M_y هنگام شروع تسلیم در تیر به وجود می‌آید (شکل ۴-۴۰). با افزایش بیشتر لغزش خمشی، مناطق پلاستیک به وجود می‌آمدند و اندازه هسته الاستیک عضو کاوش می‌باشد [قسمت ۹-۴]. سرانجام، تیر کاملاً پلاستیک می‌شود در این حالت، لغزش پلاستیک M_p (لغزش مقاومت) را داشتیم. در قسمت ۱۱-۴، تغییر شکل‌های دائمی و تنش‌های باقیمانده در یک عضو را پس از حذف بارهایی که باعث تسلیم شده‌اند بررسی کردیم.



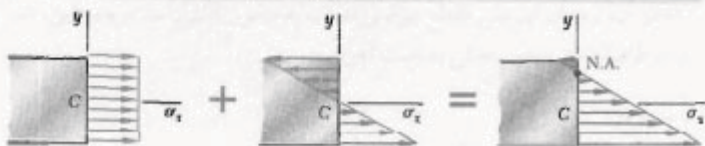
شکل ۴-۳۹



شکل ۴-۴۰

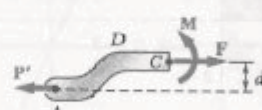
در قسمت ۱۲-۴، با استفاده از روش‌های قبل، تنش در عضوهایی را که در صفحه نقارن به طور خارج از مرکز بارگذاری شده‌اند مطالعه کردیم. بار خارج از مرکز را با یک سیستم نیرو و کوپل واقع در مرکز سطح مقطع عرضی جایگزین (شکل ۴-۴۸ب) و سپس تنش‌های ناشی از بار مرکزی و کوپل خمشی را ترکیب کردیم (شکل ۴-۵۱):

$$\sigma_x = \frac{P}{A} - \frac{My}{I} \quad (4-4)$$



شکل ۴-۵۱

بارگذاری محوری خارج از مرکز



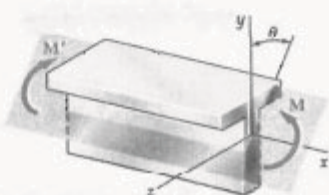
شکل ۴-۴۸ب

سپس، خمین عضوها با مقطع عرضی نامتناهی را بررسی کردیم [قسمت ۴-۳]. دیدیم که اگر بردار M در امتداد یکی از محورهای اصلی گذرا از مرکز سطح مقطع عرضی باشد، فرمول خمین را می‌توان به کار برد. در هنگام لزوم، M را به مؤلفه‌های در امتداد محورهای اصلی تجزیه می‌کردیم و تنش‌های ناشی از کوپل‌های مؤلفه‌ای را با هم ترکیب می‌کردیم (شکل‌های ۴-۶۰ و ۴-۶۱).

$$\sigma_z = -\frac{M_z y}{I_z} + \frac{M_y z}{I_y} \quad (55-4)$$

برای کوپل M نشان داده شده در شکل ۴-۶۵، وضعیت محور خشنی را از معادله زیر بدست آورده‌یم:

$$\tan \phi = \frac{I_z}{I_y} \tan \theta \quad (57-4)$$



شکل ۴-۶۴

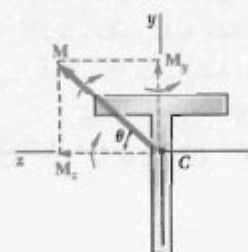
این حالت در قسمت ۴-۴ بررسی شد. در این قسمت بود که مجدداً بار را با یک سیستم نیرو-کوپل واقع در مرکز سطح جایگزین می‌کردیم. سپس، تنش‌های ناشی از بار مرکزی و دو مؤلفه کوپل واقع در امتداد محورهای اصلی را با هم ترکیب می‌کردیم:

$$\sigma_z = \frac{P}{A} - \frac{M_z y}{I_z} + \frac{M_y z}{I_y} \quad (58-4)$$

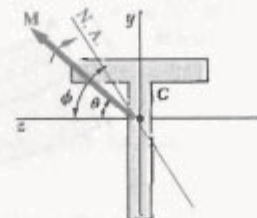
با تحلیل تنشی در عضوهای خمیده (شکل ۴-۷۶الف)، این فصل را به پایان بردمیم. دیدیم که اگر عضو خمیده‌ای تحت خمین قرار گیرد، مقطع عرضی به صورت صفحه‌ای می‌ماندند، و تنش بصورت خطی تغییر نمی‌کند و سطح خشنی از مرکز سطح مقطع عرضی نمی‌گذرد. فاصله مرکز انجنی عضو تا سطح خشنی چنین بود:

$$R = \frac{A}{\int \frac{dA}{r}} \quad (59-3)$$

خمین نامتناهی



شکل ۴-۶۱



شکل ۴-۶۵

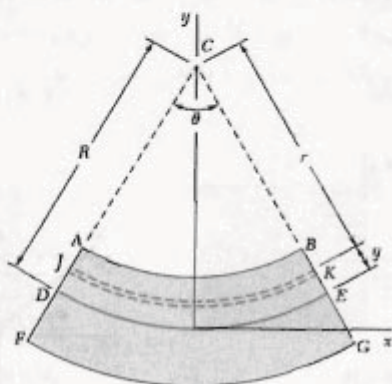
حالات کلی بارگذاری محوری
خارج از مرکز

عضوهای خمیده

که در آن، A مساحت مقطع عرضی است. تنش قائم در فاصله y از سطح خشی به صورت زیر بیان شد:

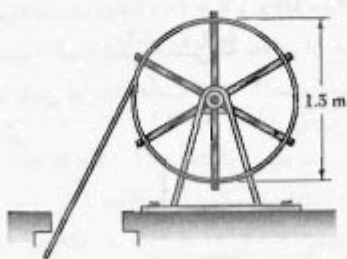
$$\sigma_x = - \frac{My}{Ae(R - y)} \quad (\text{V}o - ۴)$$

که در آن M نیگر خمینی و e فاصله مرکز سطح مقطع عرضی تا سطح خشی است.



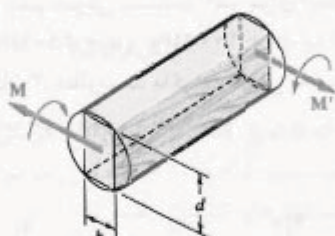
شکل ۴-۷۶ الف

۱۸۷-۴ گاهی، برای تمیز کردن مجراهای زیرزمینی که مسدود شده‌اند از میله‌های مستقیم بدفتر 8 mm و به طول 6 m استفاده می‌شود. میله‌ها از فولاد پراستقامت ساخته شده‌اند و پیرامون قرقره‌هایی بدفتر 1.5 m بیچیده شده‌اند. اگر پخواهیم تنش در میله‌ها از استقامت تسلیم بیشتر نشود، مطلوبست: (الف) ماکریم تنش در میله وقتی میله، که در ابتدا مستقیم است، پیرامون قرقره بیچیده شود، (ب) لگر خمی متاظر در میله از $E = 200\text{ GPa}$ باشد.



شکل ۱۸۷-۴

۱۸۸-۴ کوبیل M بر تیر، با مقطع عرضی نشان داده شده، وارد شده است. می‌خواهیم این تیر را با ازه کردن الواری با مقطع عرضی دایره‌ای به دست آوریم. مطلوبست نسبت d/b که به ازای آن: (الف) تنش ماکریم σ_0 تا حد امکان کوچک باشد، (ب) شعاع انحنای تیر به ماکریم برسد.

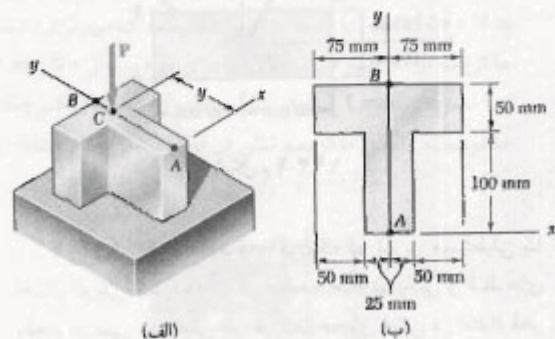


شکل ۱۸۸-۴

۱۸۹-۴ یک تسمه مسی ($E_c = 105\text{ GPa}$) و یک تسمه آلومینیومی ($E_a = 70\text{ GPa}$) به یکدیگر متصل شده‌اند و میله مرکب نشان داده شده را تشکیل داده‌اند. اگر میله با اعمال کوبیل 35 N.m حول یک محور افقی خم شود، مطلوبست ماکریم تنش: (الف) در تسمه آلومینیومی، (ب) در تسمه مسی.

مسائل تكميلي

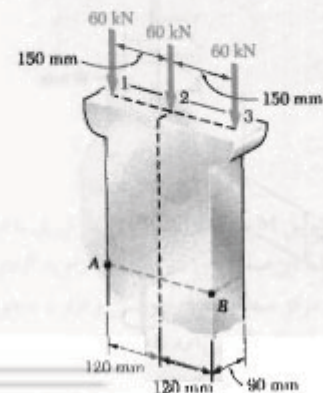
۱۸۴-۴ نیروی عمودی P با مقدار 80 kN در نقطه C روی محور تقارن مقطع عرضی یک ستون گوتاه وارد شده است اگر $y = 120\text{ mm}$ باشد، مطلوبست: (الف) تنش در نقطه A ، (ب) تنش در نقطه B ، (ج) مکان محور خشی.



شکل ۱۸۴-۴ و ۱۸۵-۴

۱۸۵-۴ نیروی عمودی P با مقدار 80 kN در نقطه C روی محور تقارن مقطع عرضی ستون نشان داده شده وارد شده است. مطلوبست گستره مقدار L به طوری که تنش کششی در ستون روی ندهد.

۱۸۶-۴ مطلوبست تنش در نقاط A و B : (الف) برای بارگذاری نشان داده شده، (ب) برای بارهای 60 kN که فقط در نقاط ۱ و ۲ وارد می‌شوند.



شکل ۱۸۶-۴